



NAM Nederlandse Aardolie Maatschappij B.V.

Aan:  
Het Ministerie van Economische Zaken en  
Klimaat  
De Minister, zijne Excellentie Ir. E.D. Wiebes  
MBA  
Bezuidenhoutseweg 73  
2594 AC Den Haag

Brief ref.: EP201806204095

Datum: 15-6-2018

**Betreft: Aanvulling Winningsplan Groningen**

Excellentie,

U staat voor een nieuw besluit op het Winningsplan Groningen 2016. Leidraad daarbij is de uitspraak van de Afdeling bestuursrechtspraak van de Raad van State van 15 november 2017<sup>1</sup>. Inmiddels heeft u echter ook het besluit genomen de winning af te bouwen – zoals verwoord in uw brief aan de Kamer van 29 maart jongstleden<sup>2</sup> – en heeft u een wetsvoorstel<sup>3</sup> in procedure gebracht waarmee tevens, kort gezegd, de figuur van een winningsplan voor het Groningen Gasveld wordt vervangen door een Operationele Strategie. De aldus voor de nieuwe besluitvorming benodigde gegevens heeft u verwoord in uw recente Verwachtingenbrief<sup>4</sup>.

Als bijlagen bij deze brief treft u zowel de Operationele Strategie als de berekening van de risico's verbonden aan de winning in de periode van afbouw; de gelijknamige '*Seismic Risk Assessment for Production Scenario "Basispad Kabinet" for the Groningen field*'.

Deze producten vervangen een aantal passages in het vigerende winningsplan, met name het hoofdstuk 4 '*Ontwikkeling van het veld*' (vervangen door de Operationele Strategie) en het hoofdstuk 6 '*Bodemtrilling*' met bijbehorende bijlage C (vervangen door de risico-analyse).

Gelet echter op de inhoudsvereisten voor een winningsplan op basis van de vigerende wetgeving (zie ook de huidige verwijzingen per plandeel) als ook het verstrijken van twee jaren sinds het opstellen en indienen van het Winningsplan 2016, behoeft het plan op meerdere punten aanvulling en nuancingering. Dat betreft onder meer, maar niet uitsluitend, de volgende onderwerpen.

- Een gunstiger bodemdalingsprofiel (hoofdstuk 5)
- De gebleken robuustheid van Industrie en Infrastructuur (hoofdstuk 6.4)
- Verkleining van onzekerheden rond onder meer verwaking en Mmax (benoemd in hoofdstuk 6.8)
- De status van de mitigatie van de sociaal-maatschappelijke effecten benoemd in hoofdstuk 7

<sup>1</sup> Uitspraak 201608211/1/A1 (ECLI:NL:RVS:2017:3156)

<sup>2</sup> Brief Gaswinning Groningen, TK 33 529, nr. 457

<sup>3</sup> Wetsvoorstel 'betreffende het minimaliseren van de gaswinning uit het Groningenveld' TK 34 957, 5 juni 2018

<sup>4</sup> Uw brief van 2 mei 2018, met kenmerk DGETMEO/18085152

- Technische aanpassingen in het Groningen Productie Systeem (hoofdstuk 3 en bijlage A). Mocht u het op prijs stellen dan kunnen wij u de tekst van het winningsplan verstrekken waarin de genoemde aanvullingen integraal zijn doorgevoerd.

Ook zijn sinds april 2016 enkele producten, onder meer als uitvloeisel van het materieel instandgehouden instemmingsbesluit ingediend. Met name de HRA-resultaten van november 2017 verdienen daarbij de aandacht. Methodologisch geeft deze HRA-2017 nog steeds de(zelfde) basis voor de analyse en kunnen de hoofdstukken 2 tot en met 5 en 7 onverkort worden gehanteerd. Hoofdstuk 9 van die HRA-2017 is nu vervangen voor bijgaande risico-analyse. Hoofdstuk 6 aangaande de inschatting van de schade dient echter nog te worden aangepast aan de afbouw van de Groninger productie. Daarvoor zullen wij u binnen enkele weken een schade-analyse doen toekomen.

In de verwachting u met deze producten zo volledig mogelijk en naar verwachting te hebben geïnformeerd.

Hoogachtend,



NAM Directeur

Bijlagen: zoals vermeld

# **Seismic Risk Assessment for Production Scenario “Basispad Kabinet” for the Groningen field**

**Addendum to:  
Induced Seismicity in Groningen  
Assessment of Hazard,  
Building Damage and Risk  
(November 2017)**

**June 2018**

By Jan van Elk, Assaf Mar-Or, Leendert Geurtsen, Per Valvatne, Eddy Kuperus and Dirk Doornhof

© EP2018 Dit rapport is een weerslag van een voortdurend studie- en dataverzamelingsprogramma en bevat de stand der kennis van mei 2018. Het copyright van dit rapport ligt bij de Nederlandse Aardolie Maatschappij B.V. Het copyright van de onderliggende studies berust bij de respectievelijke auteurs. Dit rapport of delen daaruit mogen alleen met een nadrukkelijke status-en bronvermelding worden overgenomen of gepubliceerd.

# Contents

Summary .....	5
References .....	7
1    Introduction .....	8
1.1    References .....	12
2    Production scenarios definition .....	13
2.1    “Basispad Kabinet” for a Cold/Average/Warm temperature profile (Expectation Letter).....	13
2.2    Spatial distribution of production.....	16
2.3    Production fluctuations .....	18
2.4    Model implementation .....	19
2.5    References .....	22
3    Production scenario results .....	23
3.1    “Basispad Kabinet” – Average Temperature .....	23
3.2    “Basispad Kabinet” – Cold Temperature .....	29
3.3    “Basispad Kabinet” – Warm Temperature.....	34
3.4    Comparing scenarios.....	38
3.5    Impact of cold and warm temperature on HRA.....	40
3.6    References .....	41
4    Event Rate and Hazard Assessment.....	42
4.1    Event Rate Forecasting .....	42
4.2    Hazard Assessment .....	45
4.3    References .....	58
5    Risk Assessment .....	59
5.1    Local Personal Risk.....	59
5.2    Maps of Buildings Exceeding the Meijdam-Norm .....	74
5.3    Structural Upgrading Program .....	80
5.4    References .....	81
Appendix A – Abbreviations.....	82
Appendix B – Verwachtingenbrief aanvulling Winningsplan Groningenveld 2016 .....	83
Appendix C – Implementation of the $M_{max}$ Distribution in the Hazard Assessment .....	89
C.1    References .....	92



## Summary

In the Hazard, Building Damage and Risk Assessment of November 2017 (Ref. 1), the seismic risk for a 24 Bcm/year production scenario was presented. In a letter to Parliament (Ref. 2) the Minister of Economic Affairs and Climate Policy presented a new production scenario, “Basispad Kabinet”, which shows a reduction in production from the Groningen field, ultimately leading to cessation of production by 2030.

In this document, using the same workflow and models as used in Ref. 1, a seismic hazard and risk assessment for the production scenario “Basispad Kabinet” is presented. The required deliverables from the Hazard and Risk Assessment were specified in the Expectation Letter (Verwachtingenbrief) (Ref. 3) which the Minister of Economic Affairs and Climate Policy sent to NAM on 2<sup>nd</sup> May 2018. In this Expectation Letter, in addition to the Hazard and Risk Assessment report also an Operational Strategy for gas-year 2018/2019 was requested which contains the operational implementation of the production strategy for the Groningen System (Ref. 7). Together with this Hazard and Risk Assessment, a document “Bouwstenen voor Operationele Strategie Groningenveld 2018/2019” will be submitted.

Taking into account the Wijzigingsbesluit (Ref. 4), the insights obtained in the Optimisation Study (Ref. 5) and the Advice to the Minister by SodM (Ref. 6) production forecasts were made for scenario “Basispad Kabinet” based on average temperature years, cold temperature years and warm temperature years. As a result of the declining production from the Groningen field, the seismic event rate and the hazard will reduce over time. For instance, the chance of an earthquake with a magnitude larger than  $M_L=3.6$  (the magnitude of the Huizinge earthquake) is expected to reduce to some 7% per year by 2023. For reference, in the Risk Assessment of November 2017, which was based on a production scenario of 24 Bcm/year, this was expected to be more than 20% per year by 2023. The same reduction is also reflected in the hazard maps. The largest PGA in the hazard map (based on a 475 return-period) is expected to decline from the current 0.18 g to 0.11 g (the largest PGA measured to date) by 2031. However, the hazard will not reduce equally over the field. In the later years, the hazard is primarily located in the area North-East of Loppersum. This is consistent with the equilibration of reservoir pressures during these later years. The gas from the higher-pressure area to the North-West of Loppersum will continue to flow to the lower pressure South-Eastern area, causing a continued decrease of pressure in this area.

The Local Personal Risk (LPR) was assessed for each building in the Groningen area for each year of the period 2018-2027. During 2019, there is not a single building that does not meet the  $10^{-4}$ /year temporary Safety Norm level, but some 1,500 buildings do not conform to the  $10^{-5}$ /year Safety Norm level for earthquake risk set by the Minister of Economic Affairs and Climate Policy on advice of the Committee Meijdam (Ref. 8 to 10). However, this number declines with time to below 100 buildings by 2024. For reference, in the Hazard, Building Damage and Risk Assessment of November 2017 (Ref. 1), which was based on a 24 Bcm/year production scenario, this number of buildings increased from 2,545 in 2019 to 3,228 in 2023. Maps show that by 2024, buildings exceeding the  $10^{-5}$ /year Meijdam Norm are all located North-West of Loppersum.

The Hazard and Risk Assessment is a probabilistic assessment of the risk of individual buildings located in the Groningen field area. The probabilistic estimate of the number of buildings where the Meijdam-Norm is exceeded, does not directly translate into an estimate of the structural strengthening scope. The Hazard and Risk Assessment provides a useful tool for prioritisation of building inspections. Ultimately the structural upgrading scope will be based on the assessment of individual buildings based on the NEN-NPR building code.

On 6/6/2018 the Minister of Economic Affairs sent a letter to Parliament informing on the progress of the measures to end production from the Groningen field (Ref.12). In this letter, a number of additional measures are referenced that were not yet incorporated in the ‘Basispad Kabinet’ as presented on 29<sup>th</sup> March 2018. The risk impact of a

scenario based on the maturation of these additional measures to reduce Groningen gas demand is not assessed, but would directionally reduce the risk further as compared to the estimates provided in this report.

## References

- 1 Induced Seismicity in Groningen, Assessment of Hazard, Building Damage and Risk – November 2017, NAM (Jan van Elk and Dirk Doornhof), November 2017.
- 2 Letter to Parliament “Gaswinning Groningen”, 29th March 2018, Minister of Economic Affairs and Climate Policy.
- 3 Letter “Verwachtingenbrief aanvulling winningsplan Groningen veld 2016” to NAM, 2nd May 2018, Minister of Economic Affairs and Climate Policy.
- 4 Wijziging Instemmingsbesluit Winningsplan Groningen veld, Ministerie van Economische Zaken, Directoraat-Generaal Energie, Telecom & Mededinging, Directie Energie en Omgeving, 23 May 2017
- 5 Optimisation of the distribution of production over the Groningen field to reduce Seismicity, Leendert Geurtsen and Per Valvatne, December 2017.
- 6 Advies Groningen-gasveld n.a.v. aardbeving Zeerijp van 8 januari 2018 and Brief aan de minister over advies Groningen-gasveld dd. 1 februari, SodM, 1<sup>st</sup> February 2018.
- 7 Bouwstenen voor Operationele Strategie Groningen veld 2018/2019, NAM (with contributions from Gasterra and GTS transport Services), June 2018.
- 8 Eerste advies Adviescommissie ‘Omgaan met risico’s van geïnduceerde aardbevingen’ 23<sup>rd</sup> June 2015,
- 9 Tweede advies Omgaan met hazard- en risicoberekeningen in het belang van handelingsperspectief voor Groningen Adviescommissie ‘Omgaan met risico’s van geïnduceerde aardbevingen’ 29<sup>th</sup> October 2015,
- 10 Eindadvies Handelingsperspectief voor Groningen Adviescommissie ‘Omgaan met risico’s van geïnduceerde aardbevingen’ (Commissie-Meijdam), 14<sup>th</sup> December 2015,

# 1 Introduction

## **Winningsplan 2016**

In April 2016, NAM submitted the Groningen Winningsplan 2016 (Ref. 1) to the Minister of Economic Affairs and Climate Policy. This Winningsplan was accompanied by a Technical Addendum (Ref. 2) providing further background to the hazard and risk assessments used in the Winningsplan. The Mining Law requires that winningsplannen are approved by the Minister of Economic Affairs and Climate Policy. The approval was granted in the Instemmingsbesluit Winningsplan Groningenveld, issued on the 30<sup>th</sup> of September 2016 (Ref. 3).

## **Hazard and Risk Assessment November 2017**

In response to the specific obligation in the Instemmingsbesluit, NAM prepared the report “Induced Seismicity in Groningen, Assessment of Hazard, Building Damage and Risk – November 2017” (Ref. 5), which was submitted to the Minister of Minister of Economic Affairs and Climate Policy and to SodM on 1<sup>st</sup> November 2017. This describes the full hazard and risk assessment for induced seismicity in Groningen, starting from the production of gas (the cause) to the effects on people and buildings.

The Wijzigingsbesluit of 24<sup>th</sup> May 2017 (Ref. 4), limited the production in an average temperature year to 21.6 Bcm/year. However, in the Wijzigingsbesluit special circumstances were identified that could require an increase in the production from the field: (1) a year with lower than average ambient temperatures or (2) upsets in the gas production and distribution system. The Hazard and Risk Assessment of November 2017 (Ref. 5) was therefore prudently based on an average annual production level of 24 Bcm/year gas production, which covered these eventualities.

## **Complementary production scenarios**

To assess the effect of different production scenarios on seismic risk, a complementary set of production scenarios covering a wide range of production levels was presented in the addendum to the November 2017 Hazard and Risk Assessment, in Reference 6, issued March 2018. The set of production scenarios analysed included the production aspirations as outlined in the Regeerakkoord (10/10/2017) and several production scenarios as included in reports by GTS, which were based on different utilisation of the existing nitrogen blending plant and the construction of an additional nitrogen blending plant. The same workflow and model suite was utilized as used in “Induced Seismicity in Groningen, Assessment of Hazard, Building Damage and Risk – November 2017” issued March 2018 (Ref. 5).

## **Basispad Kabinet (29/3/2018)**

The letter sent by the Minister of Economic Affairs and Climate Policy to Parliament (Kamerbrief) on 29<sup>th</sup> March 2018 (Ref. 7) announced the ambition of the cabinet to reduce the production from the Groningen field as soon as possible, leading to cessation of production around 2030. It contained annual production volumes for the period 2018-2031, which was labelled “Basispad Kabinet” (Fig. 1.1 and 1.2).

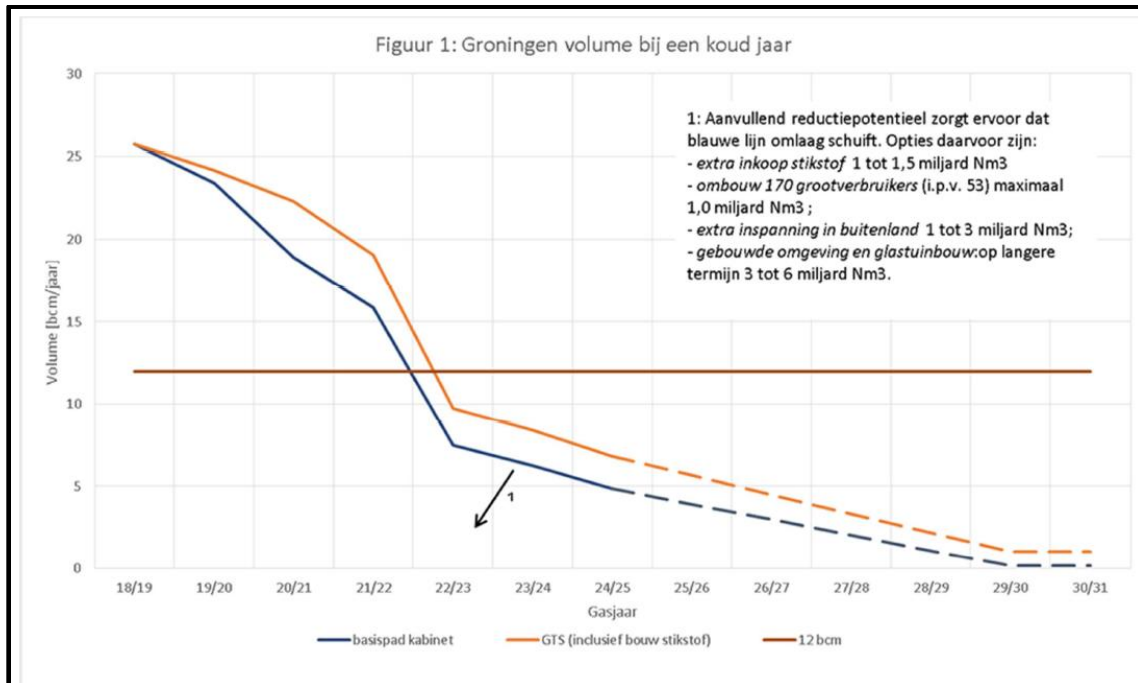


Figure 1.1 *Production scenario prepared by GTS (including construction of a nitrogen blending plant) in orange and production scenario “Basispad Kabinet” in blue from reference 7. Both these production scenarios are for a sequence of cold ambient temperature years.*



Figure 1.2 *Production scenario “Basispad Kabinet” for a sequence of cold temperature years (in blue), average temperature years (in green) and of warm temperature years (in orange) from refence 7.*

### **Expectation Letter (2/5/2018)**

An Expectation Letter (Verwachtingenbrief) was sent to NAM on 2<sup>nd</sup> May 2018 (Ref. 8 and Appendix B) by the Minister of Economic Affairs and Climate Policy. It details the expectations for further NAM technical studies in preparation of a new Winningsplan decision (due by 15<sup>th</sup> November 2018 latest). NAM was requested to perform a hazard and risk assessment for the “Basispad Kabinet” scenario, to indicate the impact of the strong reduction of production on safety risk and the scope of the structural upgrading needed to comply with the Meijdam-Norm (Ref. 9 to 11). With the Expectation Letter the Minister of Economic Affairs and Climate Policy has provided the Groningen quality demand dataset to NAM which served as basis for the HRA.

In an addendum to the Expectation Letter, the request was further described. NAM was requested to provide (translated from Expectation Letter) (Ref. 8):

1. *A Hazard & Risk Assessment based on the “basispad” of the cabinet for a cold, average and warm year, such that for the assessment of the warm and cold year the principle is used that the years preceding and following the warm or cold temperature year are average temperature years. This is based on a 85% utilisation of the combined use of Ommen and Wieringermeer. The detailed production (per month) is documented in an excel sheet shared digitally with NAM.*
2. *For the distribution of the production over the different production clusters and regions NAM will use the results of the Optimisation Study of December 2017, taking into account the volume restrictions imposed by SodM based on the Zeerijp-advice (1 February 2018).*
3. *NAM will as a reference perform a risk assessment for the 24 Bcm/year scenario of the Hazard and Risk Assessment of 1<sup>st</sup> November 2017.*
4. *For each production scenario the number of people and buildings at risk will be assessed in line with the advice of the Committee Meijdam. Both a mean value and the uncertainty band will be provided.*
5. *The results for both scenarios will be provided as:*
  - a) *Annual assessment of risk (hazard maps and LPR-Curves) for each to the first 10 years.*
  - b) *5-yearly assessment of risk for the next 15 years.*
  - c) *NAM will provide for each scenario de following graphs:*
    - i. *Buildings mean and uncertainty band LPR>10<sup>-4</sup>/year against time;*
    - ii. *Buildings mean and uncertainty band LPR>10<sup>-5</sup>/year against time;*
  - d) *Map of the locations of the buildings with a chance that these are member of a building typology with a chance of a fatality > 10<sup>-4</sup>/year;*
  - e) *Map of the locations of the buildings with a chance that these are member of a building typology with a chance of a fatality > 10<sup>-5</sup>/year;*
  - f) *NAM will also provide these data in a table.*
  - g) *Table with all building typologies with a risk >10<sup>-4</sup>/year and >10<sup>-5</sup>/year.*

The current report provides the requested Hazard and Risk Assessment based on the requested optimisation strategy and present the associated maps and graphs.

It should be noted, the provided demand profiles sent 2<sup>nd</sup> May 2018 includes some small deviations from the “Basispad Kabinet” scenario as presented by the minister in his March 28<sup>th</sup> Letter to Parliament, because of different underlaying assumptions (Figure 1.3). Further on in this report, when “Basispad Kabinet” is mentioned, it will refer to these 2<sup>nd</sup> of May production profiles.

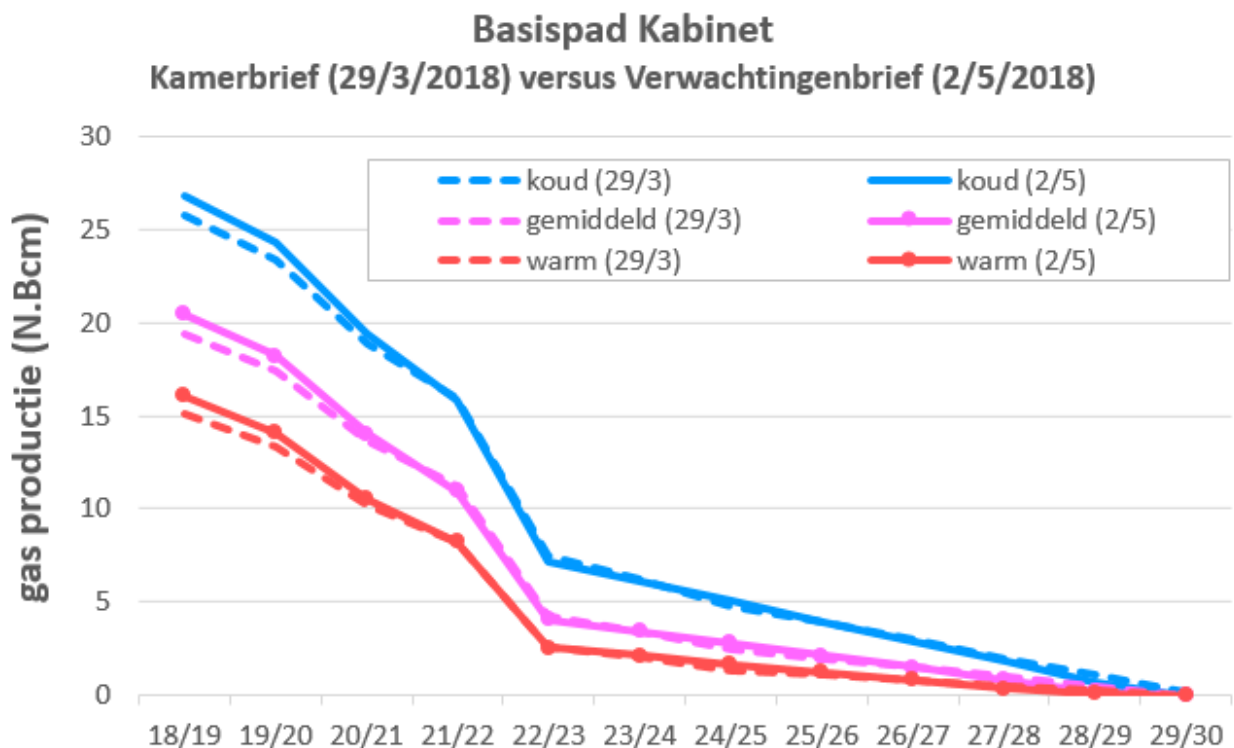


Figure 1.3      “Basispad Kabinet” for the annual production from the Groningen field, Kamerbrief (29/3/2018) versus Expectation Letter (2/5/2018). Note small differences in the first two gas-years.

#### Kamerbrief - Voortgang maatregelen gaswinningsbrief (6/6/2018)

On 6/6/2018 the Minister of Economic Affairs sent a letter to Parliament informing on the progress of the measures to end production from the Groningen field (Ref.12). In this letter, a number of additional measures are referenced that were not yet incorporated in the ‘Basispad Kabinet’ as presented on 29<sup>th</sup> March 2018. The risk impact of a scenario based on the maturation of these additional measures to reduce Groningen gas demand is not assessed, but would directionally reduce the risk further as compared to the estimates provided in this report.

## 1.1 References

All reports referenced in this section prepared by NAM can be downloaded from the webpage “onderzoeksrapporten” on [www.nam.nl](http://www.nam.nl).

1. Winningsplan Groningen – 2016, NAM, April 2016
2. Technical Addendum to the Winningsplan Groningen 2016 - Production, Subsidence, Induced Earthquakes and Seismic Hazard and Risk Assessment in the Groningen Field, Parts I to 5, Nederlandse Aardolie Maatschappij BV (Jan van Elk, Jeroen Uilenreef and Dirk Doornhof, eds), April 2016
3. Instemmingsbesluit Winningsplan Groningenveld, Ministerie van Economische Zaken, Directoraat-generaal Energie, Telecom & Mededinging, Directie Energie en Omgeving, 30 September 2016
4. Wijziging Instemmingsbesluit Winningsplan Groningenveld, Ministerie van Economische Zaken, Directoraat-Generaal Energie, Telecom & Mededinging, Directie Energie en Omgeving, 23 May 2017
5. Induced Seismicity in Groningen, Assessment of Hazard, Building Damage and Risk – November 2017, NAM (Jan van Elk and Dirk Doornhof), November 2017.
6. Seismic risk assessment for a selection of seismic risk production scenarios for the Groningen field - Addendum to: Induced Seismicity in Groningen Assessment of Hazard, Building Damage and Risk (November 2017), Jan van Elk, Assaf Mar-Or, Leendert Geurtsen, Per Valvatne, Eddy Kuperus and Dirk Doornhof, March 2018.
7. Letter to Parliament “Gaswinning Groningen”, 29th March 2018, Minister of Economic Affairs and Climate Policy.
8. Letter “Verwachtingenbrief aanvulling winningsplan Groningenveld 2016” to NAM, 2nd May 2018, Minister of Economic Affairs and Climate Policy.
9. Eerste advies Adviescommissie ‘Omgaan met risico’s van geïnduceerde aardbevingen’ 23rd June 2015,
10. Tweede advies Omgaan met hazard- en risicoberekeningen in het belang van handelingsperspectief voor Groningen Adviescommissie ‘Omgaan met risico’s van geïnduceerde aardbevingen’ 29th October 2015,
11. Eindadvies Handelingsperspectief voor Groningen Adviescommissie ‘Omgaan met risico’s van geïnduceerde aardbevingen’ (Commissie-Meijdam), 14th December 2015
12. Letter to Parliament “Betreft Voortgang maatregelen gaswinningsbrief”, 6 juni 2018, Minister of Economic Affairs and Climate Policy.

## 2 Production scenarios definition

### 2.1 “Basispad Kabinet” for a Cold/Average/Warm temperature profile (Expectation Letter).

#### Total Groningen-quality gas demand in excess of the pseudo-Groningen gas

Detailed demand profiles (on a daily basis) were provided by the Ministry of Economic Affairs and Climate Policy (by means of an Expectation Letter) for the total Groningen-quality gas production in excess to the other L-gas supply sources, based on GTS studies, up to 30/9/2030 during either a cold, average or warm (gas)year<sup>1</sup>, Figure 2-1.

These demand profiles assume an average of 85% utilisation of the GTS nitrogen blending plant, and do not distinguish between gas produced from Groningen field, UGS Norg or PGI Alkmaar nor the volumes required for injection in UGS Norg and PGI Alkmaar. These demand profiles were constructed by projecting historic temperature profiles for a cold (1985/1986), average (2011/2012) and a warm (2006/2007) gas-year on a L-gas market demand model including anticipated future demand reduction.

The “Basispad Kabinet” cold and warm production profiles give the extreme temperature end members from the past 31 years. Consecutive occurrence of 10 warm, average or cold years is highly unlikely.

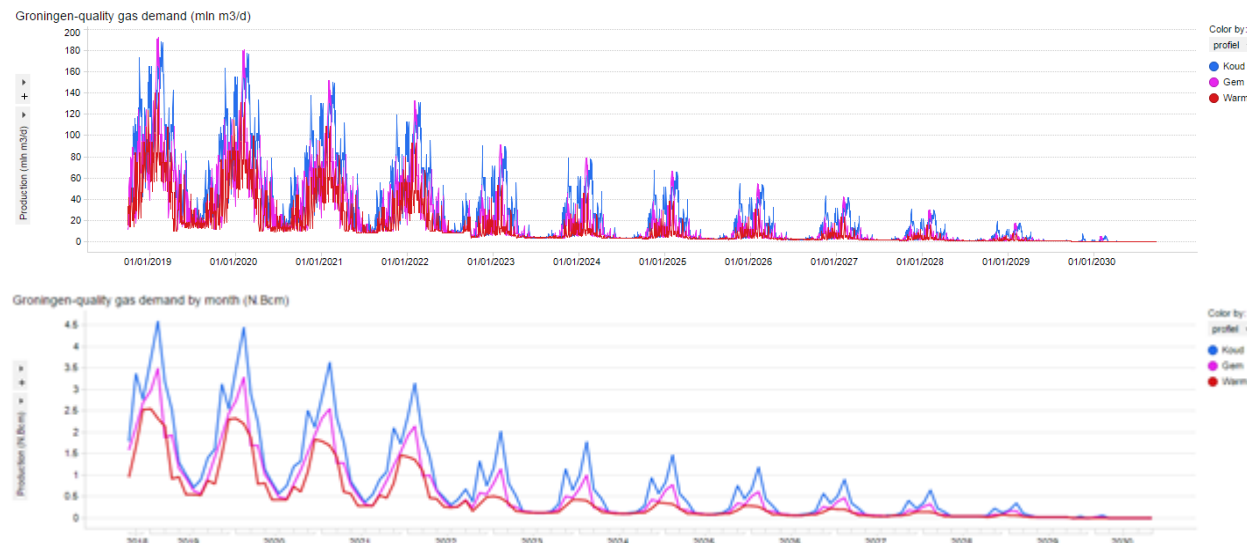


Figure 2-1

Groningen quality market demand in excess to the other L-gas supply sources for a sequence of cold, average and warm temperatures years. Top graph represents daily volume and bottom graph reflects monthly demand volume.

#### Groningen production

Both the Hazard and Risk Assessment as described in this document and the accompanying operational strategy have to be considered together. The Groningen gas field is part of the Groningen Production System. Here GasTerra<sup>2</sup> plays an important role, as they have knowledge on the L-gas market demand throughout the year and determine

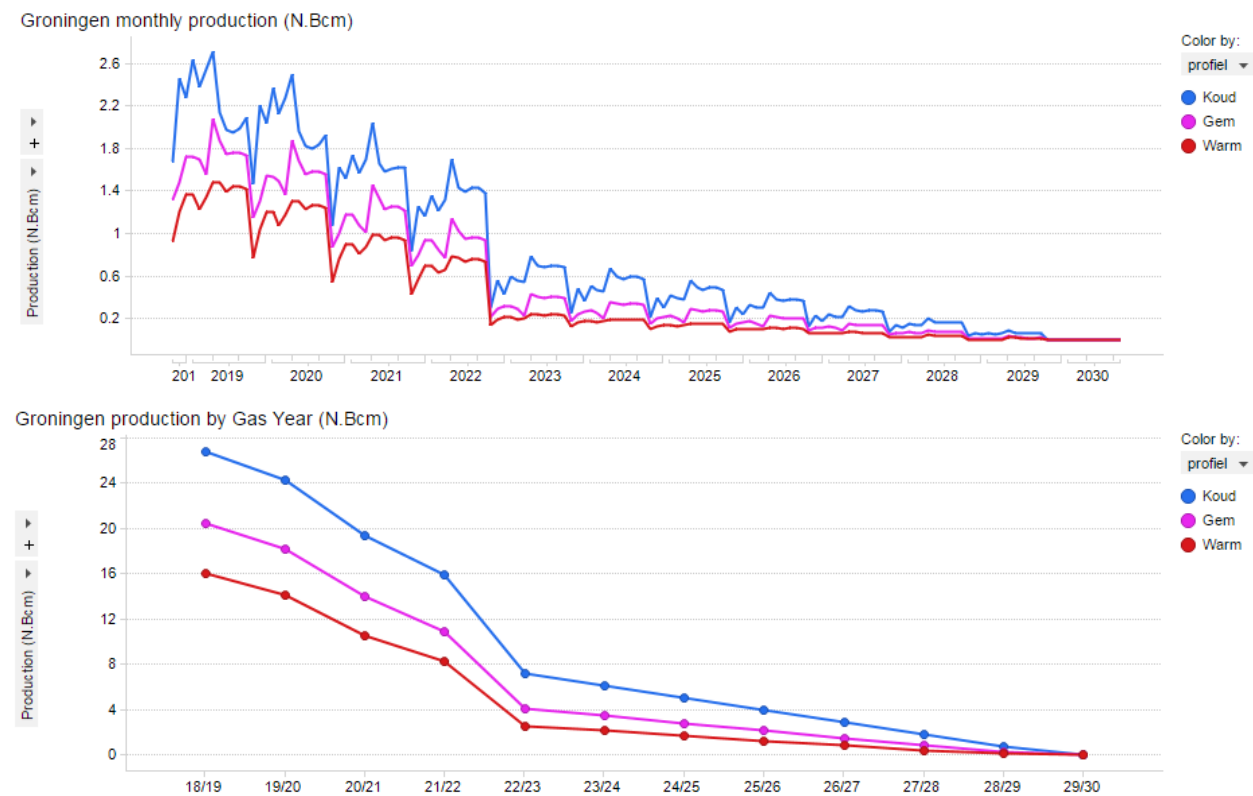
<sup>1</sup> Gas-year runs from 1 October to 30 September

<sup>2</sup> The role of Gasterra in the operation of the Groningen System is addressed in the “Bouwstenen voor Operationele strategie Groningenveld 2018/2019”, (Ref. 7).

the use of the L-gas resources in its portfolio and the deployment of the Groningen field to allow the L-gas market to function.

The dataset provided in the Expectation Letter has been worked by GasTerra to establish the utilisation of the Groningen System, and determine volumes produced from UGS Norg, PGI Alkmaar and Groningen field. It assumes the underground gas storages UGS Norg and PGI Alkmaar to be volume neutral over the gas-year, because it is filled with gas from the Groningen field in summer which gets produced during cold periods in winter. Furthermore it is assumed that the Alkmaar facility is filled with pseudo-G-gas, and can compensate for 0.5 N.Bcm/year of gas production from the Groningen field.

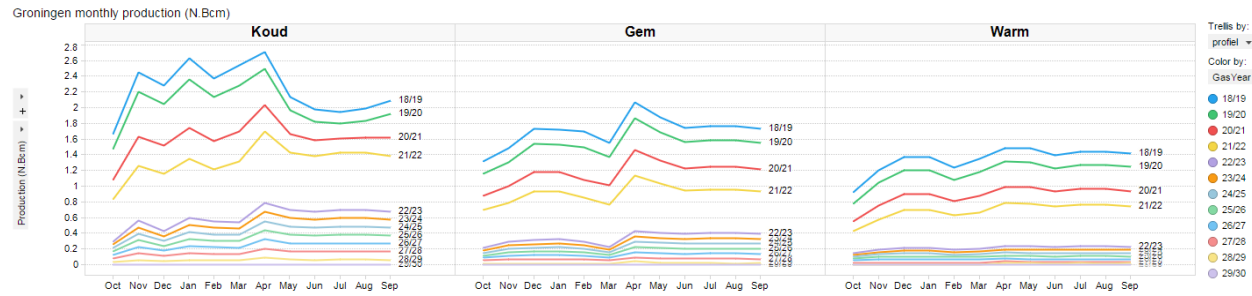
The applied methodology to determine the utilisation of Groningen system assets is based on perfect insight on future temperature profile (e.g. weather conditions are upfront known for every single day in future). This perfect insight assumption is a deterministically approach and is similar to the methodology applied by GTS. This Groningen system assets utilisation outcome is therefore to a degree theoretical, and does not cater for certain market uncertainties.



*Figure 2-2 Groningen field production profiles for cold, average and warm temperatures as outcome of GasTerra analysis. Top monthly production volumes, bottom annual production volumes.*

The requirement to fill Norg UGS in the summer has a flattening effect on the Groningen production profile, and actually leads to a seasonal production profile with higher production in summer than in winter for the average and warm production profiles, Figure 2-3.

## Seismic Risk Assessment for Production Scenario “Basispad Kabinet” for the Groningen field - June 2018



*Figure 2-3 Monthly production fluctuation by gas-year for cold (left), average (middle) and warm (right) temperatures.*

## 2.2 Spatial distribution of production

The Expectation Letter (Ref. 5) requires the distribution of production from the Groningen field to be reflecting the insights from NAM’s 2017 optimisation study (Ref. 4), whilst honouring the volume restrictions as advised by SodM in their report (Ref. 3) following the Zeerijp earthquake (8/1/2018).

**Ad 1 Verwachtingen ten aanzien van de aanvullende Hazard & Risk Assessment**

2. Voor de verdeling van de productie over de verschillende clusters en regio's wordt uitgegaan van NAM's optimalisatiestudie uit december 2017, met dien verstande dat rekening wordt gehouden met volumebeperkingen die SodM naderhand in het "Zeerijp"-advies (1 februari 2018) heeft opgenomen (zie opsomming op p.2 van deze bijlage).

Excerpt from the Expectation Letter (Verwachtingenbrief aanvulling winningsplan Groningenveld 2016, 2/5/2018)

The results from NAM's 2017 production optimisation study for seismicity are a function of the objective for which is optimised (e.g. event count, maxPGA, etc). However, all objective functions suggest prioritising production from the South-East of the field (Figure 2-4).

A further observation from the 2017 optimisation study is that production from the South-Western part of the field (clusters Kooipolder, Slochteren, Froombosch) seems to have a relatively strong non-linear effect on the analysed seismicity metrics. Consequently, production from this area should be minimized.

## Seismic Risk Assessment for Production Scenario “Basispad Kabinet” for the Groningen field - June 2018

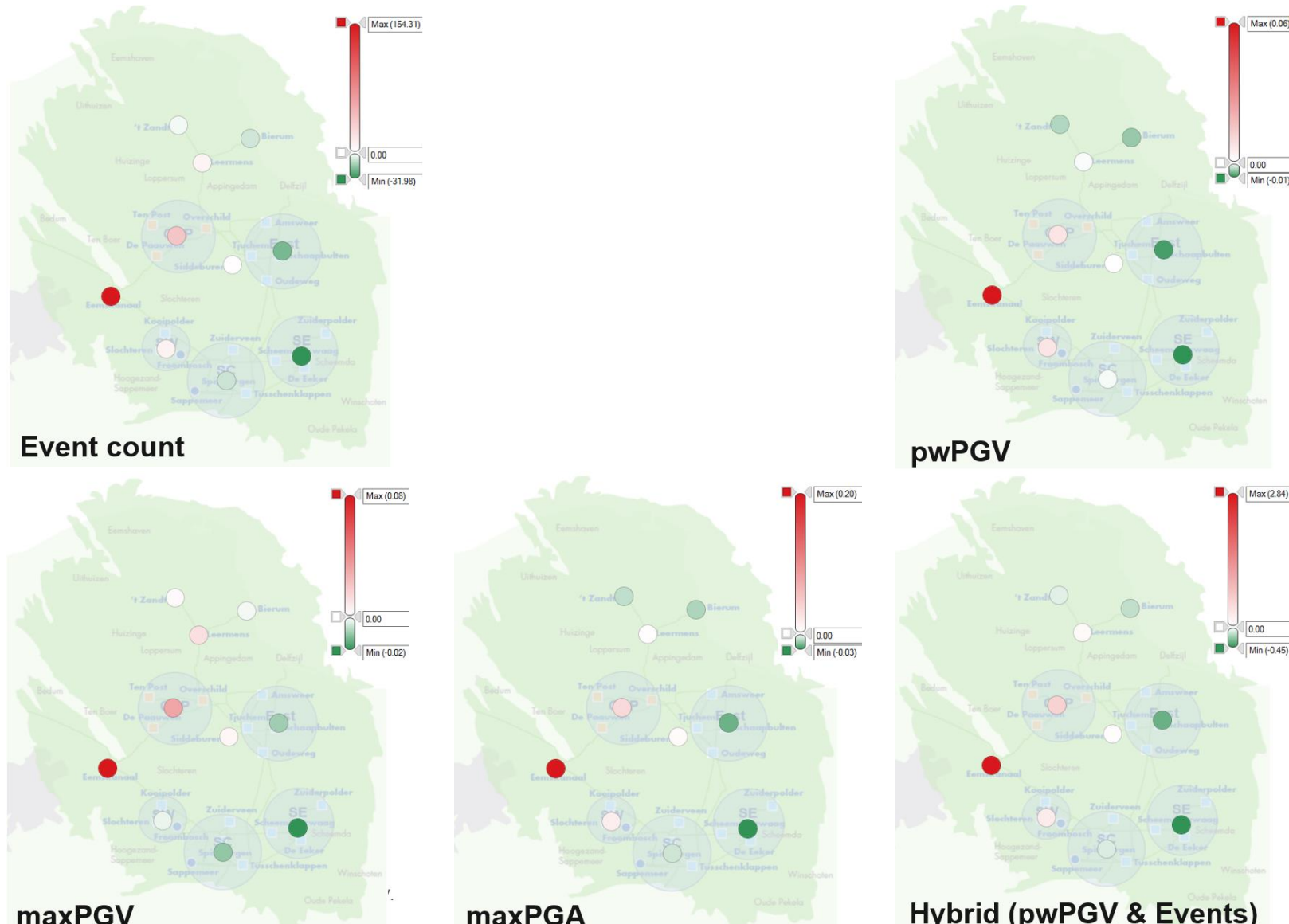


Figure 2-4:

Areal production optimization for various objective functions, based on partial dependence analysis on all objective functions. Increasing production from green coloured controls improves the response with respect to the objective function, red colours indicate deterioration, white colours indicate a neutral effect. After Figure 6-9 from Reference (Geurtsen & Valvatne, 1/12/2017)

## 2.3 Production fluctuations

It was stated in the Expectation Letter that in addition to optimising production across the clusters and regions, the production should also reflect SodM's "Zeerijp-advies" to avoid production fluctuations.

Productiefluctuaties conform advies SodM:

- Beperking volumefluctuaties Bierum-cluster tot maximaal 20% per maand (met uitzondering van operationele omstandigheden, waaronder onderhoud en uitval)
- Beperking regionale fluctuaties in de productie van de overige clusters tot het huidige niveau van +/- 50% per maand (behalve van het cluster EKL waarvoor een beperking tussen 0 – 150 mln m<sup>3</sup>/maand geldt). De beperking van de fluctuaties van +/- 20% per maand voor de productie uit het gehele Groningenveld kan onder deze voorwaarde worden losgelaten.
- Als referentie voor deze bandbreedtes in fluctuaties kan de gemiddelde productie over de afgelopen 12 maanden worden gehanteerd.

Excerpt from Expectation Letter (Verwachtingenbrief aanvulling winningsplan Groningenveld 2016, 2/5/2018)

The reduction of production fluctuations is addressed in the Building Block of the Operational Strategy (Ref. 7). In this document a probabilistic approach was used to analyse the utilisation of the Groningen system assets (Groningen field, UGS Norg and Alkmaar) for the gas-year 2018/2019, based on the 31 provided temperature profiles and the market demand model. The production fluctuations are related to temperature profile, yearly Groningen field volume offtake, spatial volume distribution over the field, UGS utilization and UGS work volume.

## 2.4 Model implementation

This section addresses the implementation of the spatial distribution and optimisation of production over the field as used in the modelling for the Hazard and Risk Assessment. The operational implementation in the Groningen field for gas-year 2018-2019 is addressed in the “Bouwstenen voor Operationele Strategie Groningenveld - 2018/2019” (Ref. 7).

In the Expectation Letter, the minister has depicted 5 regions (see table 2.1 and figure 2.5). To control the volume off-take for the regions (spatial distribution) a production cluster start-up sequence has been implemented in the model (see table 2.2). This is in line with both the request in the Expectation Letter to make use of the Optimisation Study results, as well as the operational strategy. The surface network model sequentially opens-up (groups of) clusters following the start-up sequence until the total required production demand is achieved. The Bierum production cluster (BIR) is kept at a constant offtake level and the Eemskanaal cluster (EKL) is assumed to produce at constant low rate from 1<sup>st</sup> October till 31<sup>st</sup> March and shut-in over summer. To reflect operational conditions (lower number of clusters in operation when low demand) and to optimise production within the cluster groups, further divisions have been introduced for the production clusters within regions East-Central and South-West, see table 2.2.

Region	Clusters
South-East	ZPD/SZW/EKR
East-Central	OWG/SCB/AMR/TJM/SDB
South-West	ZVN/SPI/ TUS-SAP/KPD/SLO-FRB
North	BIR
Eemskanaal	EKL

Table 2-1: *Regions and cluster overview*



Figure 2-5 Production regions as defined in the Expectation Letter

Start-up Priority	Region	Clusters
1	North	BIR (constant rate)
2	Eemskanaal	EKL (constant rate, winter only)
3	South-East	ZPD/SZW/EKR
4	East-Central (1)	OWG/SCB
5	South-West (1)	ZVN/SPI
6	East-Central (2)	AMR/TJM/SDB
7	South-West (2)	SAP/TUS
8	South-West (3)	KPD/SLO/FRB

Table 2-2: Production start-up list for achieving total required field production. Starting from the top of this list, groups of clusters are sequentially opened-up by the surface network model until the total required production can be achieved. The sequence was derived based on insights from the production optimisation study (see Fig. 2-4)

The second parameter to control volume off-take per region (spatial distribution) is the Load Factor. The Load Factor is the ratio of cluster production to its maximum capacity. It is calculated for each individual cluster at every timestep and a maximum value can be set as a constraint. A high maximum load factor will maximize volume withdrawal from clusters high in the start-up sequence, but at the same time also increase production fluctuations from clusters low in the start-up sequence (due to fluctuating demand).

It should be noted that, based on historic performance, the achieved load factor range is between 70% and 80%. A pre-set maximum load factor of 70% was found to be a good compromise between optimising production distribution while minimizing regional fluctuations. A maximum load factor of 90% was also tested and found to only give marginal improvements in seismic hazard and risk metrics.

## 2.5 References

- 1 Induced Seismicity in Groningen Assessment of Hazard, Building Damage and Risk – November 2017, NAM (Jan van Elk and Dirk Doornhof), November 2017.
- 2 Vertrouwen in de toekomst, Regeerakkoord 2017 – 2021 VVD, CDA, D66 en ChristenUnie, Section 3.3 Gaswinning, 10<sup>th</sup> October 2017.
- 3 Advies Groningen-gasveld n.a.v. aardbeving Zeerijp van 8 januari 2018, Staatstoezicht op de Mijnen, 1<sup>st</sup> February 2018.
- 4 Optimisation of the distribution of production over the Groningen field to reduce Seismicity, Leendert Geurtsen and Per Valvatne, December 2017.
- 5 Letter “Verwachtingenbrief aanvulling winningsplan Groningenveld 2016” to NAM, 2<sup>nd</sup> May 2018, Minister of Economic Affairs and Climate Policy.
- 6 Advies GTS leveringszekerheid middels scenario analyse, 27/3/2018, Gasunie Transport Services
- 7 Bouwstenen voor Operationele Strategie Groningenveld 2018/2019, NAM (with contributions from Gasterra and GTS transport Services, 2018.

## 3 Production scenario results

The production scenarios defined in Chapter 2 were simulated with the Groningen dynamic reservoir model (Ref. 1, 2 and 4). As described in Chapter 2, a proportional distribution of production per region is not a pre-described model constraint, but rather a result of the demand for Groningen gas that is a function of time and temperature profile. For every monthly timestep the model meets the demand through the use of the cluster start-up list (Table 2-2).

### 3.1 “Basispad Kabinet” – Average Temperature

#### Gas Production

The resulting production profile “Basispad Kabinet” for the average temperature outlook is given in Figure 3.1, split by production region<sup>3</sup>. Eemskanaal serves as a capacity provider, represented by continuous offtake of 2 mln m<sup>3</sup>/d from 1 October till 31 March, and subsequently shut-in from October 2022. Bierum is assumed to be on continuous production of 6 mln m<sup>3</sup>/d for gas-years 2018/19 and 2019/20, subsequently reduced to 4 mln m<sup>3</sup>/d for 2020/21 and 2021/22, and shut-in from October 2022).

Between the various groups on the start-up list, South-East contributes the highest production share, some 30-40% prior to October 2022, and subsequently increasing to almost fully covering field production. The larger part of production demand is provided by the first four start-up groups (SE, CE1-2, SW1). The clusters close to Appingedam (CE2) are mainly required for the first 2 years only, and the clusters close to the city of Groningen (SW2-3) are required for capacity only.

---

<sup>3</sup> Production regions as defined in the Verwachtingenbrief, see Figure 2-5 of this report

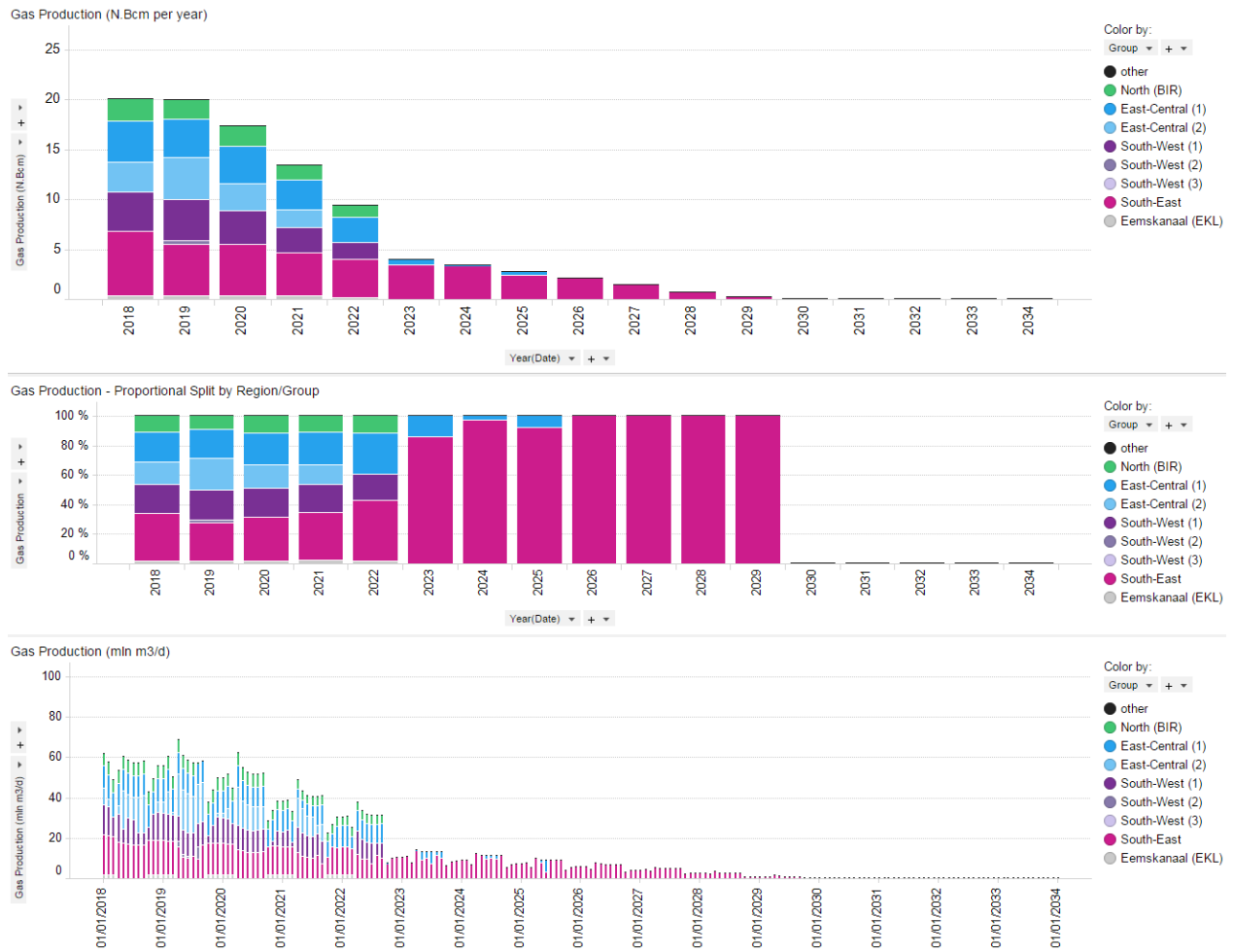


Figure 3-1: Production by region and start-up group (“Basispad Kabinet” – Average Temperature)

### Reservoir pressure

The associated change in reservoir pressure in the direct vicinity of the production clusters is given in Figure 3.2<sup>4</sup>. It can be observed that in the first few years the South-East clusters are most heavily utilized (steepest pressure decline and lowest overall reservoir pressure are observed in this area). Beyond 2021, the South-East production rates have decreased such that the effect of pressure equilibration across the entire reservoir becomes larger than the local depletion due to production. In other words, the gas flow from the higher pressure North-West of the field (Loppersum area) towards the more depleted South-East, becomes larger than the production from the South-East and the net effect is a stabilization and eventual increase of reservoir pressure in the entire South. The associated depletion in the Loppersum area is some 10 bar, following a relatively steady-state decline with no notable pressure fluctuations. The pressure fluctuations visible in the pressure response around the producing areas, due to production ramp-ups and cluster maintenance downtime, are fully damped in the Loppersum area due to the distance from the producing clusters and the high compressibility of the gas.

Figure 3-3 shows a reservoir pressure map at 1/1/2018. The forecasted pressure decline over the next 5 years (1/1/2018 to 1/1/2023) is given in Figure 3.4. A consequence of the production distribution is that pressure decline is predominantly located in the South-East corner of the field. In the South-West corner of the field (clusters

<sup>4</sup> Reservoir pressure is calculated by averaging the values in grid cells around the respective wells. The radius of this region is a function of permeability, but is typically in the order of a few hundred meters.

Koopolder, Slochteren, Froombosch) a net increase in reservoir pressure of some 2-3 bar is observed. This is because the combined net influx from the North of the field and from the Eemskaala block (both at higher pressures) is larger than the combined production (start-up group SW3 in Table 2-2) and outflux towards the South-East. Within the Eemskaala block itself there is also a net pressure increase. This is the area of the Eemskaala-13 well, which seized production in 2014. This area is now recharged by adjacent higher pressured blocks to the North and by the aquifer to the West of the field.

#### Reservoir Pressure

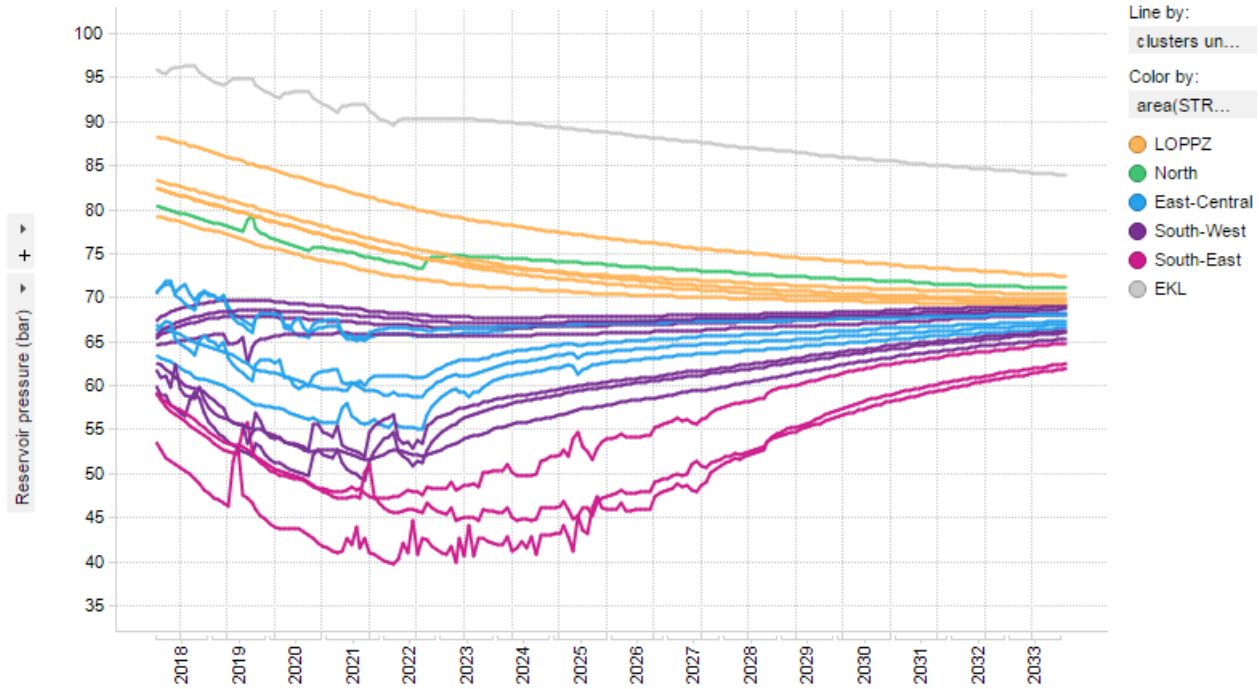
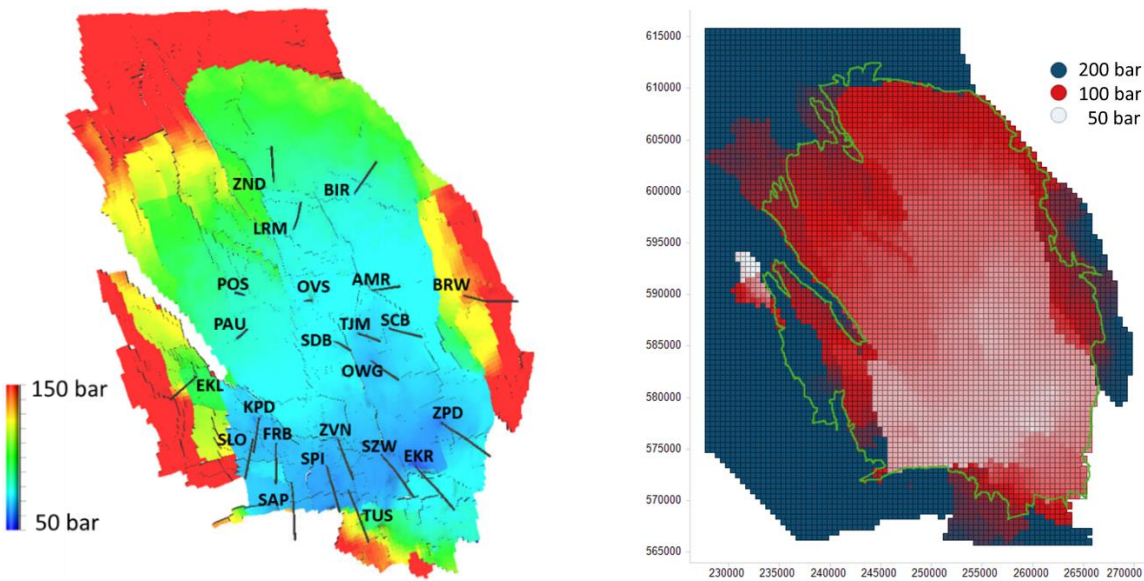
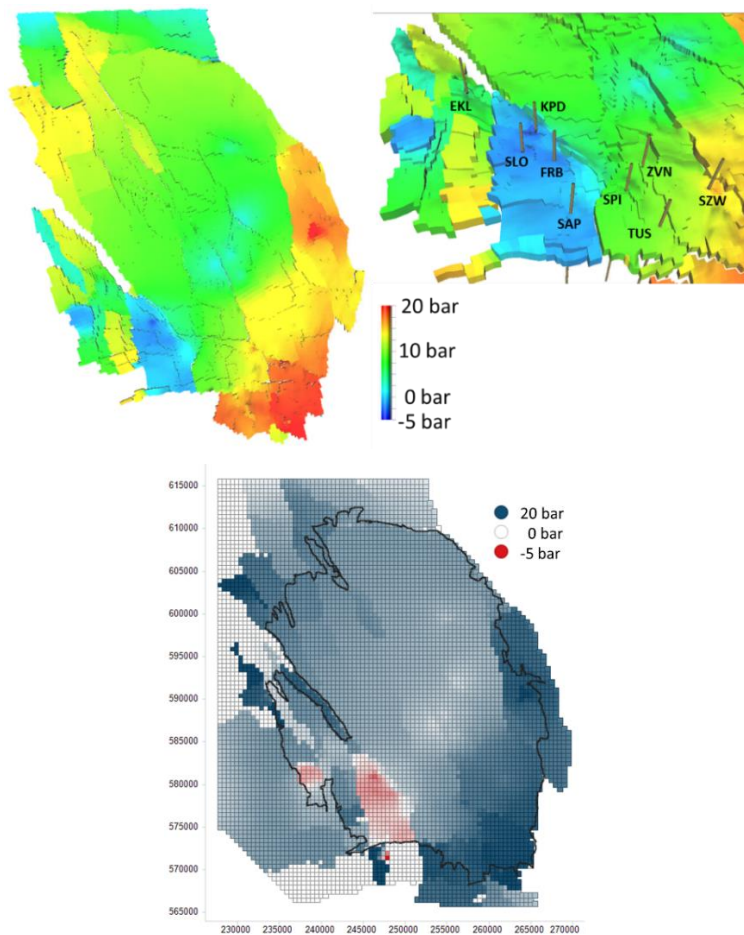


Figure 3-2: Reservoir pressure for “Basispad Kabinet” Average Temperature. Lines by production cluster, colours by production region.



*Figure 3-3:* Reservoir pressure at 1/1/2018. Both figures show the same data. On the left is the output from the reservoir simulator constrained to the Groningen field, while on the right is pressure used as input to the hazard and risk assessment.



*Figure 3-4:* Reservoir pressure decline from 1/1/2018 to 1/1/2023 for “Basispad Kabinet” – Average Temperature.

## Production capacity

Figure 3-5 compares the production to the available capacity in each region (under the unlikely assumption that all clusters remain available). The downward spikes in the region capacities are related to planned shutdowns of production clusters for maintenance and inspections, while the seasonal fluctuation in capacity is a reflection of the fact that the ambient temperature influences the efficiencies of the coolers and hence the total compressor efficiency. Another observation that can be made is that the production capacity is relatively constant through time for most regions. The South-East region shows a notable decline in capacity until 2022, after which the decline is halted and eventually capacity starts to increase again. This behaviour is a function of the reservoir pressure in the direct vicinity of the production clusters within each region. A declining reservoir pressure yields a declining production capacity, whereas an increasing reservoir pressure yields an increase in production capacity.

The associated load factors (fraction of total available capacity that is being produced) are given in Figure 3-6, reflecting the model implementation as outlined in section 2.4, with different start-up groups being ramped-up until overall field demand is met.



**Figure 3-5:** Forecasted production (green lines) and capacity (blue lines) per region for average temperature

Seismic Risk Assessment for Production Scenario “Basispad Kabinet” for the Groningen field - June 2018

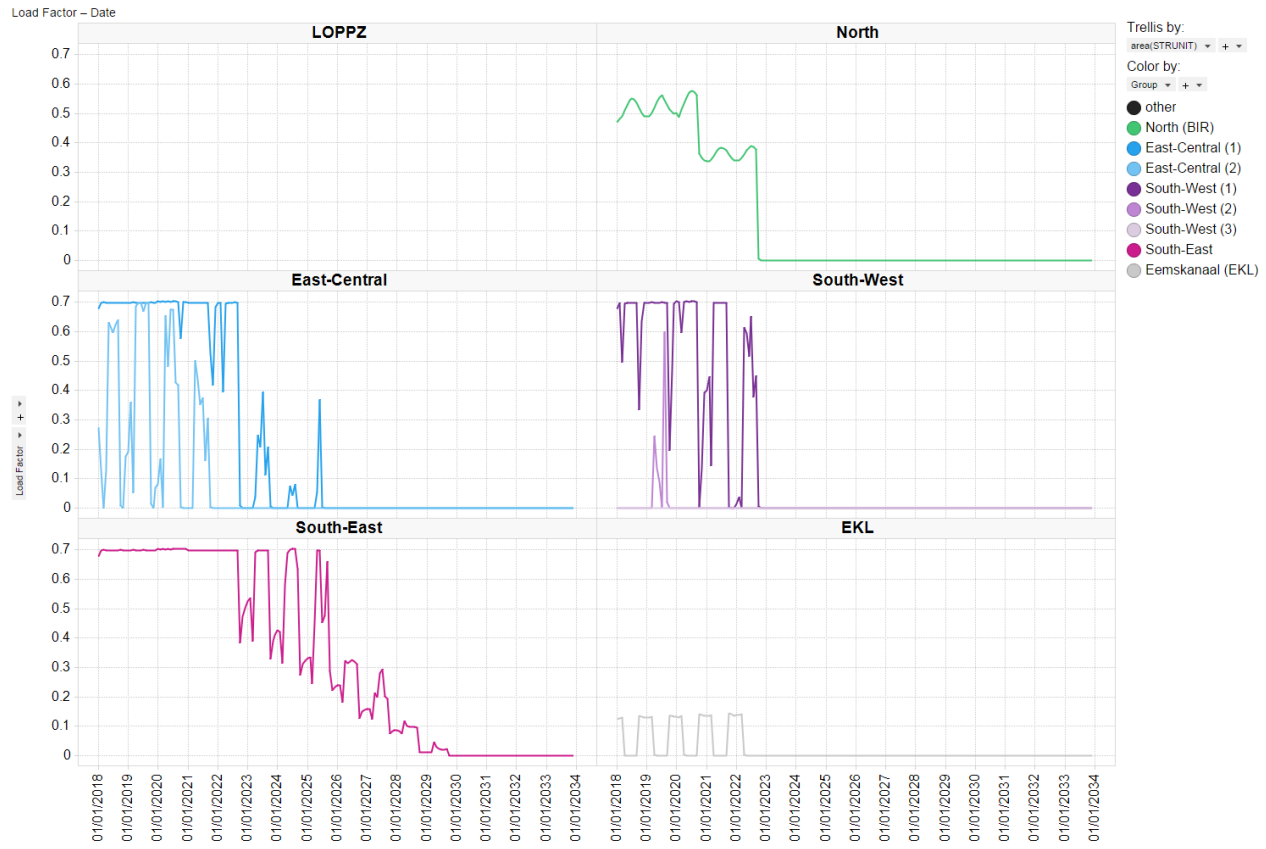


Figure 3-6: Load Factor per region

## 3.2 “Basispad Kabinet” – Cold Temperature

The “Basispad Kabinet” cold and warm production profiles give the extreme temperature end members from the past 31 years. Consecutive occurrence of 10 warm, average or cold years is highly unlikely. However, analysing these end member profiles is useful to ensure that the operational philosophy is suitable to meet the demand, while minimizing seismic hazard and risk in periods of cold and warm temperature.

### Gas Production

For the cold-temperature scenario, production volumes from the Bierum and Eemskanaal clusters were not increased compared to the average temperature base case. Figure 3.7 gives the regional break-down of the production profile, which now allocates more to the East-Central and South-West areas compared to the average temperature case. Due to being capacity constrained, the proportional share of the South-East clusters drops to about 20% in the years prior to the introduction of the nitrogen blending plant.

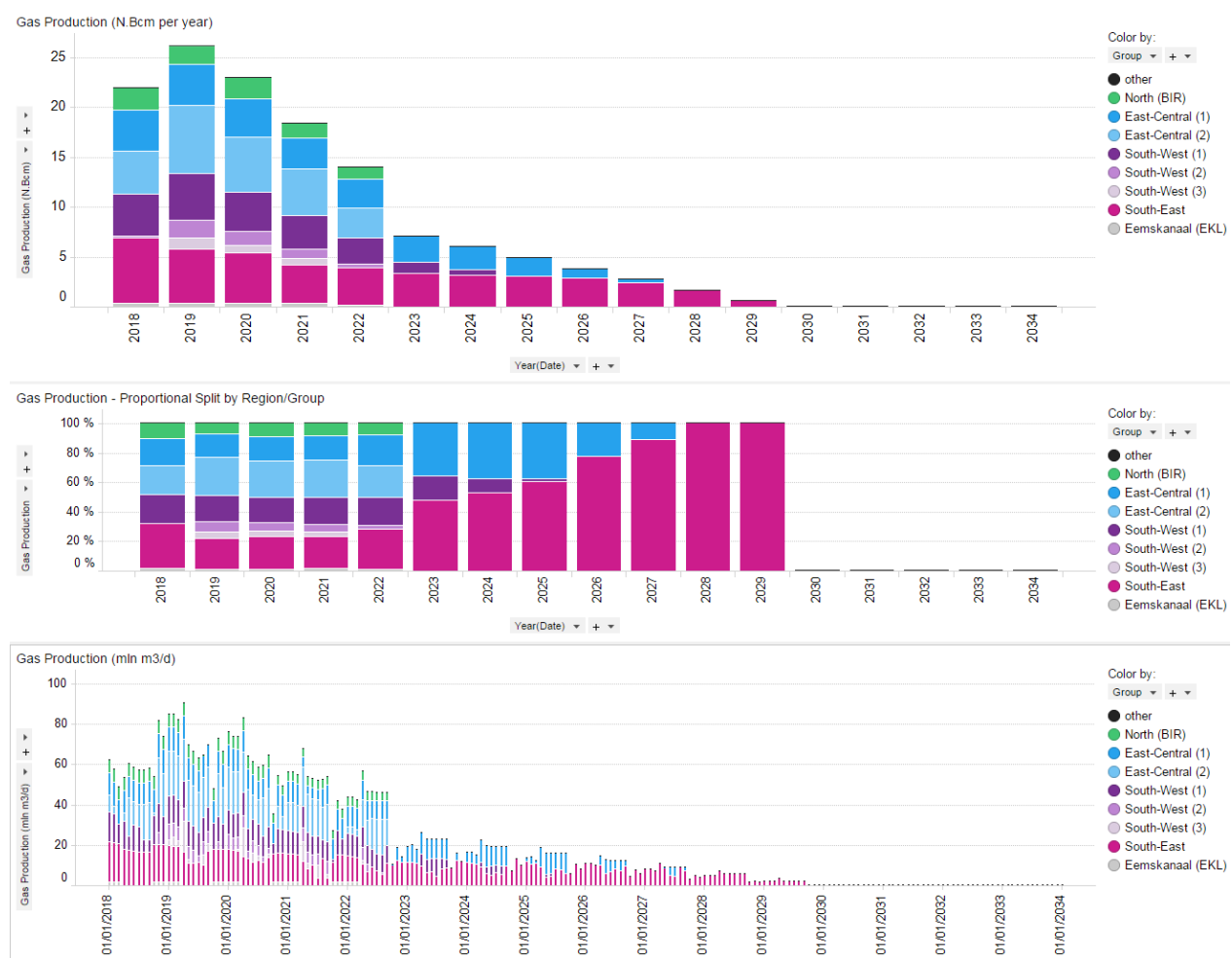


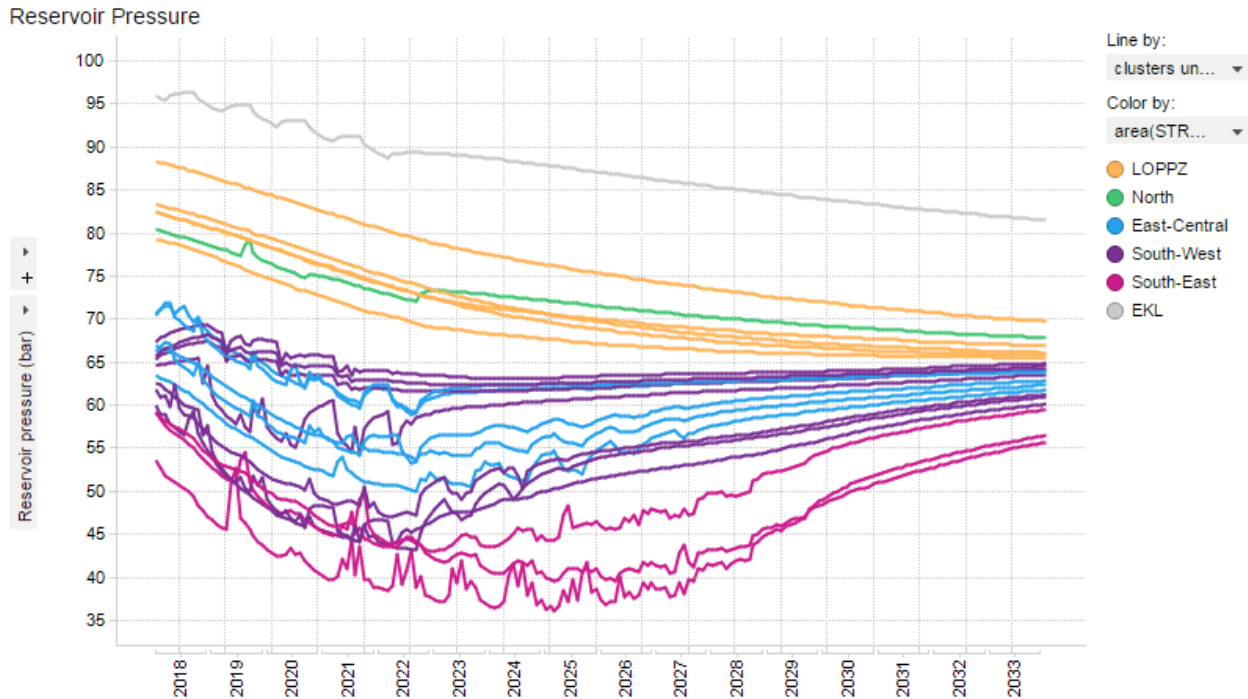
Figure 3-7 Production by region and start-up group (“Basispad Kabinet” – Cold Temperature) by calendar year

### Reservoir pressure

Figure 3.8 gives the associated reservoir pressure in the direct vicinity of the production clusters, showing the impact of increased utilization of the South-West and East-Central regions.

Figure 3.9 highlights the incremental depletion relative to the Average temperature scenario over the next 5 years. The additional depletion in the South-West and East-Central regions is apparent, but does not exceed 10 bar. There is no large difference in the South-East, where clusters were already running on maximum Load-Factor in the Average temperature scenario. In the Loppersum region, the impact of the higher production within this five-year period is limited.

In a cold year a notable increase in pressure can be observed at the Eastern margin of the field, where the Borgsweer water disposal well is located. Given the higher production volumes associated with the lower average temperatures, compared to the average temperature case, more associated condensed water is produced from the Groningen clusters, and subsequently reinjected at Borgsweer.



*Figure 3-8: Reservoir pressure for “Basispad Kabinet” Cold Temperature. Lines by production cluster, colours by production region.*

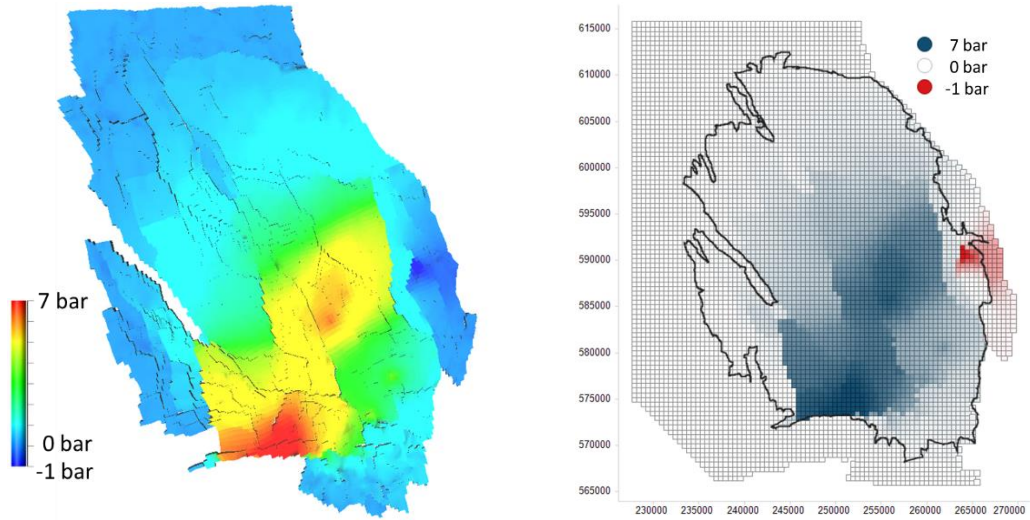
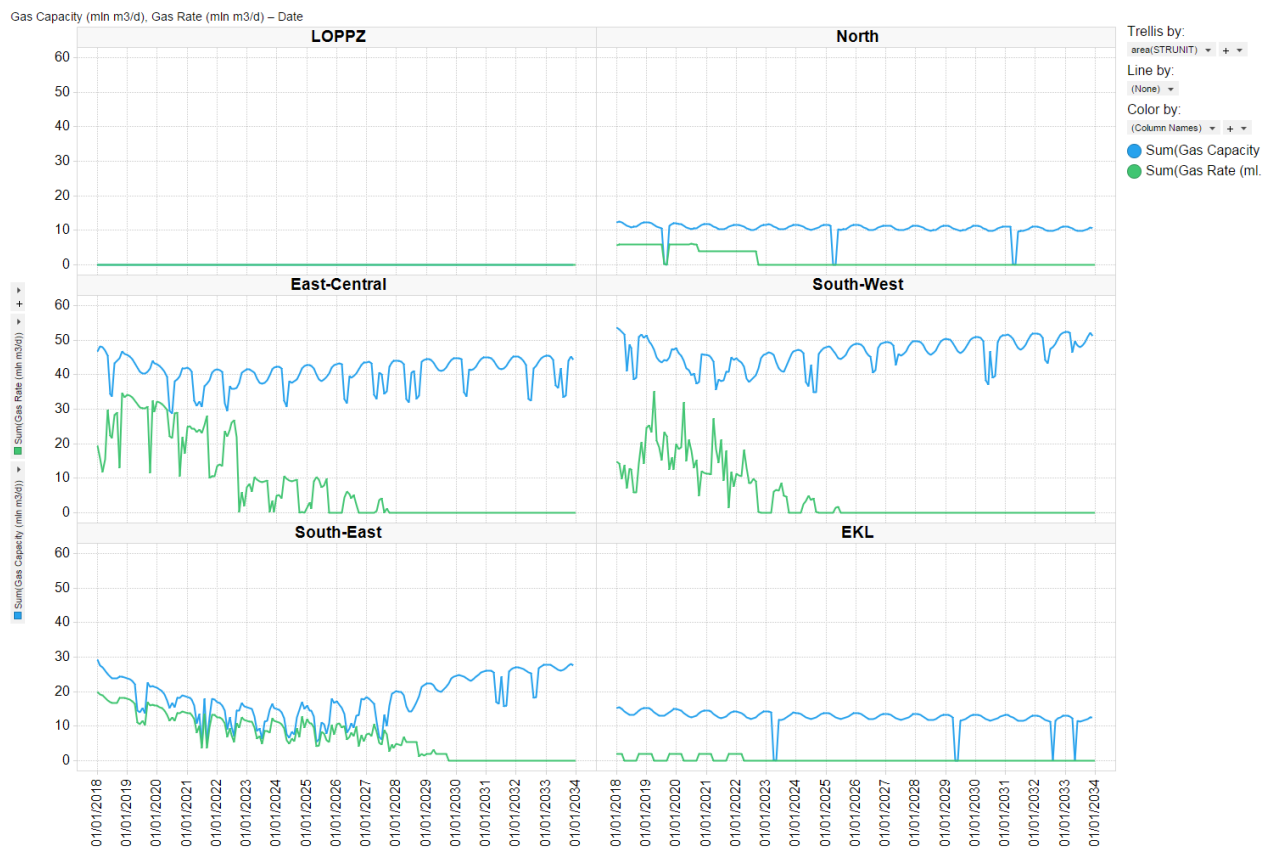


Figure 3-9: Incremental reservoir pressure decline for Cold scenario as compared to the Average temperature scenario, between 1/1/2018 and 1/1/2023.

### Production capacity

The higher utilization of South-West and East-Central is also evident from Figure 3-10 and 3.11. The East-Central clusters initially produce at full capacity (within the Load Factor restriction). Note that the maximum Load Factor was increased from 0.7 to 0.75 in order to meet periods of peak gas demand during the first few years. Some spare capacity remains available towards the South-West (EKL, SW2-3).

## Seismic Risk Assessment for Production Scenario “Basispad Kabinet” for the Groningen field - June 2018



*Figure 3-10: Forecasted production (green lines) and capacity (blue lines) per region for cold temperature*

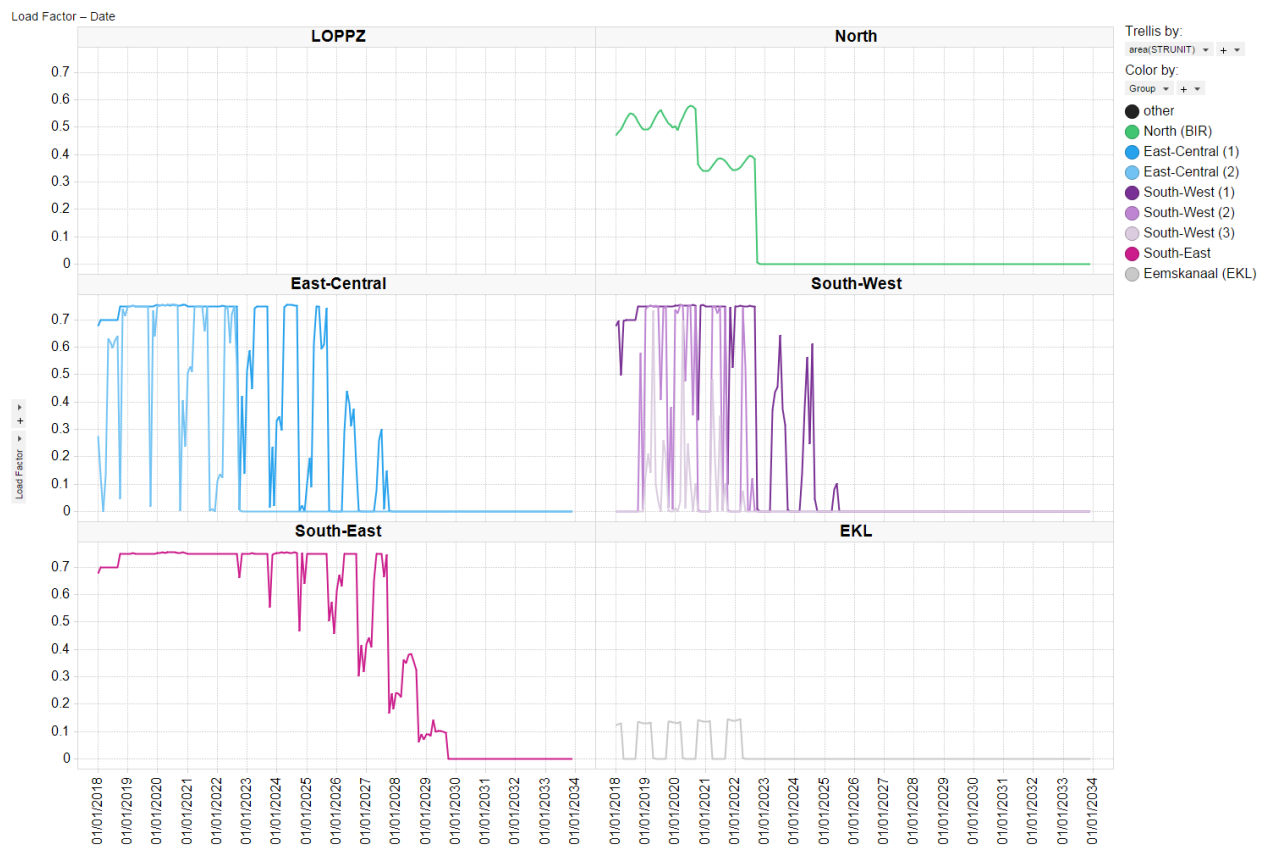


Figure 3-11: Load Factor per region and start-up group.

### 3.3 “Basispad Kabinet” – Warm Temperature

The “Basispad Kabinet” cold and warm production profiles give the extreme temperature end members from the past 31 years. Consecutive occurrence of 10 warm, average or cold years is highly unlikely. However, analysing these end member profiles is useful to ensure that the operational philosophy is suitable to meet demand, while minimizing seismic hazard and risk in periods of cold and warm temperature.

#### Gas Production

Figure 3.12 gives the regional break-down of the production profile for the warm temperature scenario. Bierum and Eemkskanaal are again operated as per the average temperature case. The South-East region can now carry a larger proportional share (some 35-55% prior to the nitrogen blending plant), and from 2023 onwards it can provide the required production volumes on its own. Only a modest volume is required from the South-West.

The larger part of the production demand can be met by the first three start-up groups (SE, CE1, SW1).

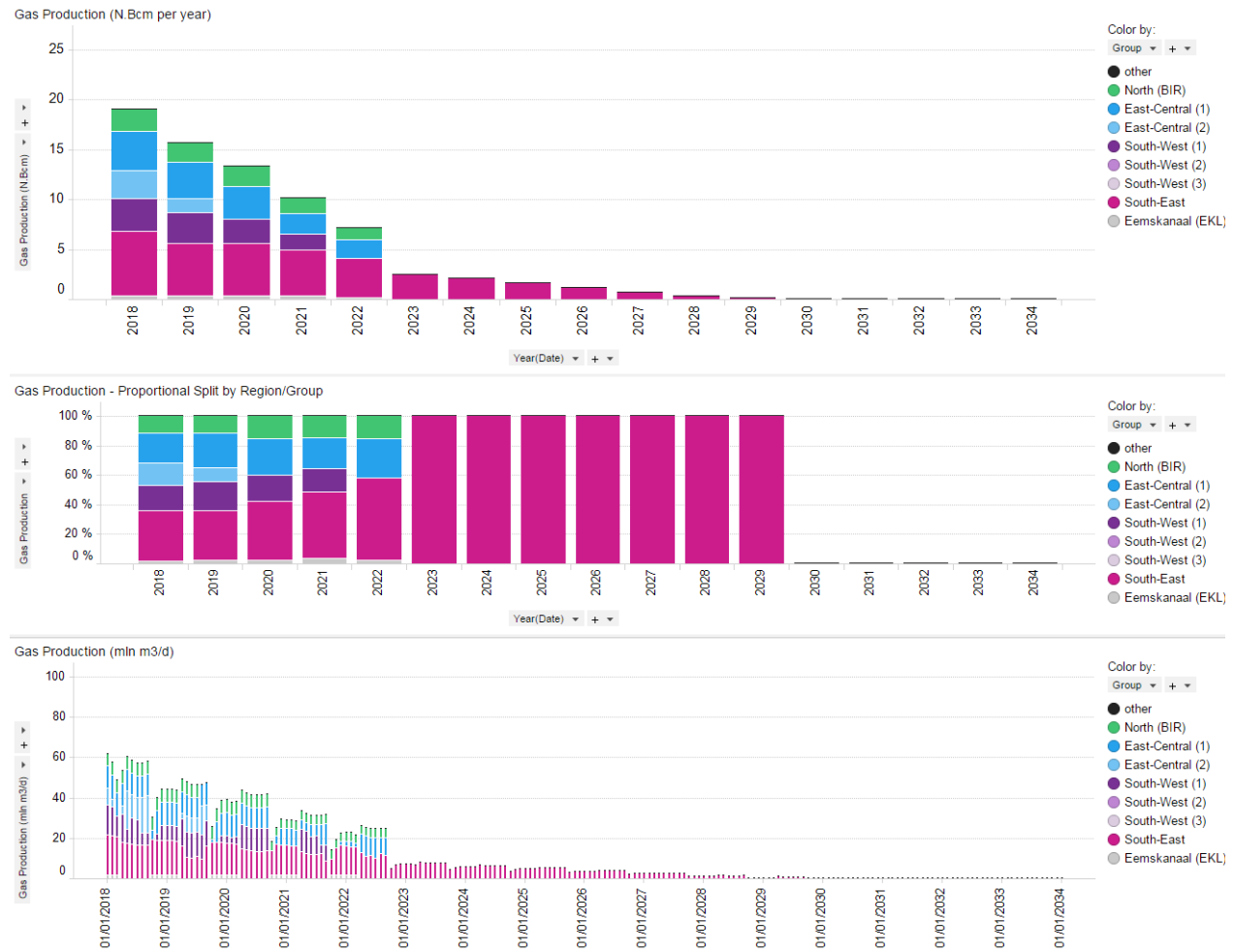


Figure 3-12: Production by region and start-up group (“Basispad Kabinet” – Warm Temperature)

#### Reservoir pressure

Figure 3.13 and Figure 3.14 show the impact of the reduced production volumes in the Warm scenario on reservoir pressure. The depletion in the South and East of the field is up to about 10 bar less than in the average temperature

case. Again, there is only limited impact on the Loppersum region for the five-year period shown in Figure 3.14. For this production case there is a slight reduction in pressure in the Borgsweer area due to less water injected.

#### Reservoir Pressure

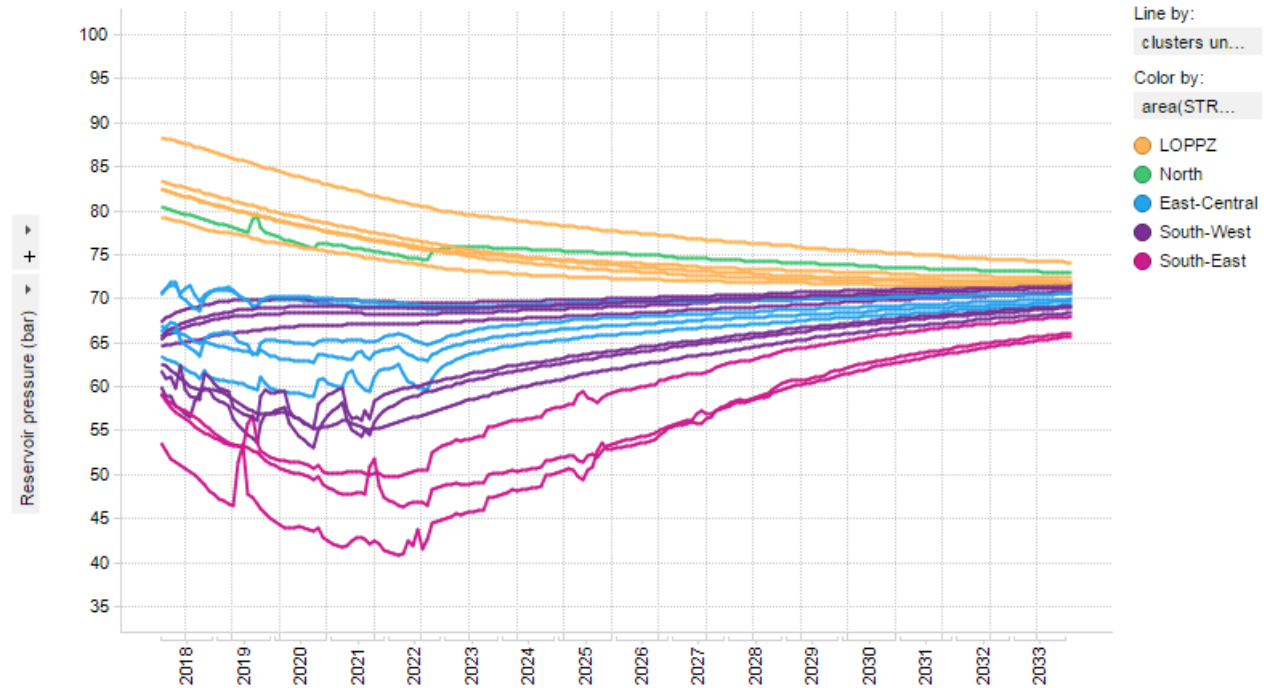


Figure 3-13: Reservoir pressure for “Basispad Kabinet” Average Temperature. Lines by production cluster, colours by production region.

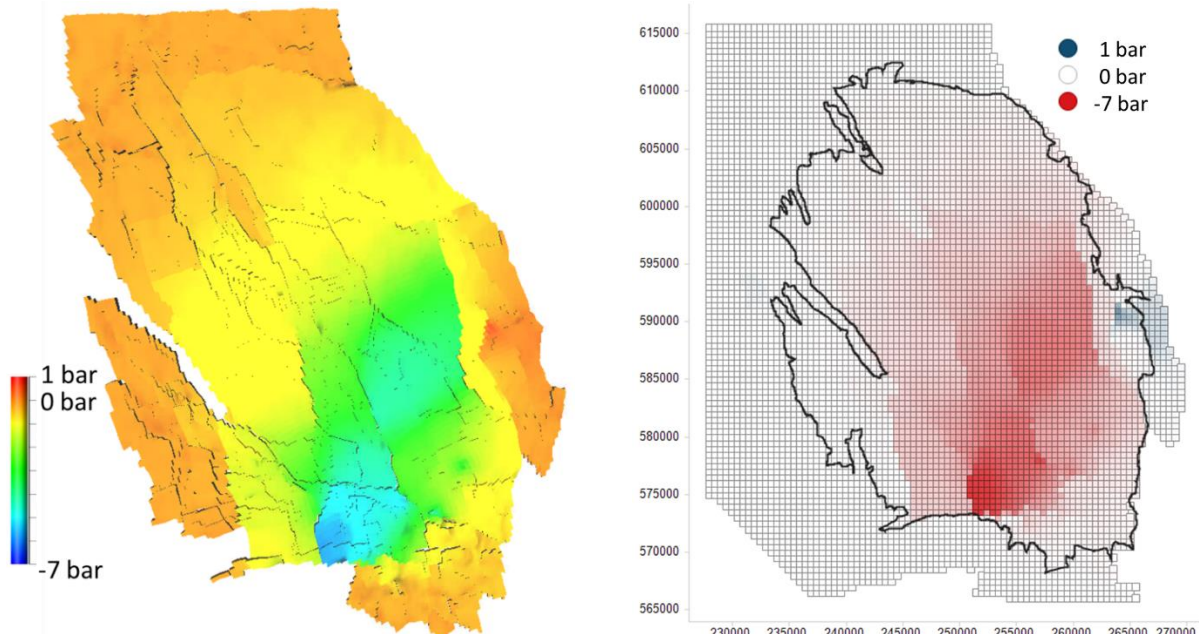


Figure 3-14: Incremental reservoir pressure decline for Warm scenario as compared to the Average temperature scenario, between 1/1/2018 and 1/1/2023.

## Production and capacity

The production and capacity curves are shown in Figure 3.15, and the resulting Load Factors shown in Figure 3-16. The effect of the additional nitrogen blending plant (onstream as per gas-year 2022/2023) is clearly evident from the Load Factor graph, with the Load Factor in the South-East showing a big drop as the total gas demand becomes less than the available capacity in the South-East alone.

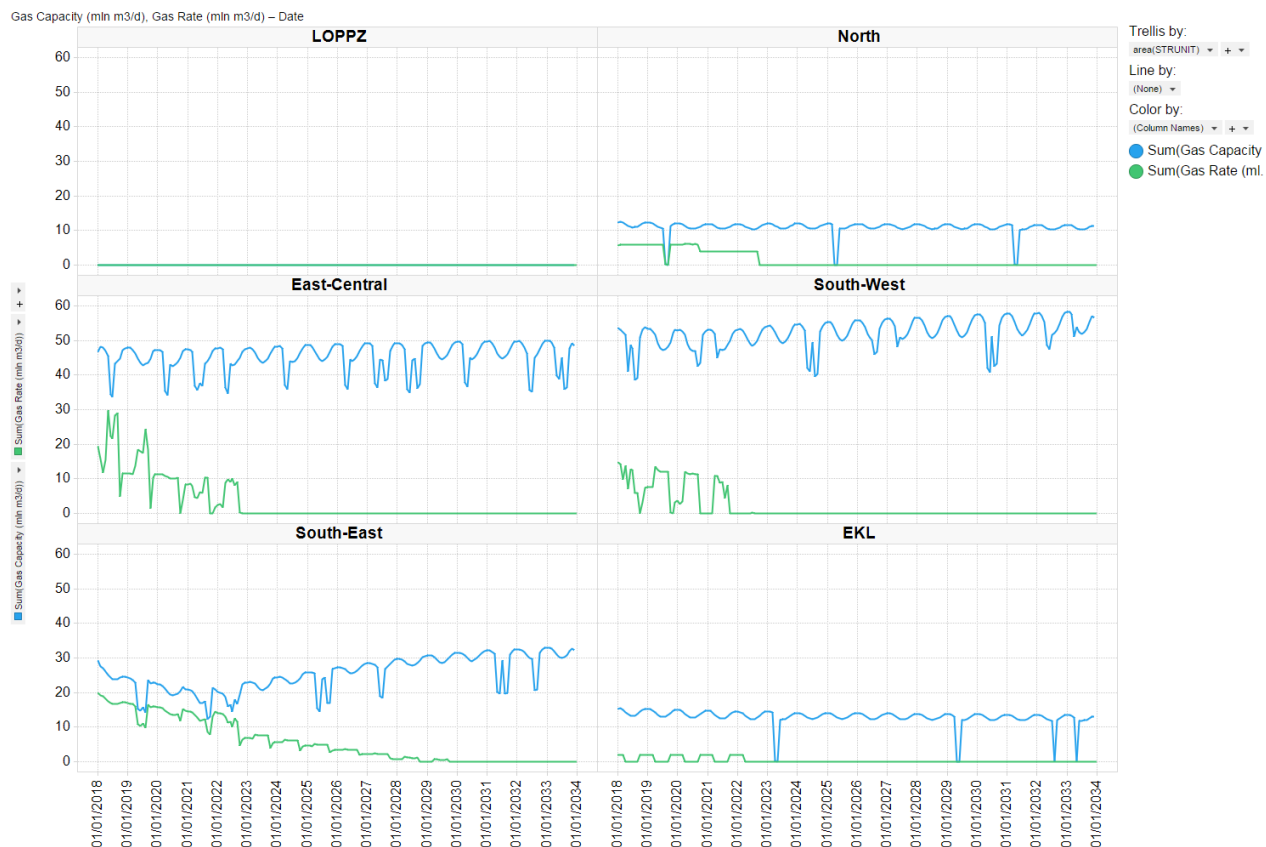


Figure 3-15: Forecasted production (green lines) and capacity (blue lines) per region for warm temperature

Seismic Risk Assessment for Production Scenario “Basispad Kabinet” for the Groningen field - June 2018



*Figure 3-16: Load Factor per region and start-up group*

### 3.4 Comparing scenarios

Some further comparisons between the various scenarios are given in Figure 3-17 to Figure 3-19. Figure 3-17 compares the production by region, Figure 3-18 the reservoir pressure (in the vicinity of a selected production cluster within each region), and Figure 3-19 the Load Factor by region. The compared properties are averaged over the year for clarity.

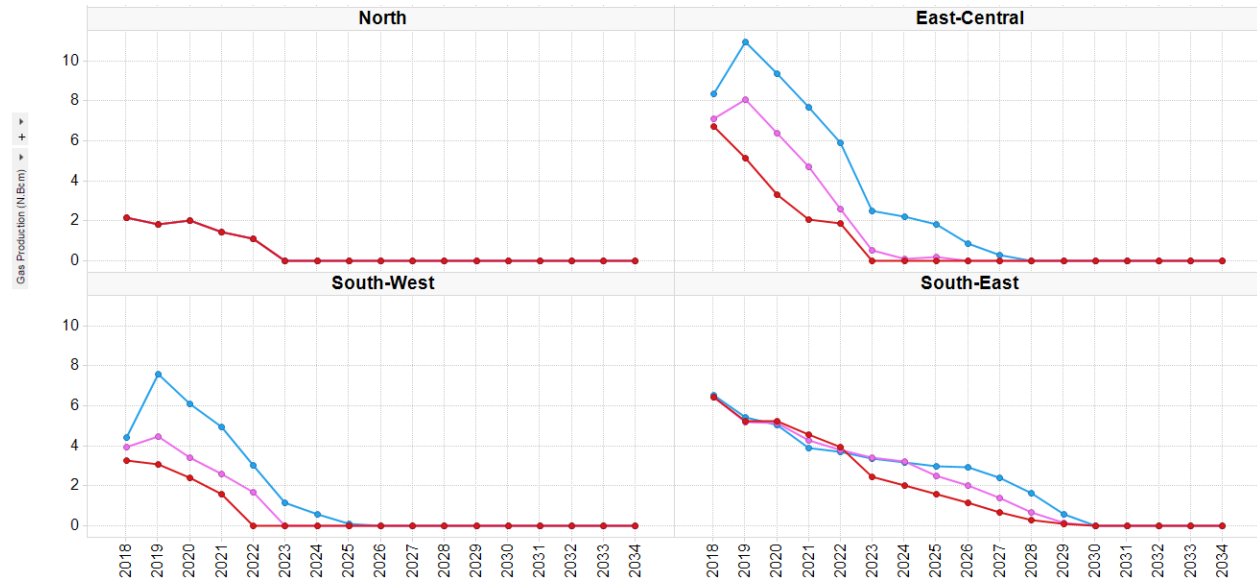
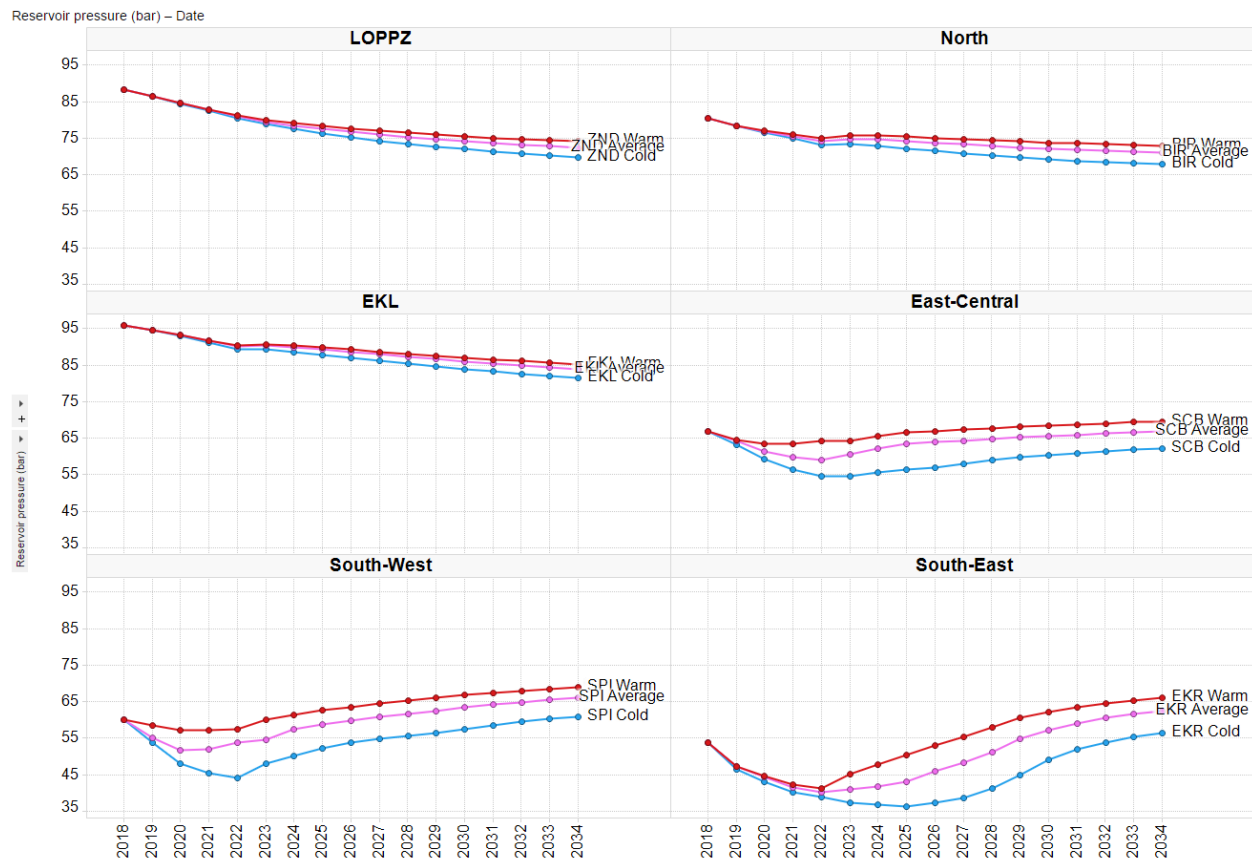
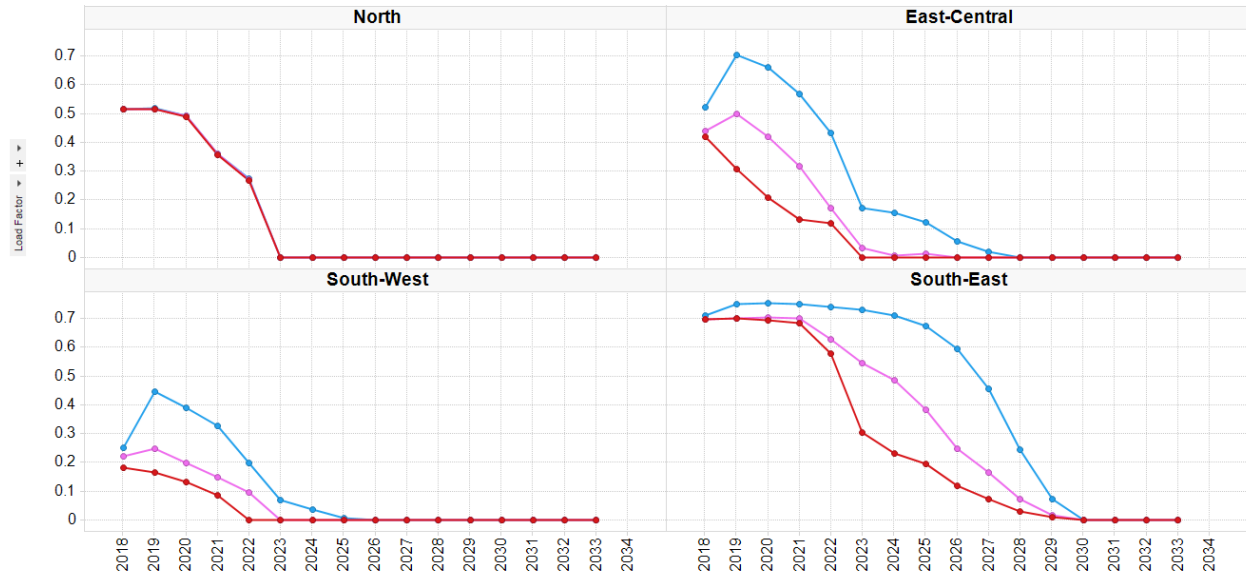


Figure 3-17: Comparison between production scenarios of the Gas Production by region. Cold temperature scenario given in blue, Average in magenta, Warm in red.



*Figure 3-18: Comparison between production scenarios of the reservoir pressure in the vicinity of a selected production cluster for each region.*



*Figure 3-19: Comparison between production scenarios of the Load Factor by region. Cold temperature scenario given in blue, Average in magenta, Warm in red.*

### 3.5 Impact of cold and warm temperature on HRA

The “Basispad Kabinet” cold and warm production profiles give the extreme temperature end members from the past 31 years. Reflecting the fact that it is unlikely to only have consecutive extreme cold (or warm) years, it was deemed more realistic<sup>5</sup> to evaluate seismic hazard and risk on production profiles that follow the average, but include an outstep to the extreme temperature profile for one single gas-year. An example where gas-year 2019-2020 follows the cold temperature profile is shown in Figure 3-20.

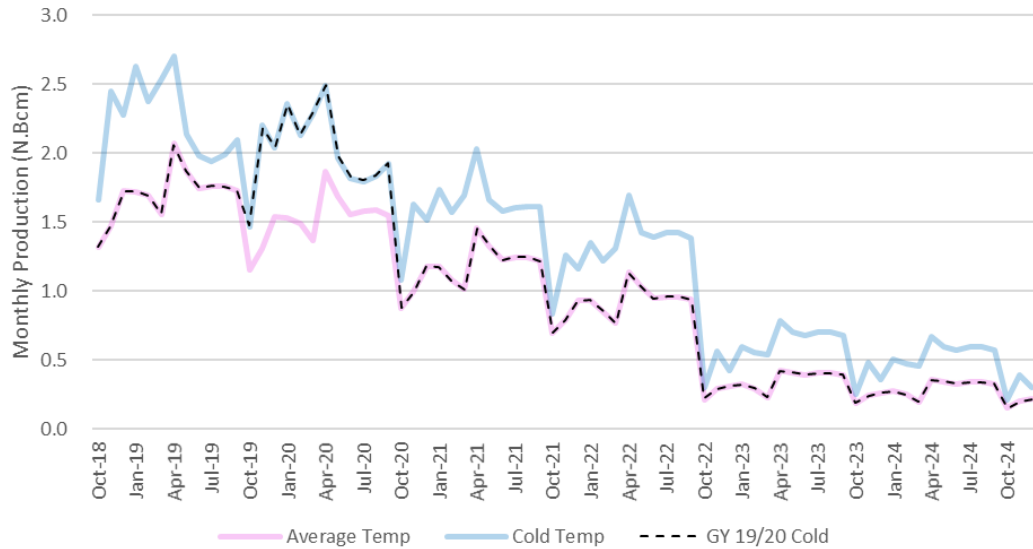


Figure 3-20: Groningen field production profiles for average and cold temperatures along with the profile used where a single year follows the cold temperature profile, in this case gas-year 2019-20.

In terms of regional production distribution etc. these outstep profiles typically lie close to the cold or warm temperature profile for the single year in question. The example of gas-year 2019-20 being cold is given in Table 3-1 in terms of regional production fractions.

Region	Average Temperature	Cold Temperature	GY 2019-20 Cold
South-East	29%	22%	22%
East-Central	36%	41%	42%
South-West	21%	27%	25%
BIR	12%	9%	9%
Eemskanaal	2%	1%	1%

Table 3-1: Production fractions per region for gas-year 2019-20; comparing the single year outstep profile to the average and cold temperature profiles.

<sup>5</sup> Similar to rolling a dice, the odds of only throwing 6 in a set of rolls is progressively getting smaller when increasing the sampling set, the expectation value is 3.5

### 3.6 References

1. Groningen Dynamic Model Update 2017, NAM Reservoir Engineering Team: Henk van Oeveren, Per Valvatne and Leendert Geurtsen, September 2017.
2. Induced Seismicity in Groningen, Assessment of Hazard, Building Damage and Risk – November 2017, NAM (Jan van Elk and Dirk Doornhof), November 2017.
3. Seismic risk assessment for a selection of seismic risk production scenarios for the Groningen field - Addendum to: Induced Seismicity in Groningen Assessment of Hazard, Building Damage and Risk (November 2017), Jan van Elk, Assaf Mar-Or, Leendert Geurtsen, Per Valvatne, Eddy Kuperus and Dirk Doornhof, March 2018.
4. Groningen Dynamic Model Update 2017 – V5, Quint de Zeeuw, Leendert Geurtsen, September 2017.

## 4 Event Rate and Hazard Assessment

### 4.1 Event Rate Forecasting

Based on the production scenarios “Basispad Kabinet”, the number of earthquakes with a magnitude larger than or equal to M=1.5 have been forecasted. Figure 4-1 shows the annual number of earthquakes forecasted until 2032 for Groningen field volume offtake for the “Basispad Kabinet” average temperature profile. After an initial plateau of about 16 – 19 earthquakes per year until 2021, the seismic activity rate starts to decline. This is a consequence of the decreasing gas production after the new nitrogen blending plant comes on stream.

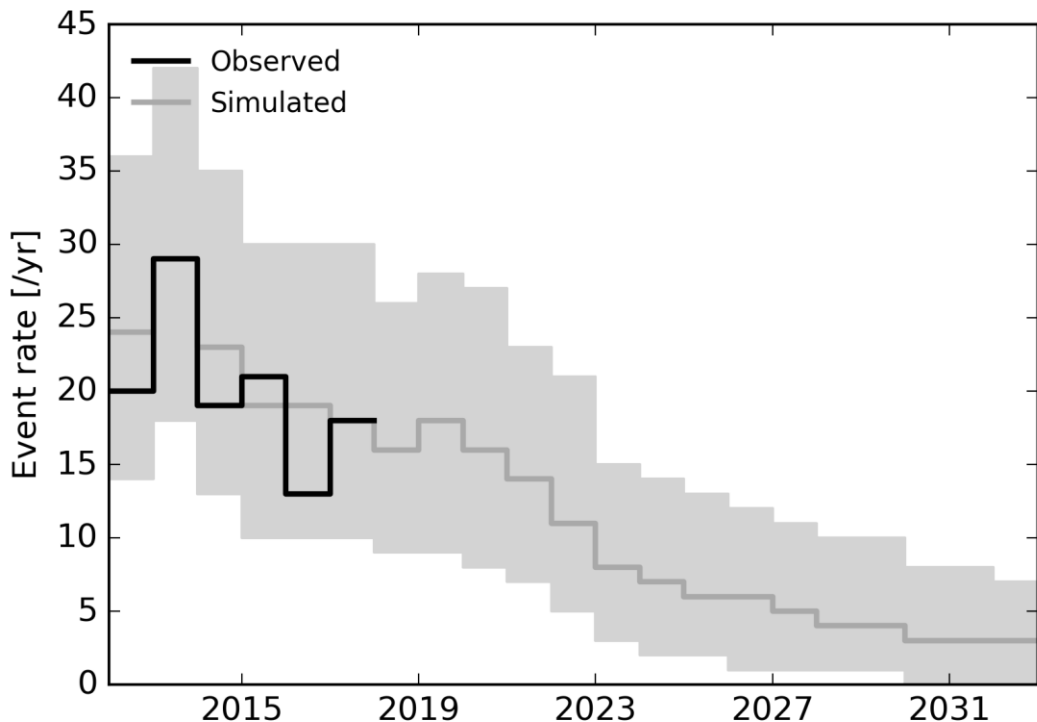
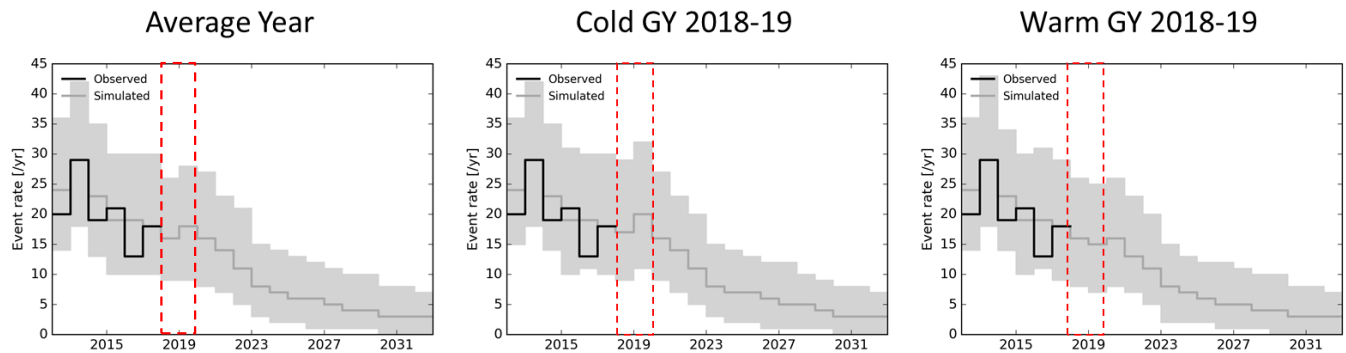


Figure 4-1 Seismic Activity Rate of earthquakes for the period 2012 to 2032 (“Basispad Kabinet – Average Temperature”). The dark grey line indicates the expected number of earthquakes in each year and the grey area the uncertainty band.

The seismic activity rate declines to an expected 3 earthquakes per year in 2032, with an uncertainty range of 0 to 8 earthquakes per year. The seismic activity rate beyond 2025 is primarily driven by the pressure equilibration in the field, between the high-pressure area North-West of Loppersum and the lower-pressure area South-East of the field (Ref. 1).

The expected impact of temperature uncertainty is within the uncertainty band for event rate of the average temperature scenario. In Figure 4-2 the seismic activity rate for three scenarios is shown; the average temperature scenario, an average temperature scenario with gas-year 2018-2019 a cold year and an average temperature scenario with gas-year 2018-2019 a warm year. Especially in calendar year 2019 the activity rate is higher for the cold year scenario (20 earthquakes) than for the average temperature scenario (18 earthquakes) and lower for the warm year scenario (15 earthquakes).



**Figure 4-2** The seismic activity rate for three production scenarios; (left) the average temperature scenario, (middle) an average temperature scenario with gas-year 2018-2019 a cold year and (right) an average temperature scenario with gas-year 2018-2019 a warm year.

These differences in seismic activity rate between the weather scenarios are smaller than the uncertainty band for the average weather scenario.

The seismological model is used to forecast the seismicity in terms of the number, location and magnitude of future earthquakes. The probability of an earthquake with a magnitude exceeding a given magnitude can be assessed. In table 4.1 the annual probability of an earthquake occurring with a magnitude exceeding the specified magnitude is given. For instance, the probability of an earthquake occurring in 2018 with a magnitude exceeding  $M_L=3.6$  (the magnitude of the Huizinge earthquake) is equal to 13%.

Year	P( $M >= 3.6$ )	P( $M >= 4.0$ )	P( $M >= 4.5$ )	P( $M >= 5.0$ )
2018	13.4%	5.5%	1.4%	0.3%
2019	14.5%	5.8%	1.3%	0.3%
2020	13.4%	5.4%	1.3%	0.3%
2021	12.2%	4.9%	1.1%	0.3%
2022	10.0%	4.0%	1.0%	0.3%
2023	7.0%	2.6%	0.7%	0.2%
2024	6.2%	2.5%	0.6%	0.2%
2025	6.0%	2.5%	0.6%	0.1%
2026	5.3%	2.2%	0.6%	0.1%
2027	4.6%	1.7%	0.4%	0.1%

**Table 4.1** Table with annual probabilities for occurrence of earthquakes exceeding a set magnitude.

For comparison, the equivalent table in the “Hazard, Building Damage and Risk Assessment – November 2017” (Ref. 2) is reproduced as table 4.2. This Hazard Assessment was based on a 24 Bcm/year scenario. A reduction of the event rate for the “Basispad Kabinet” production scenario compared to the event rate for the 24 Bcm/year scenario can be observed. For instance, the chance of an earthquake in 2019, with a magnitude  $M_L>3.6$  (the magnitude of the Huizinge earthquake in 2012), was in the report from November 2017 (Ref. 2) assessed to be 17%, based on a 24 Bcm/year production scenario. Based on “Basispad Kabinet” production scenario this chance has reduced to 14.5%.

More importantly, as a result of the declining production in the “Basispad Kabinet” scenario the chance of an earthquake with a magnitude exceeding  $M_L=3.6$  (or other magnitude) is declining throughout the next 10 years.

Year	P(M>=3.6)	P(M>=4.0)	P(M>=4.5)	P(M>=5.0)
2018	16.0%	6.6%	1.6%	0.4%
2019	17.0%	7.0%	1.6%	0.4%
2020	17.8%	7.5%	1.8%	0.4%
2021	19.3%	8.0%	1.9%	0.5%
2022	20.2%	8.7%	2.2%	0.6%

Table 4.2

*Table with annual probabilities for occurrence of earthquakes exceeding a set magnitude Taken from “Hazard, Building Damage and Risk Assessment – November 2017” (Ref. 2).*

## 4.2 Hazard Assessment

Hazard maps have been prepared for each year of the next ten calendar years and for the next three 5-year periods. Separate hazard maps are available for the “Basispad Kabinet” at average temperature profile, cold temperature profile and warm temperature profile.

The hazard map for the average temperature weather scenario for each year of the period 2018 to 2027 is shown in figure 4.3 a, b, c. The hazard is, as expected based on the declining gas production profile, also decreasing over this period. The trend in the largest PGA in these annual hazard maps is shown in figure 4.4. However, this reduction is not evenly spread over all areas of the field. In the later years, the hazard is primarily located in the area North-East of Loppersum. This is consistent with the equilibration of reservoir pressures during these later years. The gas from the higher-pressure area to the North-West of Loppersum will continue to flow to the lower pressure South-Eastern area, causing a continued decrease of pressure in the former area. This effect of gas flow within the reservoir due to equilibration of pressure differences is referred to as the “remweg” effect. In theoretical remweg production scenarios this effect (Ref. 1) has also been demonstrated.

The effect can also be seen in Figure 4-5, showing in the upper row the hazard maps of the “Basispad Kabinet” production scenario for the next three 5-year periods. The lower row shows the hazard maps for the 24 Bcm/year scenario of November 2017 for the next two 5-year periods for comparison. In Figure 4-6 the Hazard map for the 5-year period 2018 to 2022 is shown in larger format.

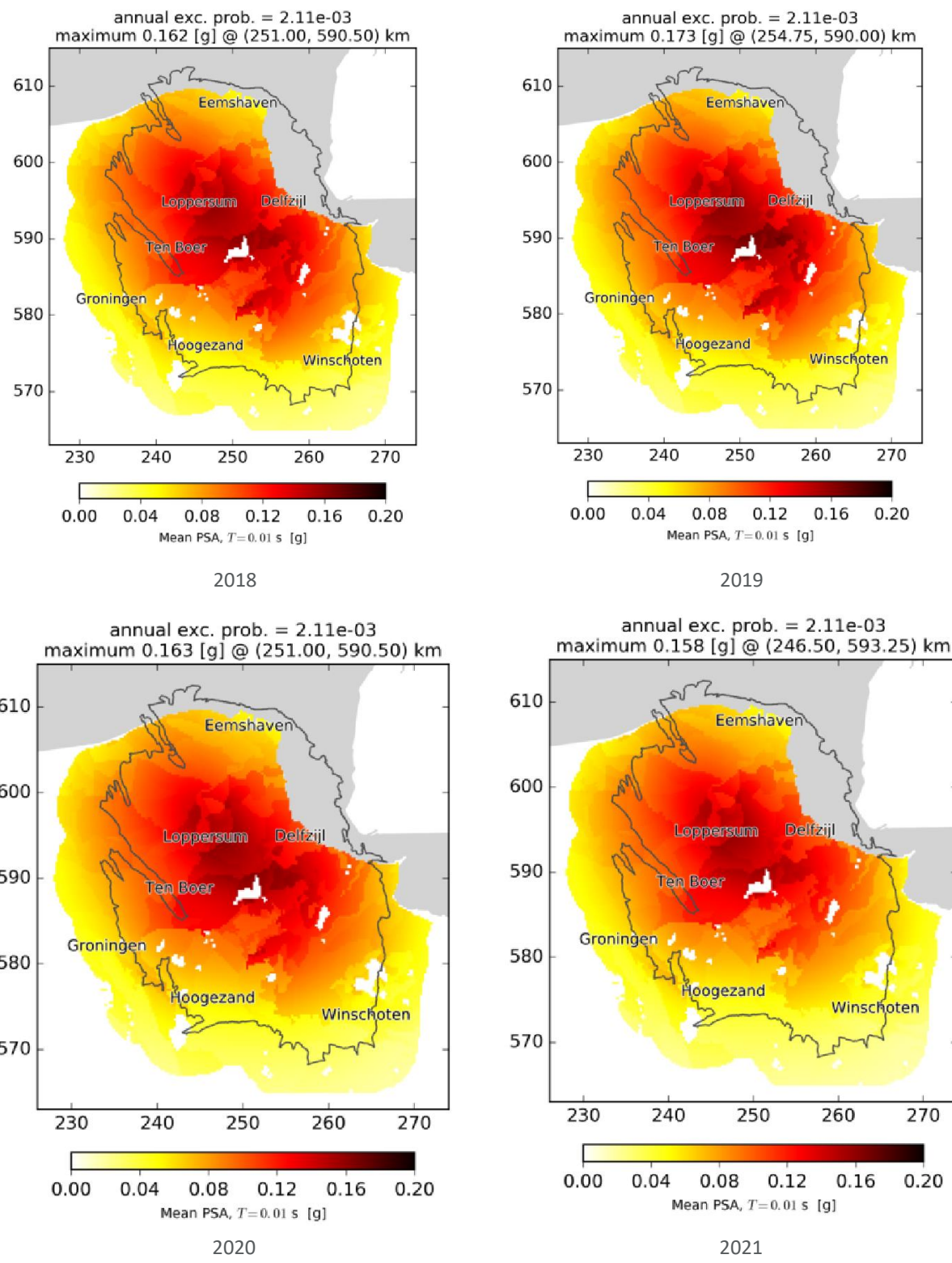


Figure 4.3a

Hazard Maps for the average temperature weather scenario for the years 2018 (top – left), 2019 (top – right), 2020, (bottom – left) and 2021 (bottom – right).

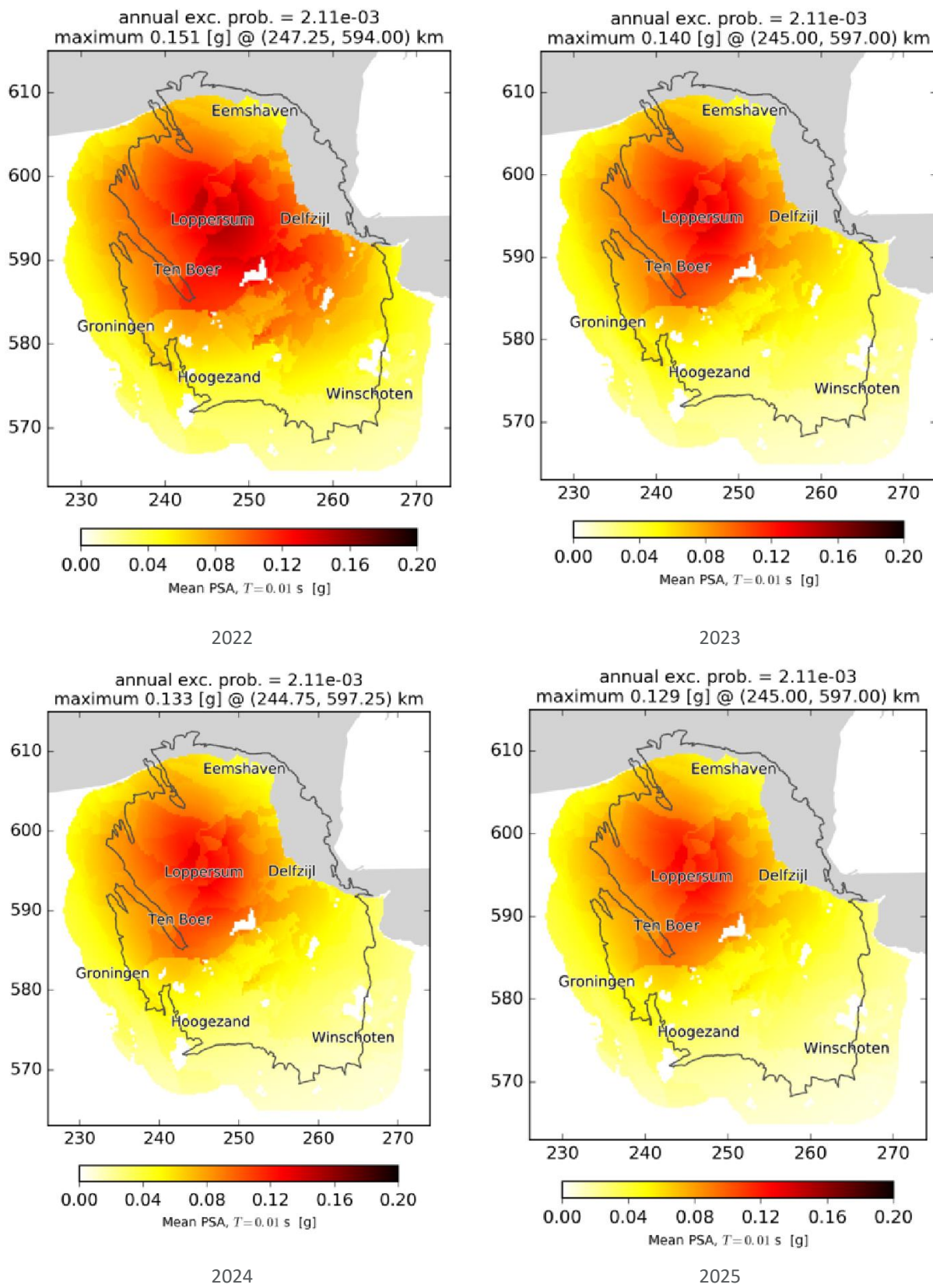


Figure 4.3b

Hazard Maps for the average temperature weather scenario for the years 2022 (top – left), 2023 (top – right), 2024, (bottom – left) and 2025 (bottom – right).

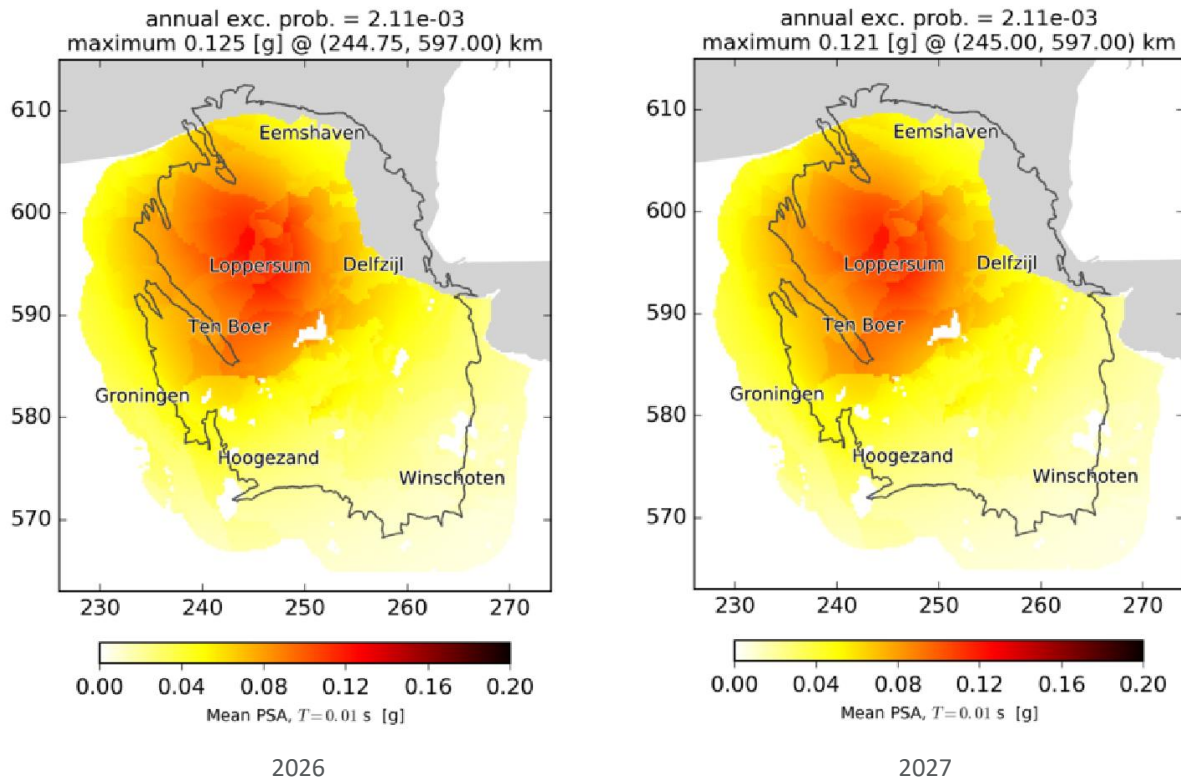


Figure 4.3c Hazard Maps for the average temperature weather scenario for the years 2026 (left) and 2027 (right).

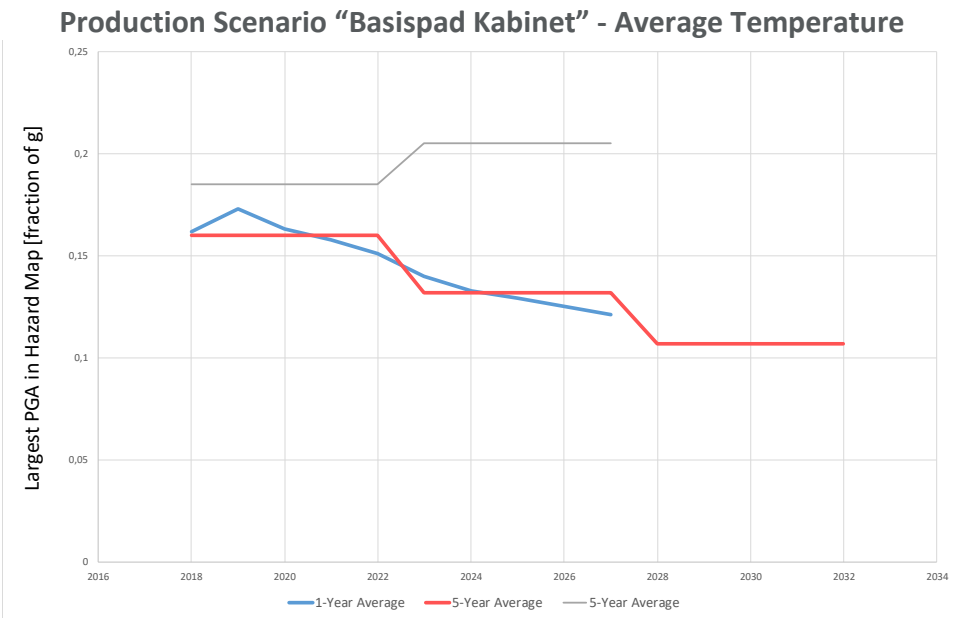


Figure 4.4

Development over time of the largest PGA in the hazard maps.

The grey line denotes the largest PGA in the two 5-year hazard maps of the 24 Bcm/year scenario.

The red line denotes the largest PGA in the three 5-year hazard maps of the “Basispad Kabinet” scenario.

The blue line denotes the largest PGA in the ten 1-year hazard maps of the “Basispad Kabinet” scenario.

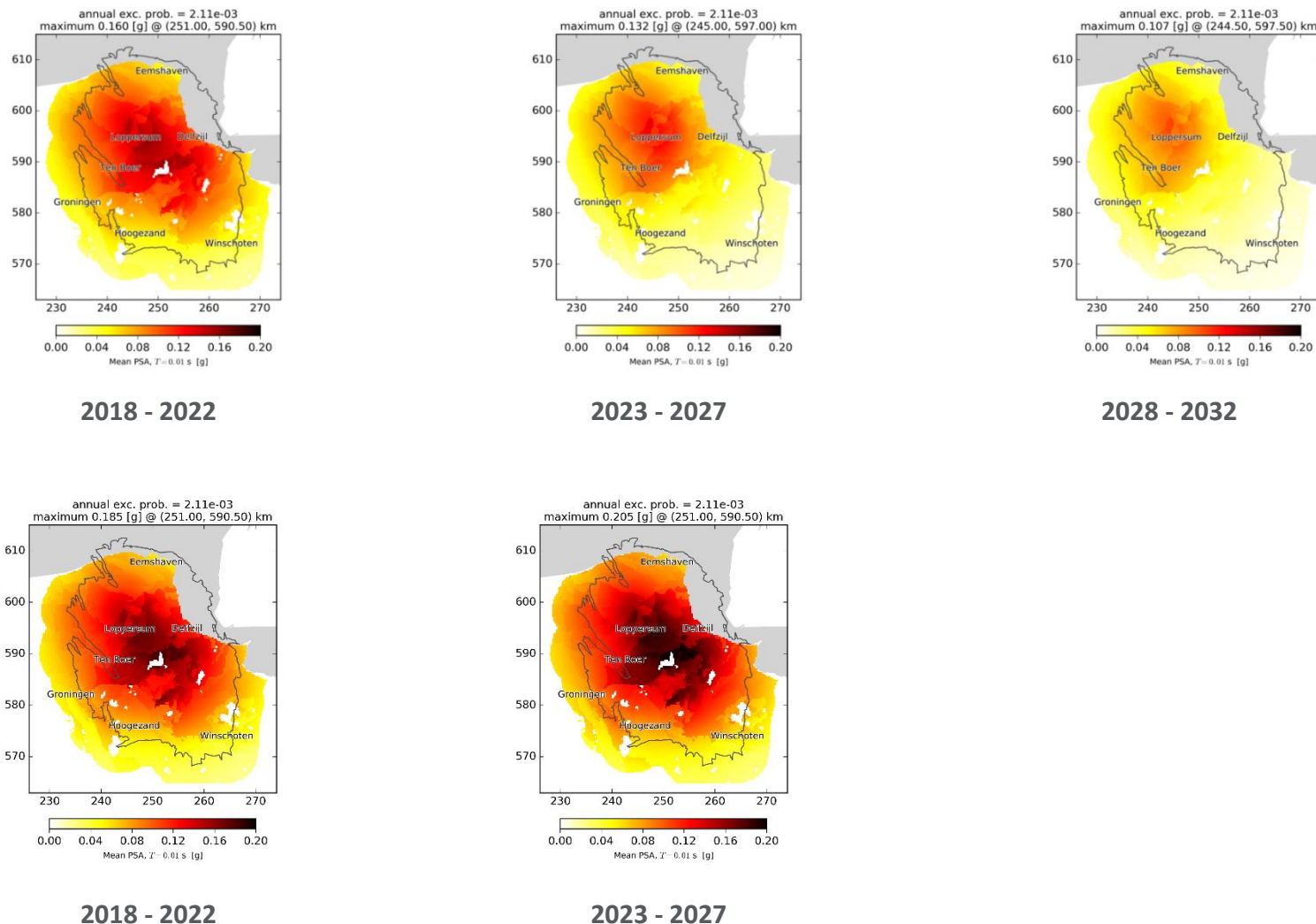


Figure 4.5

The three 5-year hazard maps for the average weather “Basispad Kabinet” scenario (top) and the two 5-year hazard maps for the average weather 24 Bcm/year scenario (bottom).

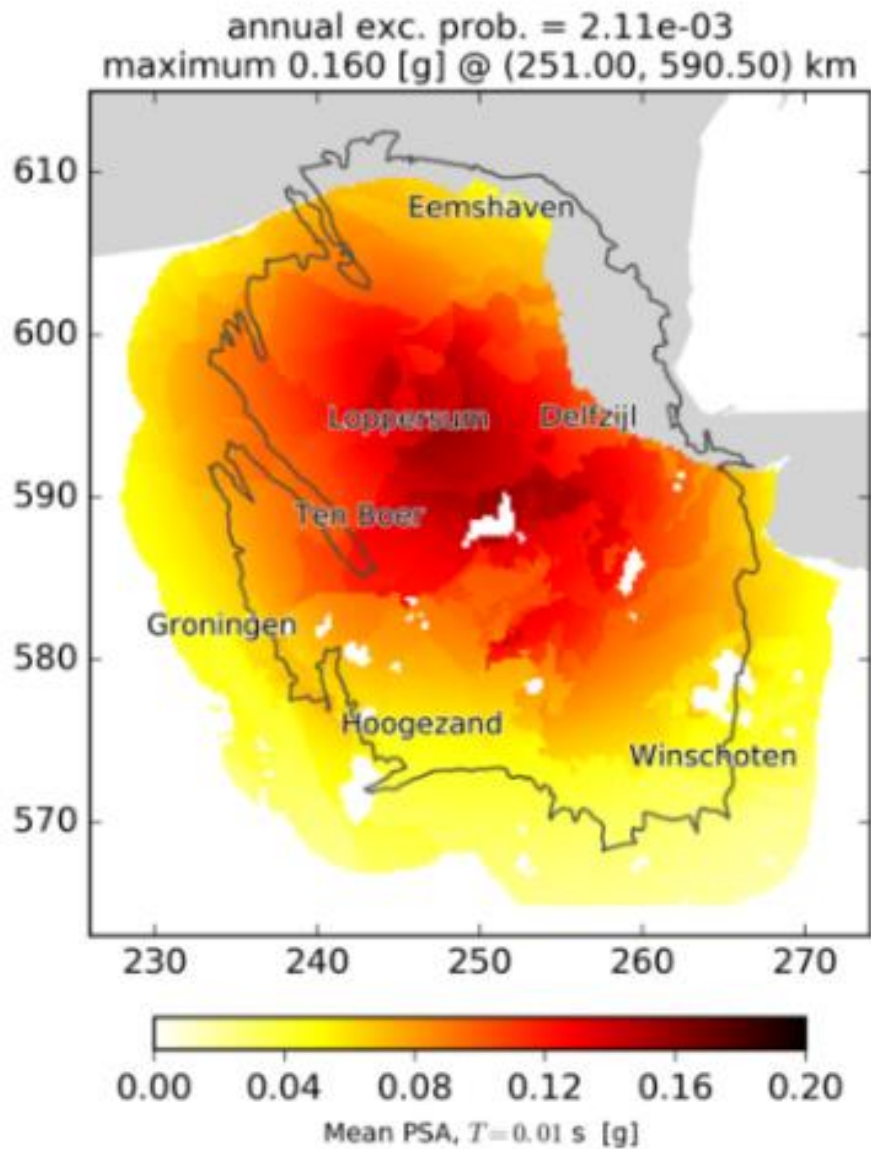
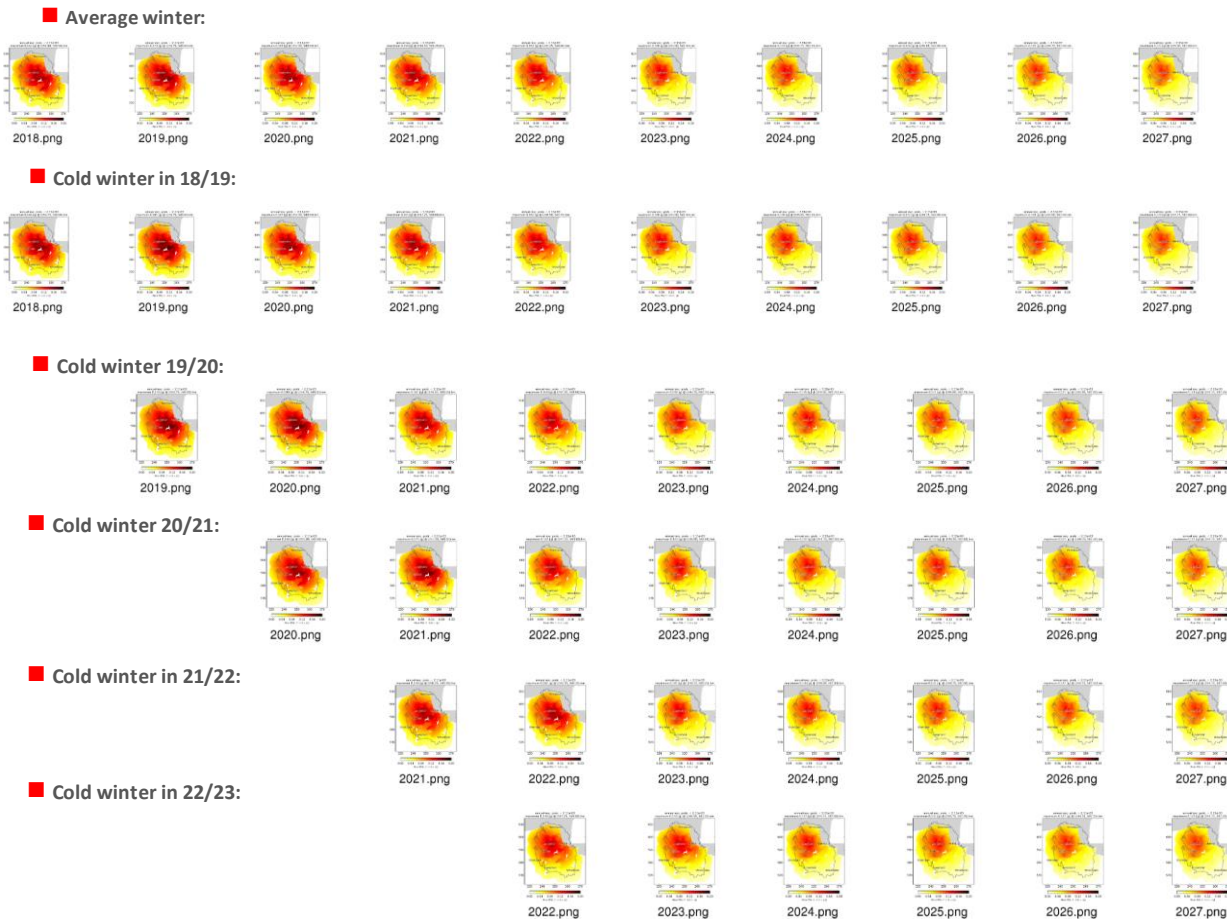


Figure 4.6 The 5-year hazard map (period 2018 – 2023) for the average weather “Basispad Kabinet” scenario.

Figure 4-7 compares the annual (calendar year) hazard maps of the average temperature profile to the sensitivity runs for cold temperature. As in the cold and warm weather scenarios the cold (or warm year) is preceded and followed by years with an average temperature. For this reason, preparing the hazard maps for the cold and warm weather scenario, required a dedicated assessment for each year in these weather scenarios.



**Figure 4-7** Hazard maps for the average winter weather scenario (top) followed by the different cold weather cases making up de cold weather scenario. Gas-year 2018/2019 as a cold year followed by average temperature years (second line). Gas-year 2019/2020 as a cold year followed by average temperature years (third line). Following lines start with cold year followed by average temperature years.

Figures 4-8 and 4-9 show, respectively, the annual hazard maps for the cold- and warm-temperature scenarios together with the difference w.r.t. the corresponding hazard for the average-temperature scenario. As can be observed, these differences are within the range of  $\pm 0.03g$  at peak (corresponding to a relative difference of 15% to 30%).

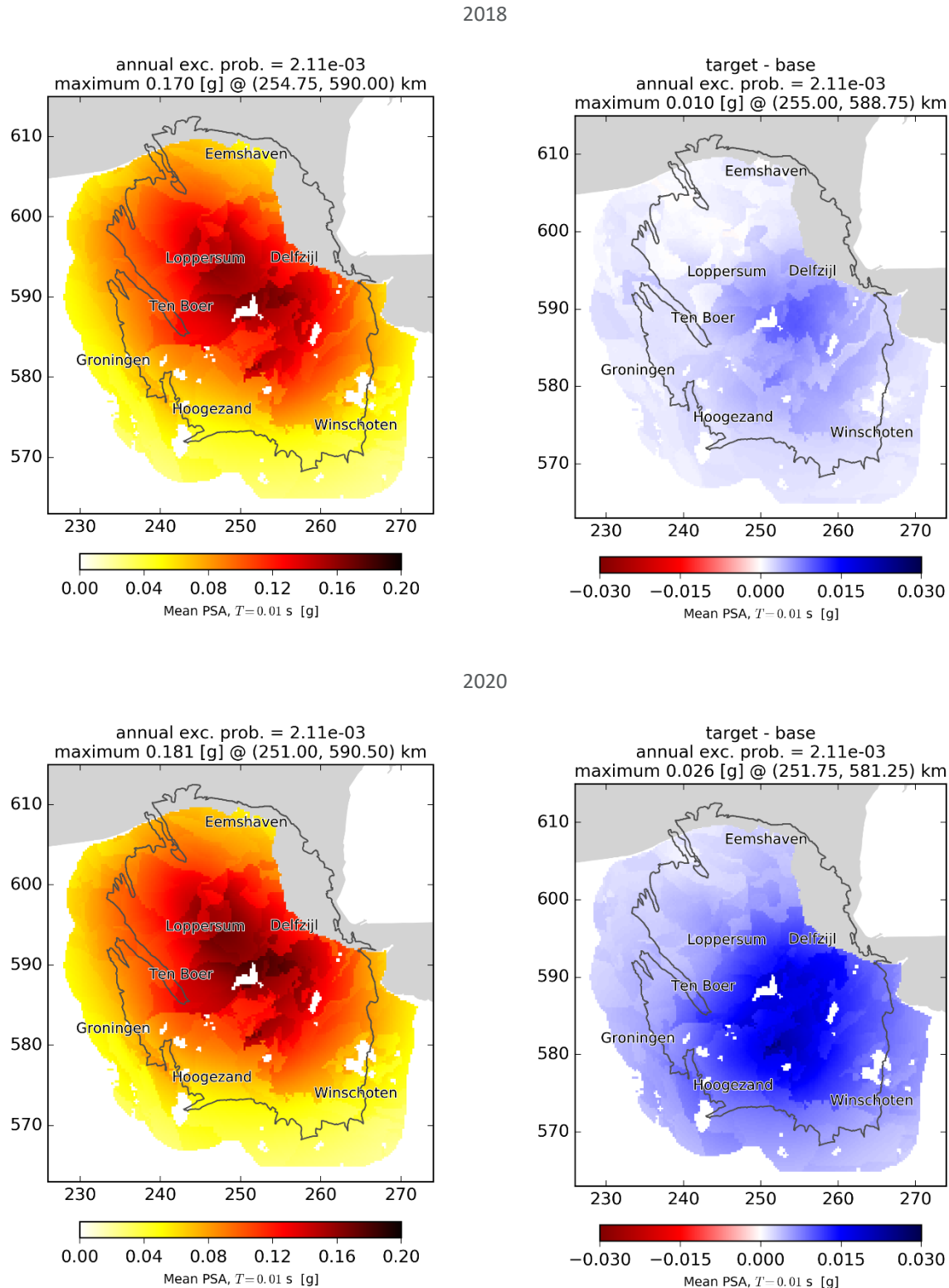
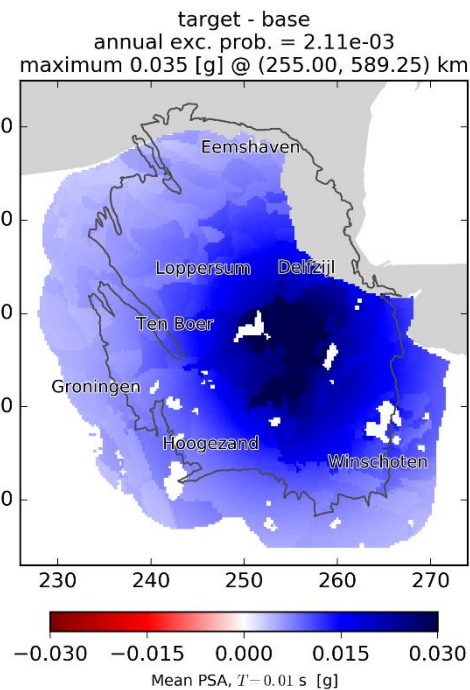
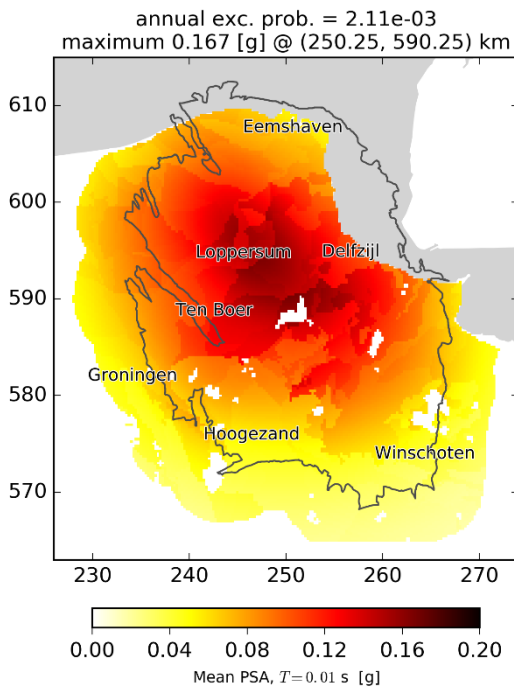


Figure 4-8a Cold-temperature scenario -- annual hazard plots (left) and difference w.r.t. corresponding average-temperature scenario hazard (right)

2022



2024

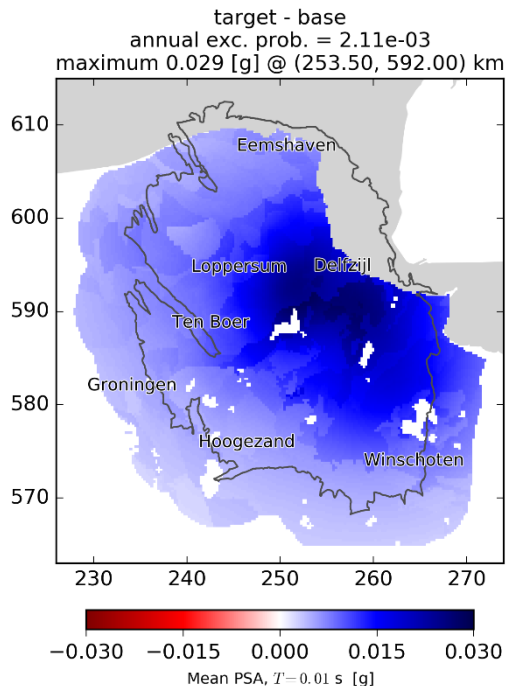
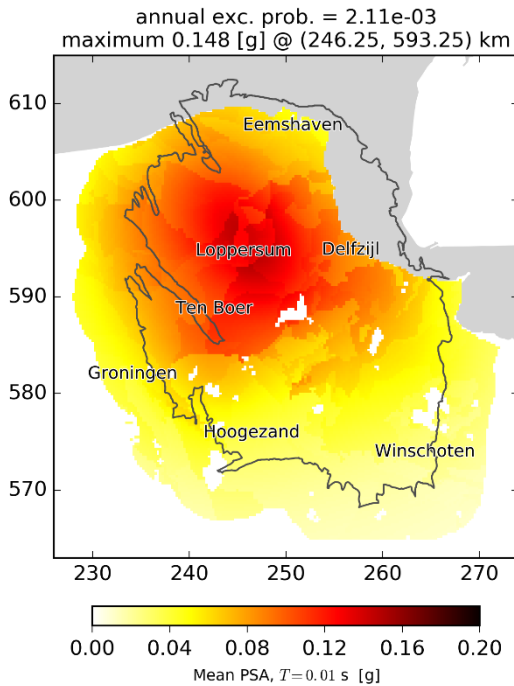
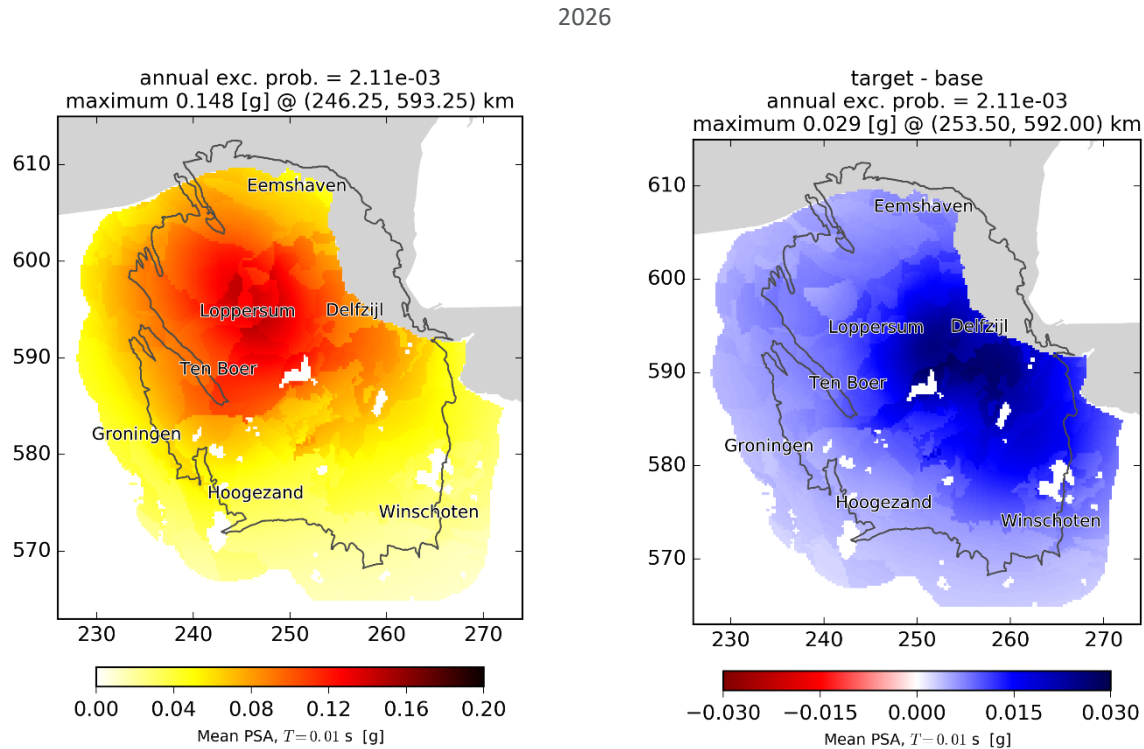
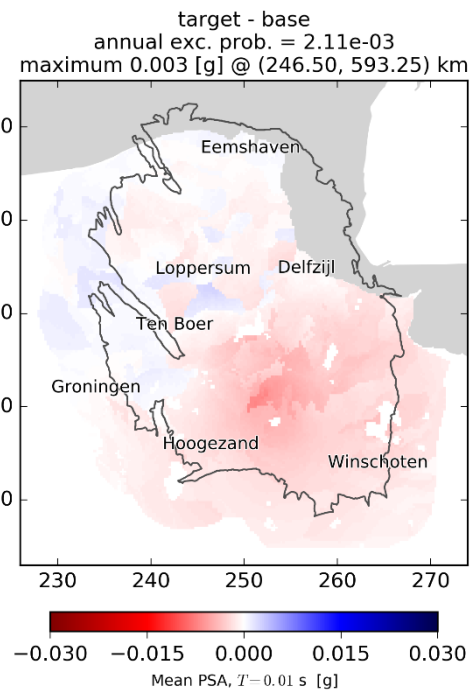
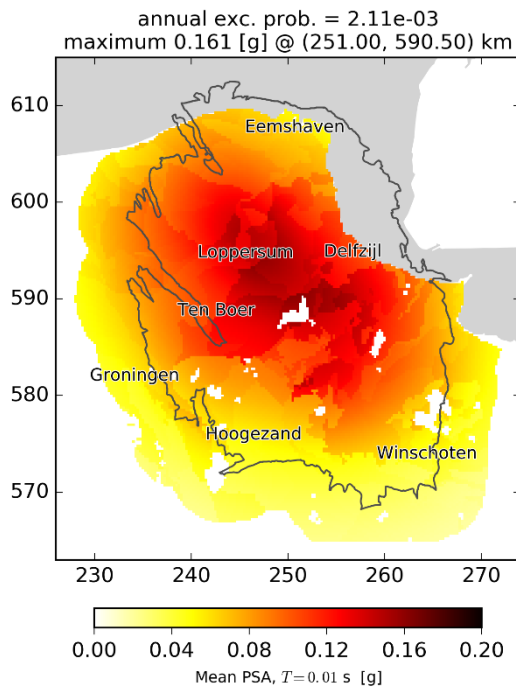


Figure 4-8b Cold-temperature scenario -- annual hazard plots (left) and difference w.r.t. corresponding average-temperature scenario hazard (right)



*Figure 4-8c Cold-temperature scenario -- annual hazard plots (left) and difference w.r.t. corresponding average-temperature scenario hazard (right)*

2018



2020

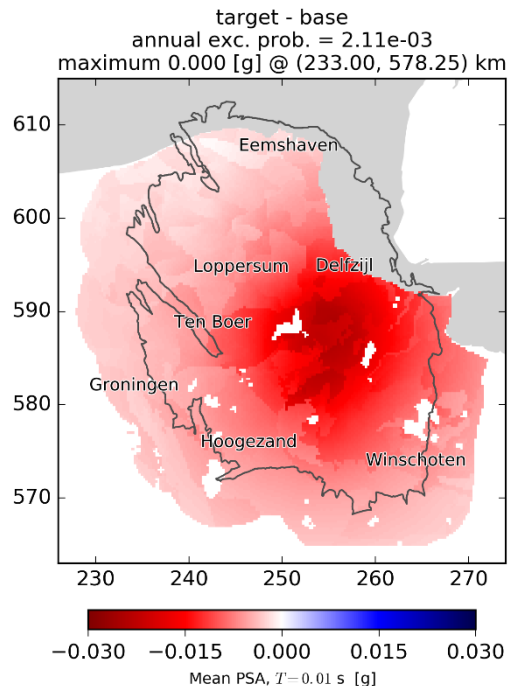
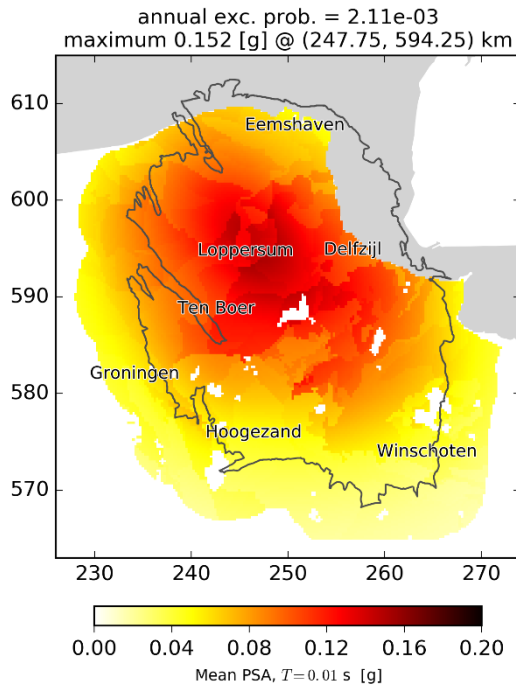


Figure 4-9a Warm-temperature scenario -- annual hazard plots (left) and difference w.r.t. corresponding average-temperature scenario hazard (right)

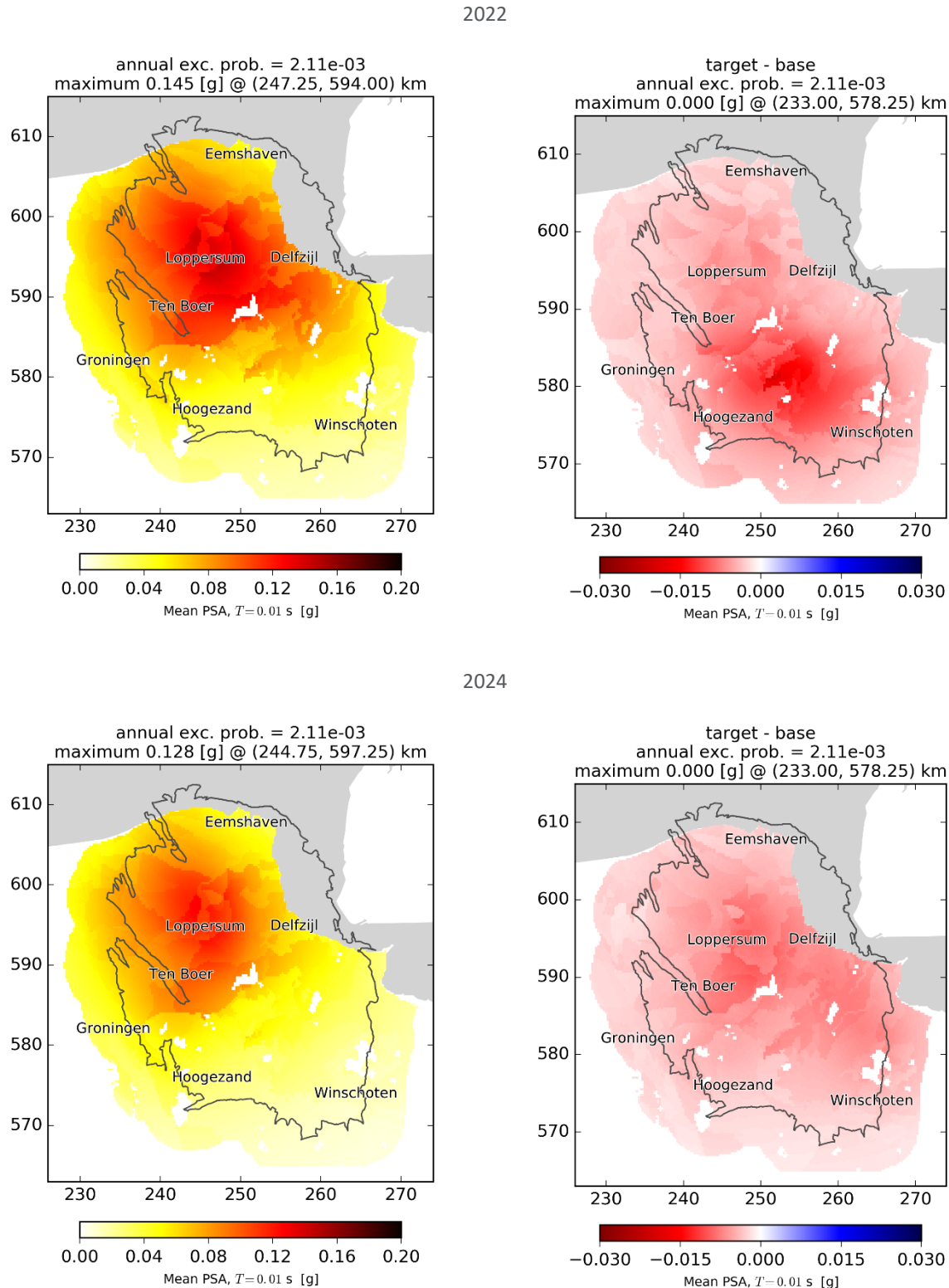


Figure 4-9b Warm-temperature scenario -- annual hazard plots (left) and difference w.r.t. corresponding average-temperature scenario hazard (right)

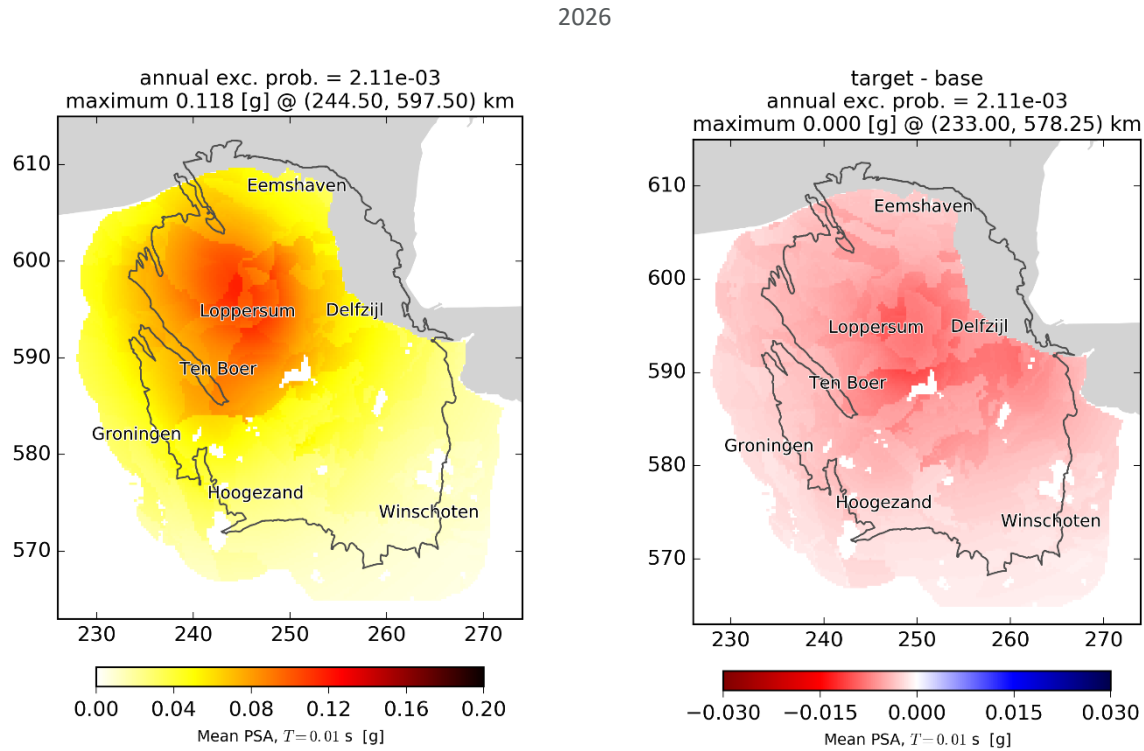


Figure 4-9c Warm-temperature scenario -- annual hazard plots (left) and difference w.r.t. corresponding average-temperature scenario hazard (right)

### 4.3 References

1. Seismic risk assessment for a selection of seismic risk production scenarios for the Groningen field - Addendum to: Induced Seismicity in Groningen Assessment of Hazard, Building Damage and Risk (November 2017), Jan van Elk, Assaf Mar-Or, Leendert Geurtsen, Per Valvatne, Eddy Kuperus and Dirk Doornhof, March 2018.
2. Induced Seismicity in Groningen, Assessment of Hazard, Building Damage and Risk – November 2017, NAM (Jan van Elk and Dirk Doornhof), November 2017.

## 5 Risk Assessment

### 5.1 Local Personal Risk

The Minister of Economic Affairs and Climate Policy has confirmed that he has adopted the Meijdam Norm for Groningen gas production related risks, this norm states that buildings should meet the same  $10^{-5}$ /year level as is generally used in the Netherlands, but that for a transition period a level of  $10^{-4}$ /year should apply. This report shows the number of houses where the risk exceeds one of these two levels, without addressing which of the two levels applies for an individual house, as such is the domain of the NCG who currently directs the strengthening effort.

Figures 5.1a and 5.1b show the number of buildings exceeding a mean annual Local Personal Risk (LPR) for each year of the 10-year period 2018 to 2027. The grey bands in these LPR-graphs indicate the uncertainty range. Figure 5-2 shows the LPR-graphs for the three five-year periods 2018 to 2022, 2023 to 2027 and 2028 to 2032. The impact of the buildings already strengthened to date has not been incorporated in this assessment.

The development of the mean LPR for the Groningen building stock over the period 2018 to 2027 is shown in figure 5.3. The number of buildings exceeding the Meijdam norm of mean LPR  $10^{-5}$ /year shows a declining trend from 2021 onwards. This is particularly evident for the years 2021 to 2024 the number of buildings exceeding this norm declines noticeably, as a result of the decline in gas production when the nitrogen blending plant comes on stream. For each year in the period 2018 to 2027, tables 5-1a and 5-1b, show the number of buildings for three different probabilistic assessments:

- MeanLPR\_1e5 is the number of buildings with LPR exceeding the  $10^{-5}$ /year level
- MeanLPR\_1e4 is the number of buildings with LPR exceeding the  $10^{-4}$ /year level

During the period 2021 to 2023, the number of buildings where the  $10^{-5}$ /year norm is not met is assessed to decrease from just over 1,100 in 2021 to about 250 in 2023 and less than one hundred in 2024.

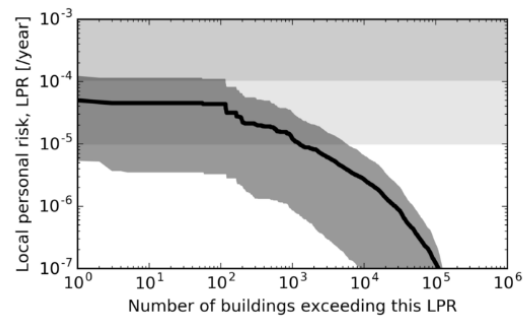
The data captured tables 5-1a and 5-1b is also shown in figures 5-4 and 5-5. In figure 5-4 shows number of buildings where the LPR exceeds the  $10^{-4}$ /year and  $10^{-5}$ /year, for different scenarios. The average temperature scenario and several cold and warm weather scenarios are shown. For instance, the cold temperature scenario for the gas-year 2018/2019 is shown with all following years being average temperate years. Cold and warm temperature scenarios for other gas-years are also shown. For comparison the results for the 24 Bcm/year scenario from November 2017 are also shown.

In figure 5-5, the cold and warm temperature scenario as specified in the Expectation Letter are shown. The cold temperature (and the warm temperature) scenarios are based on the individual year being cold (or warm), but all preceding years and following years being average temperature years.

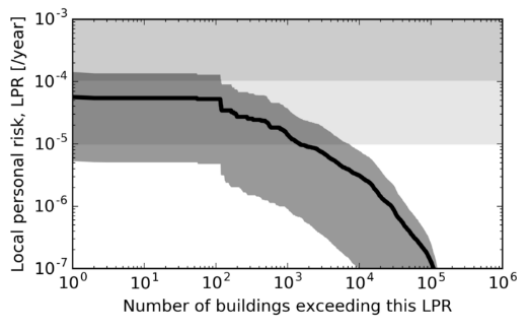
The LPR results can be disaggregated to show the separate contributions of the different building typologies (shown in figure 5-6d) as well as their collapse states to the LPR. Collapse State 1 refers for most typologies to partial collapse of façade walls, typically out-of-plane and generally to the outside of the building. Collapse State 2 and 3 are typically more severe, with collapse State 3 leading to global collapse of a significant part of the building. The measures required to strengthen the building will depend on the collapse state that contributes most to the LPR for each building typology.

The numbers of buildings (for each building typology) exceeding a given average annual collapse rate for collapse states 1, 2 and 3 are shown in figure 5-6 (a-c). The building typologies with the highest average annual collapse rate for global collapse (i.e. collapse state 3) across the field are predominantly terraced buildings with large openings at the ground floor (URM4L), precast reinforced concrete buildings (PC4M) and barns (W2L).

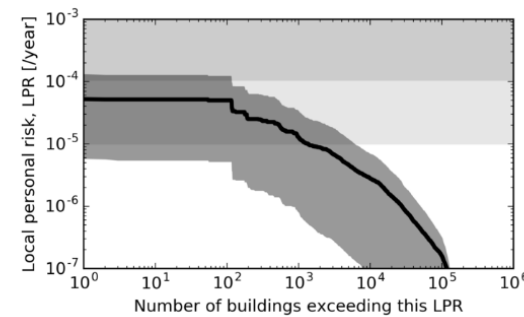
We note that the second paragraph of the above text is only valid for the 2022, 2024 and 2026 plots if the same three building typologies are highest on the y axis.



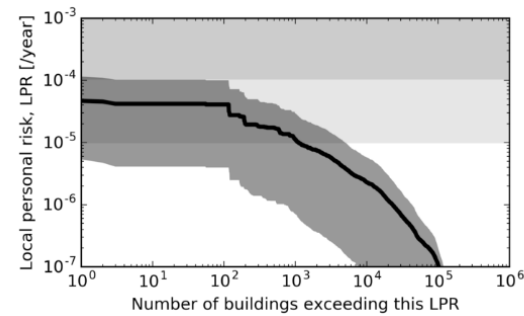
2018



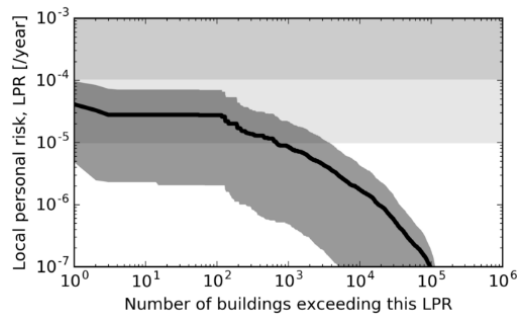
2019



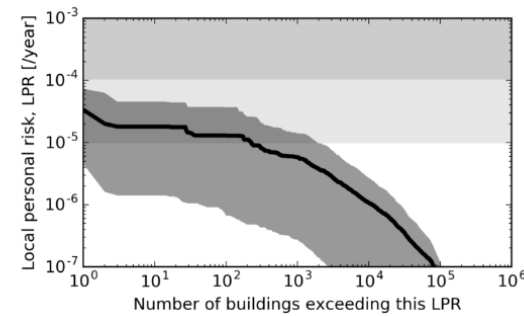
2020



2021



2022



2023

Figure 5.1a

*Local Personal Risk graphs for the years 2018 to 2023. These show the number of houses that are exposed to a LPR. The black lines denote the mean and the dark grey areas the uncertainty bands. The two horizontal bands in light grey denote the LPR levels of the Meijdam-Norm.*

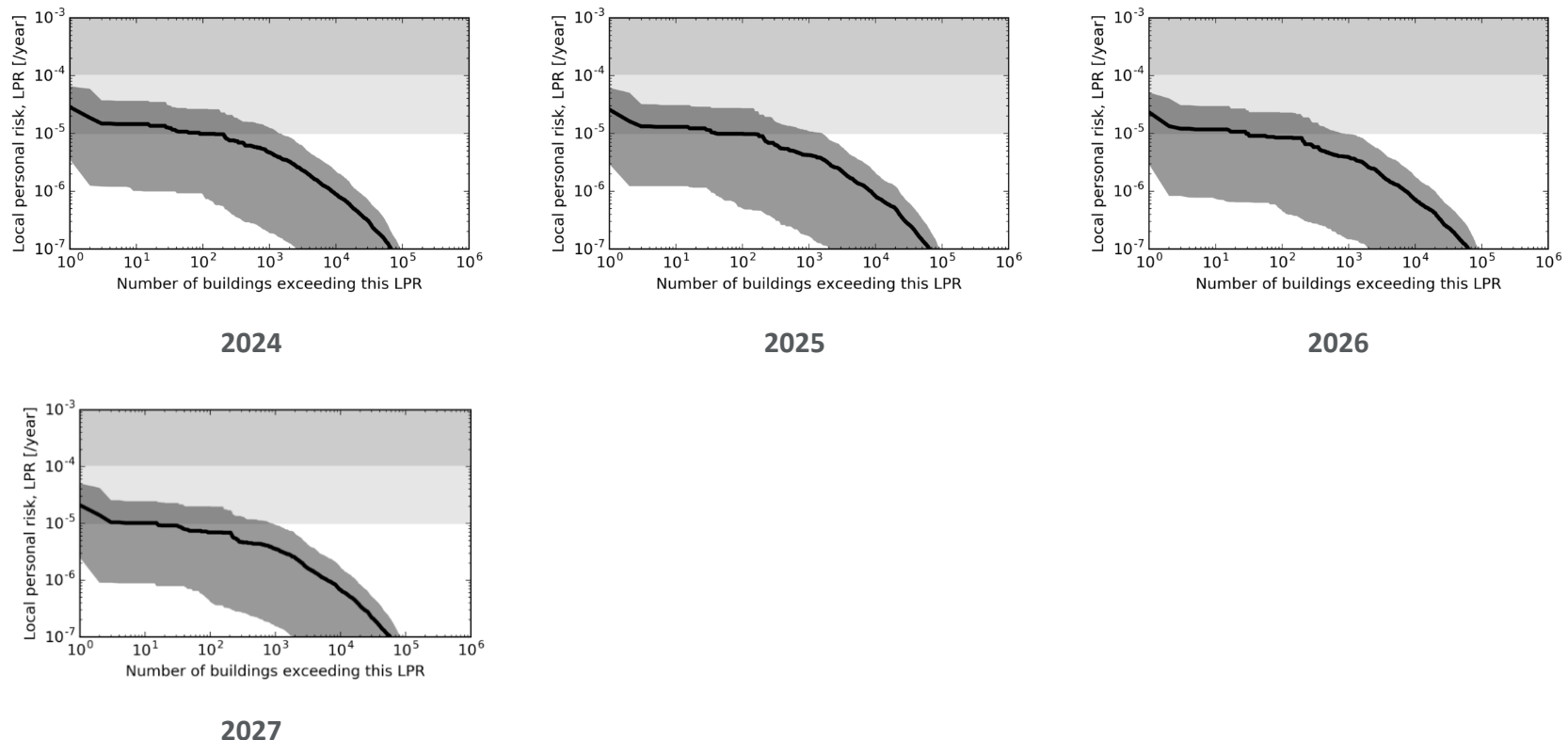
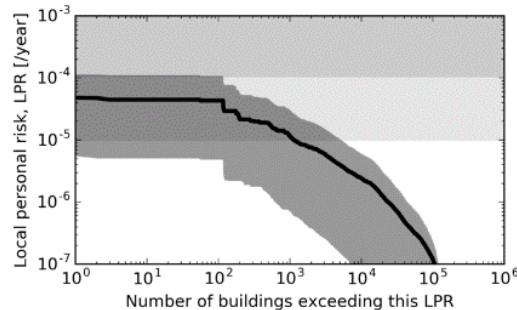
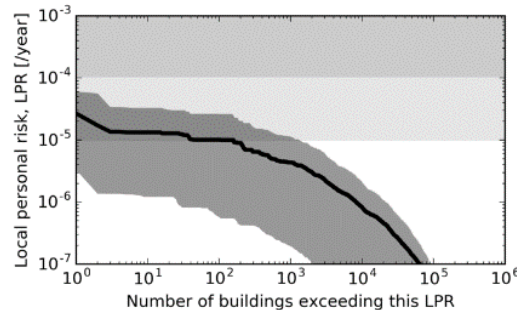


Figure 5.1b

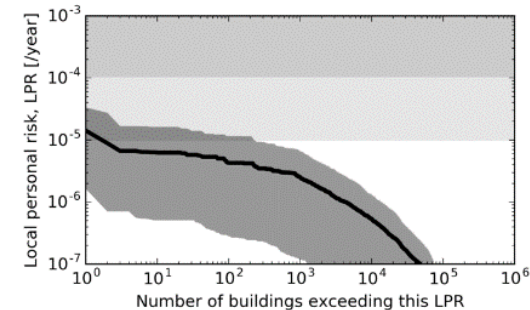
*Local Personal Risk graphs for the years 2024 to 2027. These show the number of houses that are exposed to a LPR. The black lines denote the mean and the dark grey areas the uncertainty bands. The two horizontal bands in light grey denote the LPR levels of the Meijdam-Norm.*



**2018 - 2022**



**2023 - 2027**



**2028 - 2032**

Figure 5.2

*Local Personal Risk graphs for the three 5-year periods (2018 to 2023, 2024 to 2028 and 2029 to 2033). These show the number of houses that are exposed to a LPR. The black lines denote the mean and the dark grey areas the uncertainty bands. The two horizontal bands in light grey denote the LPR levels of the Meijdam-Norm.*

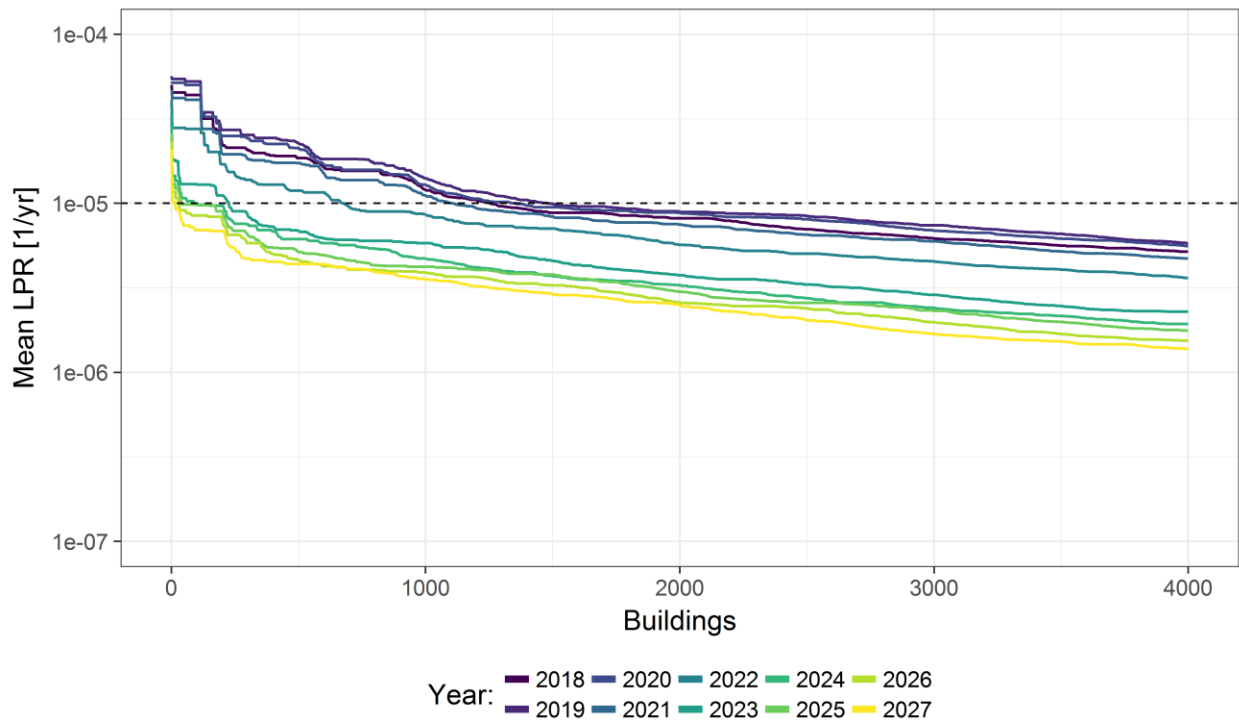


Figure 5.3

*Mean Local Personal Risk graphs for the years 2018 to 2027. These show the number of buildings that are exposed to a LPR. The uncertainty bands have been left out of this graph, but are shown in figures 5.1a and 5.1b. The years are colour coded.*

*Note that the number of buildings exceeding the mean LPR norm of  $10^{-5}$ /year decreases over time.*

Production Scenario	Weather	Year	Mean LPR $10^{-5}$ /year	Mean LPR $10^{-4}$ /year
Basispad Kabinet	Average Year	2018	1256	0
Basispad Kabinet	Average Year	2019	1478	0
Basispad Kabinet	Average Year	2020	1354	0
Basispad Kabinet	Average Year	2021	1109	0
Basispad Kabinet	Average Year	2022	678	0
Basispad Kabinet	Average Year	2023	225	0
Basispad Kabinet	Average Year	2024	88	0
Basispad Kabinet	Average Year	2025	40	0
Basispad Kabinet	Average Year	2026	28	0
Basispad Kabinet	Average Year	2027	15	0
ReferenceCase (24 Bcm/year)	Average Year	2018	2138	0
ReferenceCase (24 Bcm/year)	Average Year	2019	2545	0
ReferenceCase (24 Bcm/year)	Average Year	2020	2859	0
ReferenceCase (24 Bcm/year)	Average Year	2021	3044	0
ReferenceCase (24 Bcm/year)	Average Year	2022	3391	0
ReferenceCase (24 Bcm/year)	Average Year	2023	3228	0
ReferenceCase (24 Bcm/year)	Average Year	2024	3894	1
ReferenceCase (24 Bcm/year)	Average Year	2025	4020	1
ReferenceCase (24 Bcm/year)	Average Year	2026	4414	115
ReferenceCase (24 Bcm/year)	Average Year	2027	4761	115

Table 5.1a

Number of buildings exceeding  $10^{-5}$ /year and  $10^{-4}$ /year level for LPR, for different production and temperature scenarios. See main text for further explanation. These are shown for each year of the period 2018 to 2027 for the production scenario "Basispad Kabinet" for an average weather year and the reference case of 24 Bcm/year.

Production Scenario	Weather	Year	Mean LPR $10^{-5}$ /year	Mean LPR $10^{-4}$ /year
Basispad Kabinet	Cold Year	2018	1660	0
Basispad Kabinet	Cold Year	2019	2521	0
Basispad Kabinet	Cold Year	2020	2164	0
Basispad Kabinet	Cold Year	2021	1726	0
Basispad Kabinet	Cold Year	2022	1197	0
Basispad Kabinet	Cold Year	2023	466	0
Basispad Kabinet	Cold Year	2024	349	0
Basispad Kabinet	Cold Year	2025	172	0
Basispad Kabinet	Cold Year	2026	38	0
Basispad Kabinet	Cold Year	2027	27	0
Basispad Kabinet	Warm Year	2018	1210	0
Basispad Kabinet	Warm Year	2019	1074	0
Basispad Kabinet	Warm Year	2020	916	0
Basispad Kabinet	Warm Year	2021	781	0
Basispad Kabinet	Warm Year	2022	640	0
Basispad Kabinet	Warm Year	2023	91	0
Basispad Kabinet	Warm Year	2024	62	0
Basispad Kabinet	Warm Year	2025	31	0
Basispad Kabinet	Warm Year	2026	20	0
Basispad Kabinet	Warm Year	2027	2	0

Table 5.1b

Number of buildings exceeding  $10^{-5}$ /year and  $10^{-4}$ /year norm for LPR, for different production and temperature scenarios. See main text for further explanation. These are shown for each year of the period 2018 to 2027 for the production scenario “Basispad Kabinet” for cold weather and warm weather years.

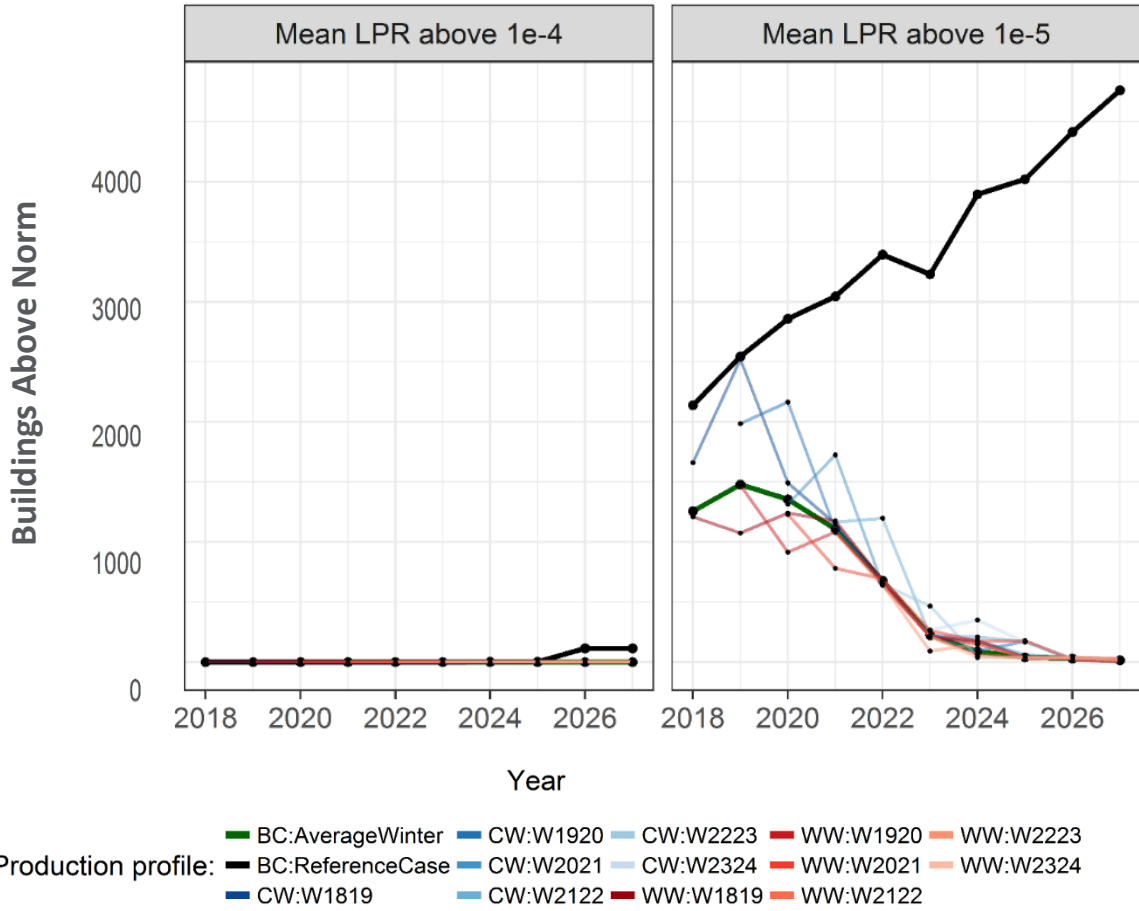


Figure 5.4

Graphs show the Local Personal Risk associated with the production scenario "Basispad Kabinet" for average (green), cold weather and warm weather years, and the Reference Scenario (24 Bcm/year) (black), and for the period 2018 to 2027. Each cold (blue) and warm (red) year is followed by average temperature years.

Right graph: number of buildings exceeding the norm mean LPR larger than  $10^{-5}/\text{year}$

Left graph: number of buildings exceeding the norm mean LPR larger than  $10^{-4}/\text{year}$

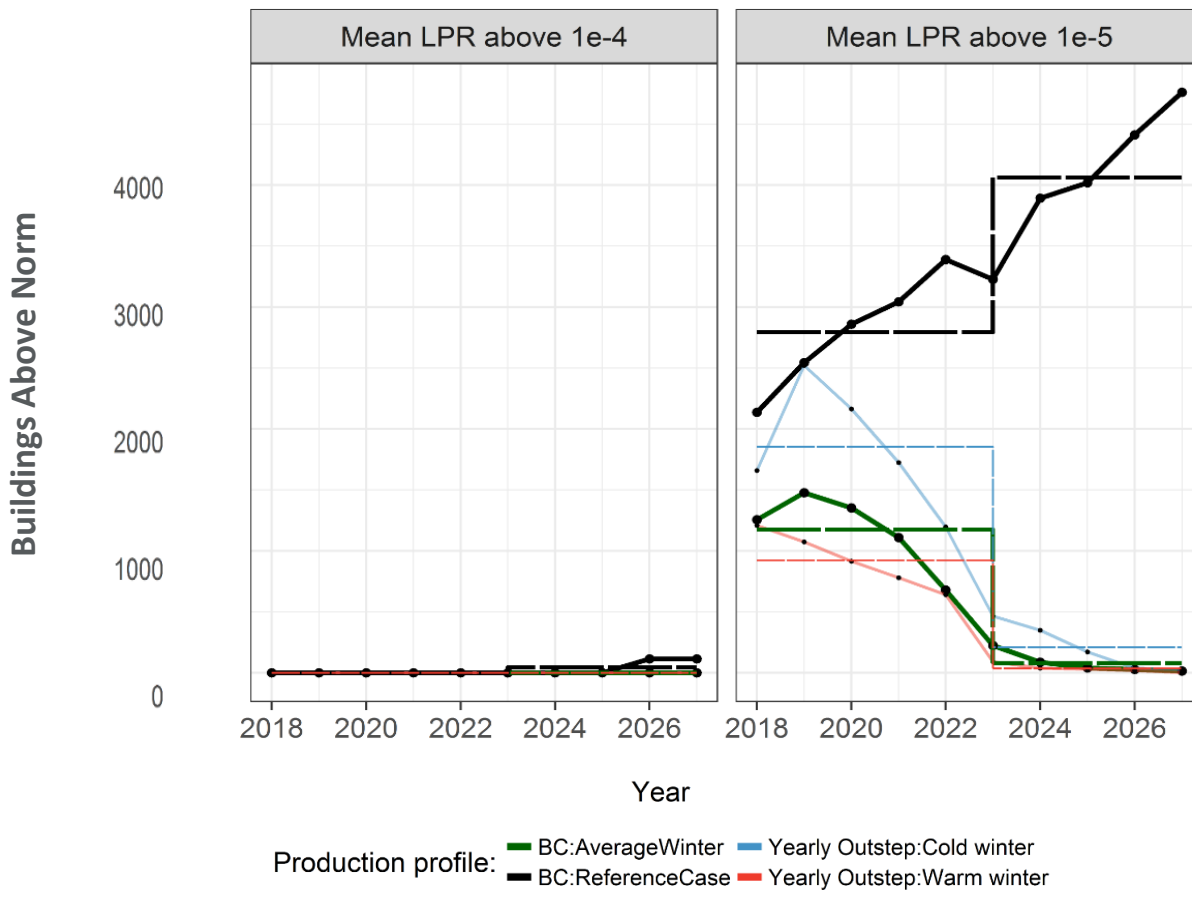
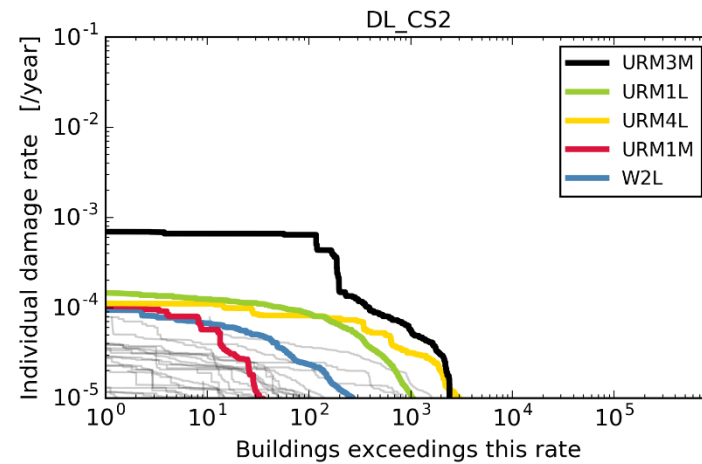
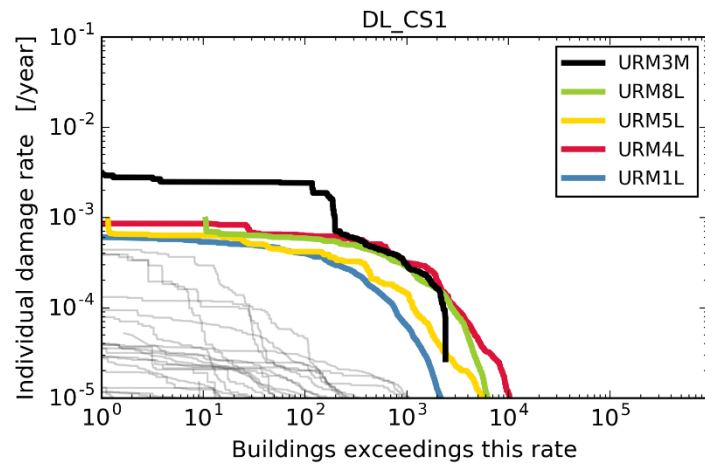


Figure 5.5

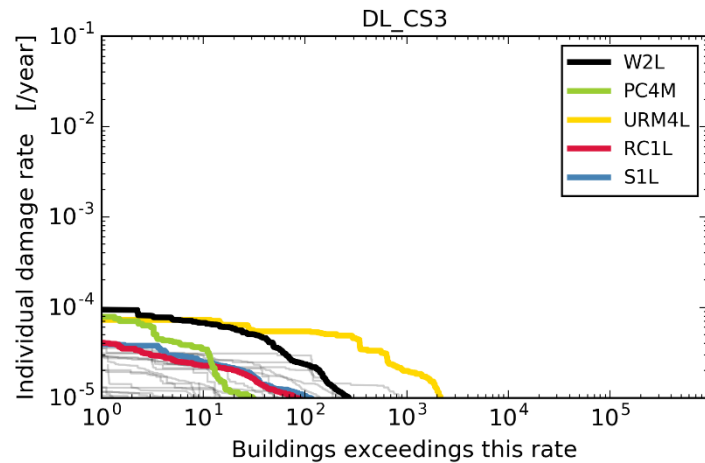
Graphs show the Local Personal Risk associated with the production scenario “Basispad Kabinet” for average (green), cold weather and warm weather years, and the Reference Scenario (24 Bcm/year) (black), and for the period 2018 to 2027. The cold and warm weather years have been gathered as the blue and red line respectively.

Right graph: number of buildings exceeding the norm mean LPR larger than  $10^{-5}/\text{year}$

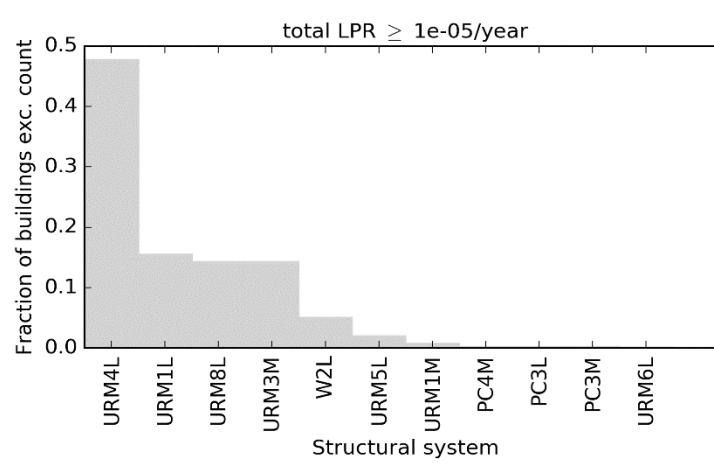
Left graph: number of buildings exceeding the norm mean LPR larger than  $10^{-4}/\text{year}$



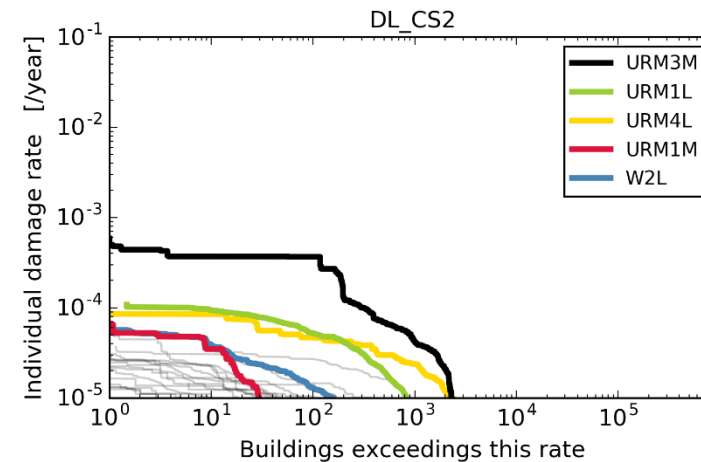
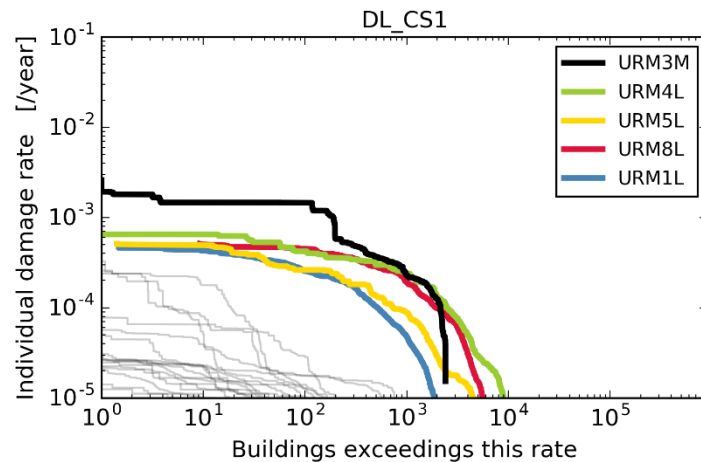
2020, CS1



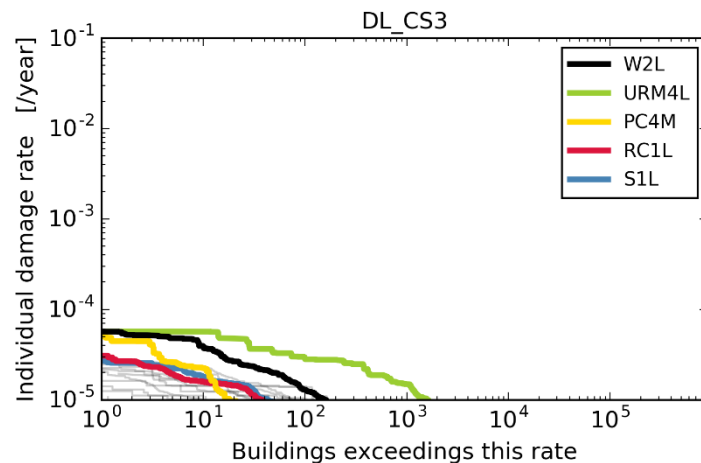
2020, CS3



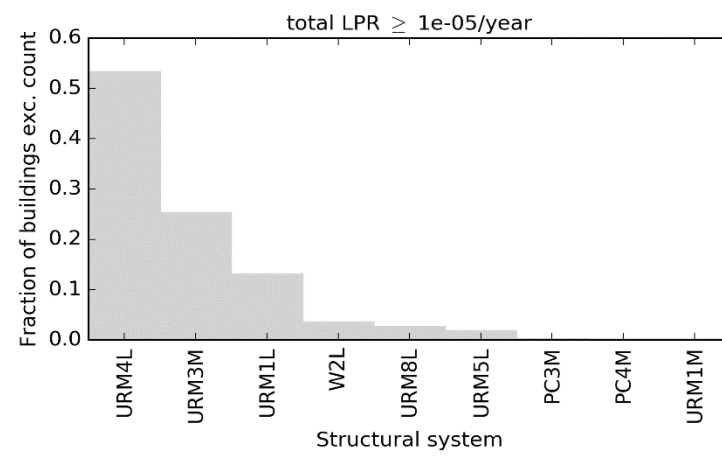
2020

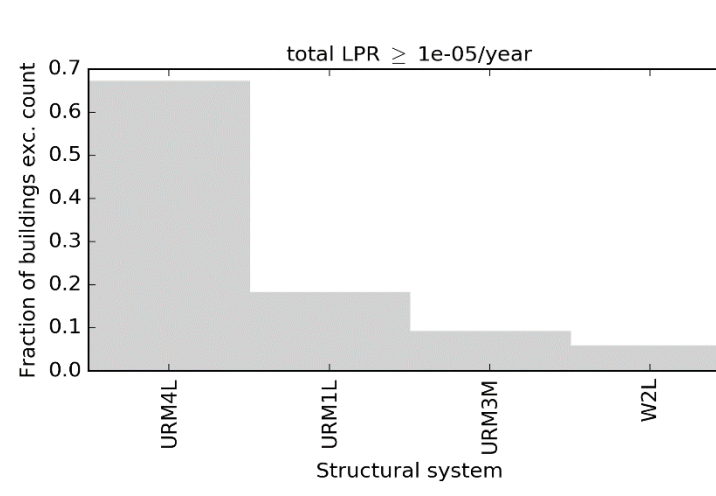
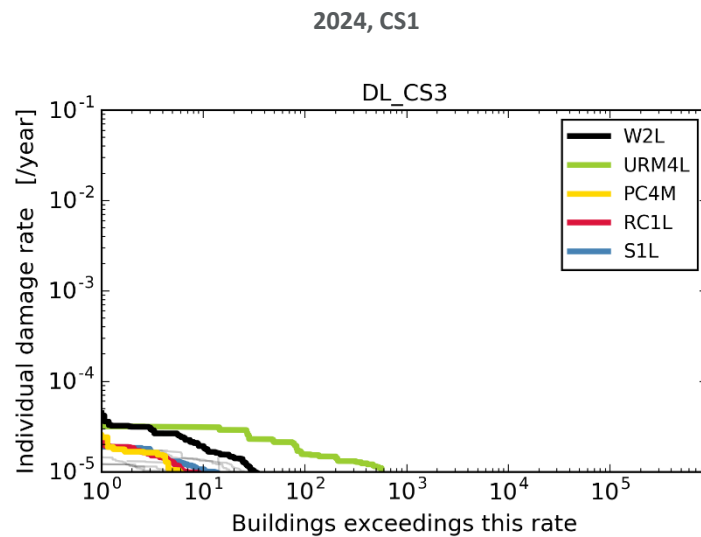
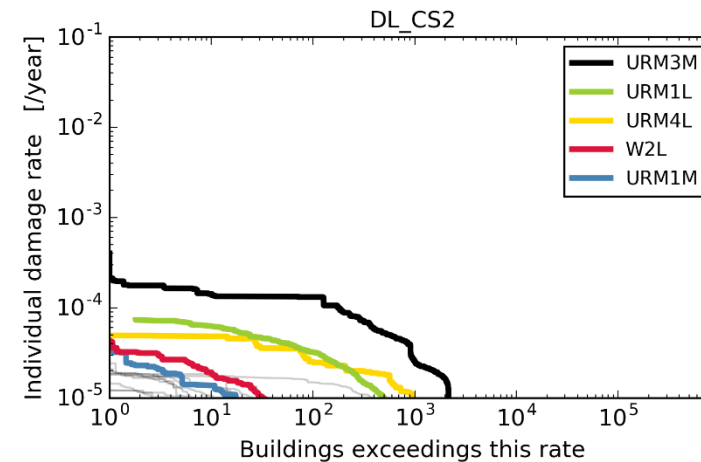
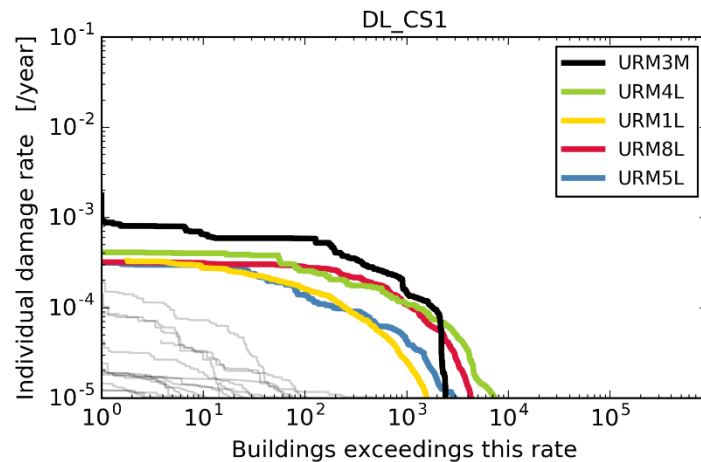


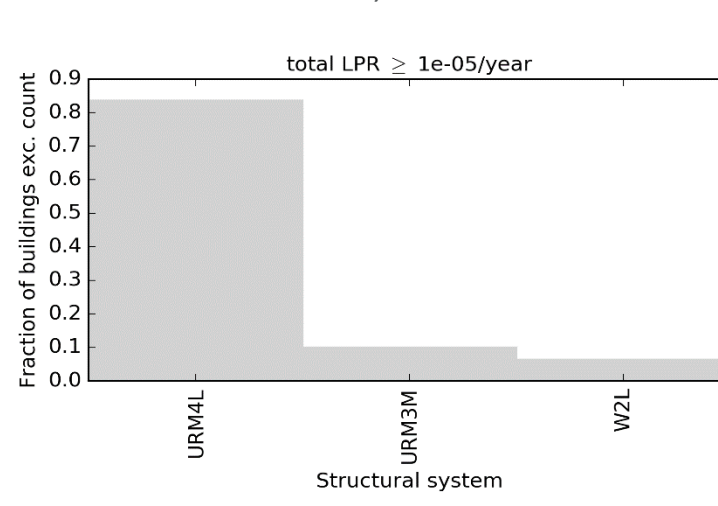
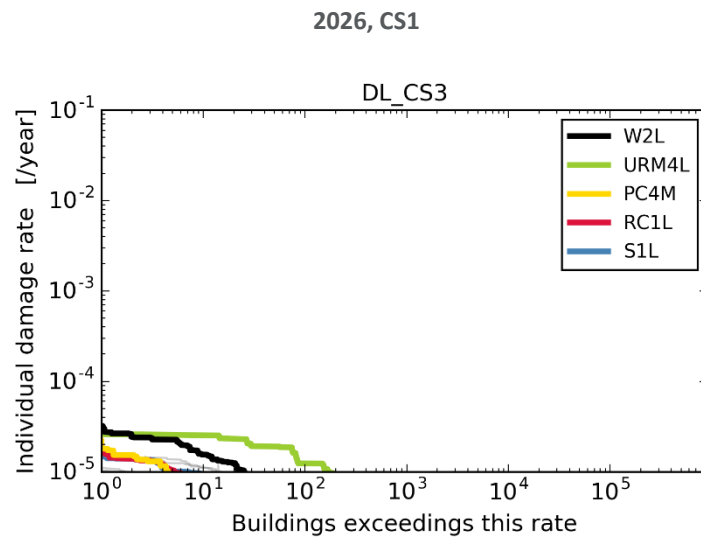
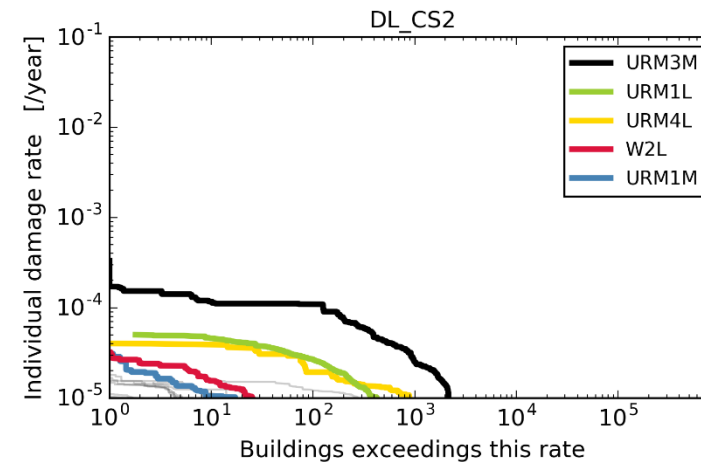
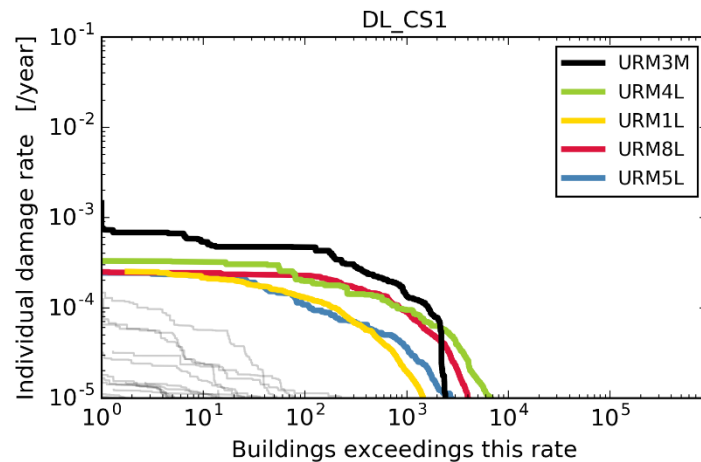
2022, CS1



2022, CS3







**2026, CS3**

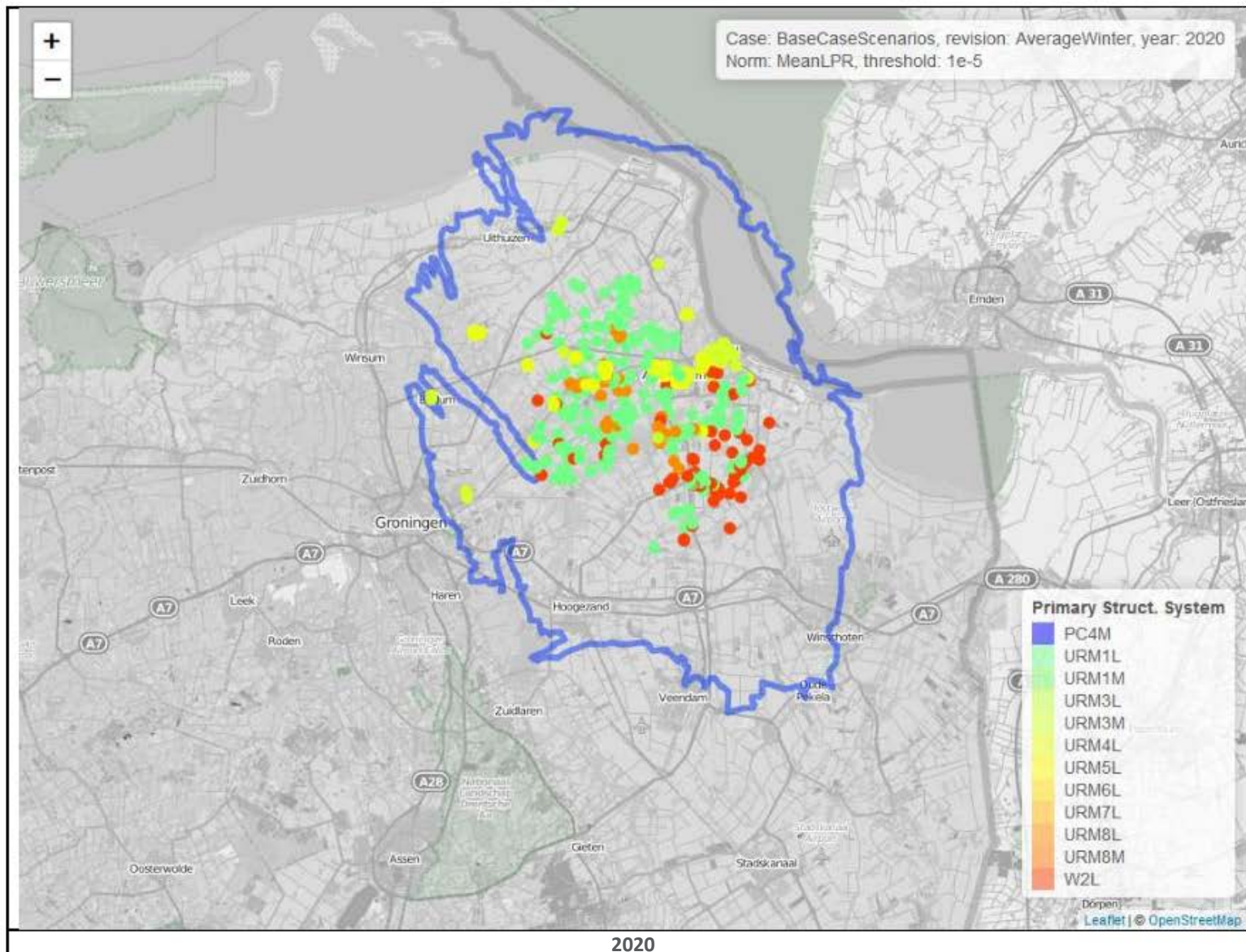
**2026**

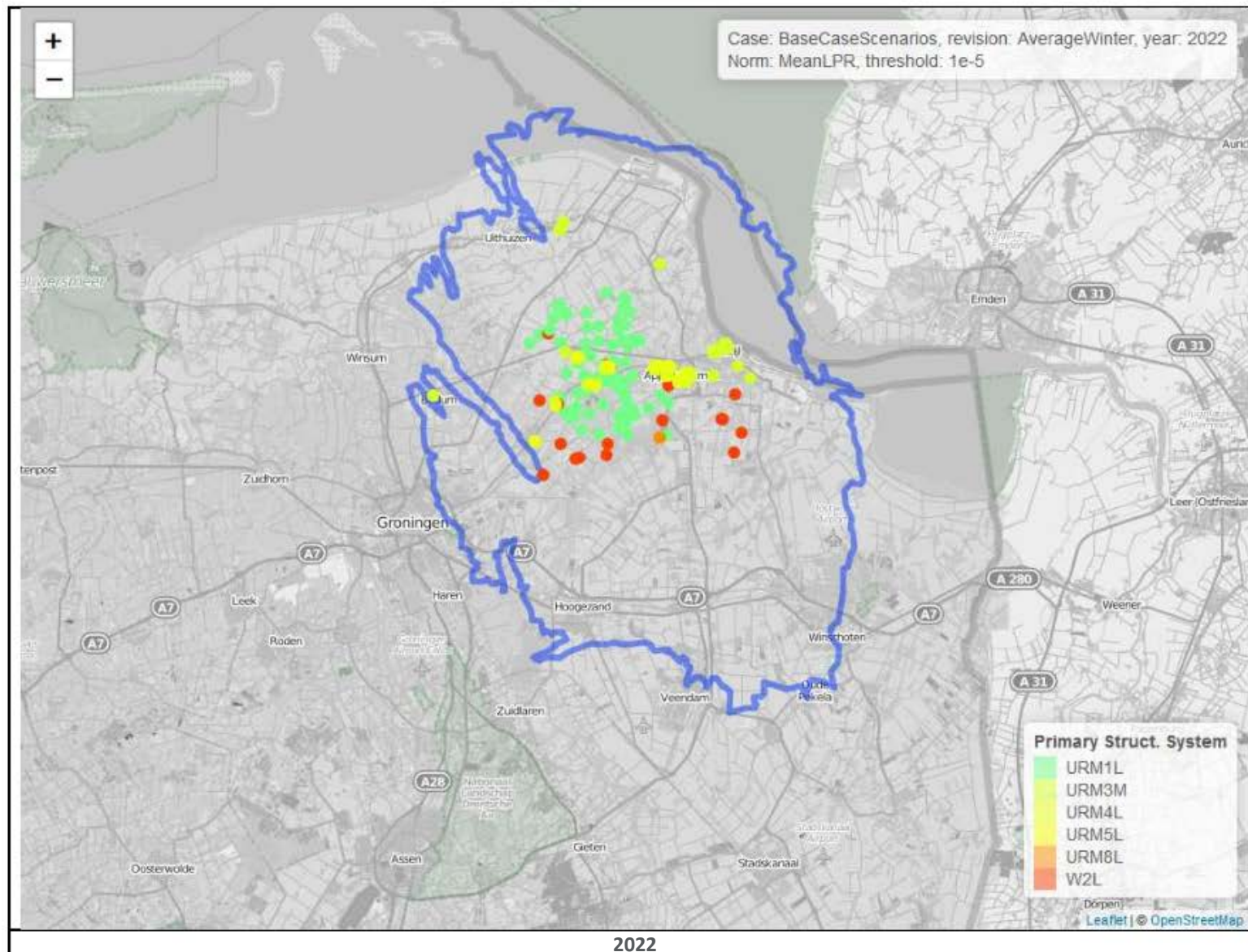
Figure 5-6

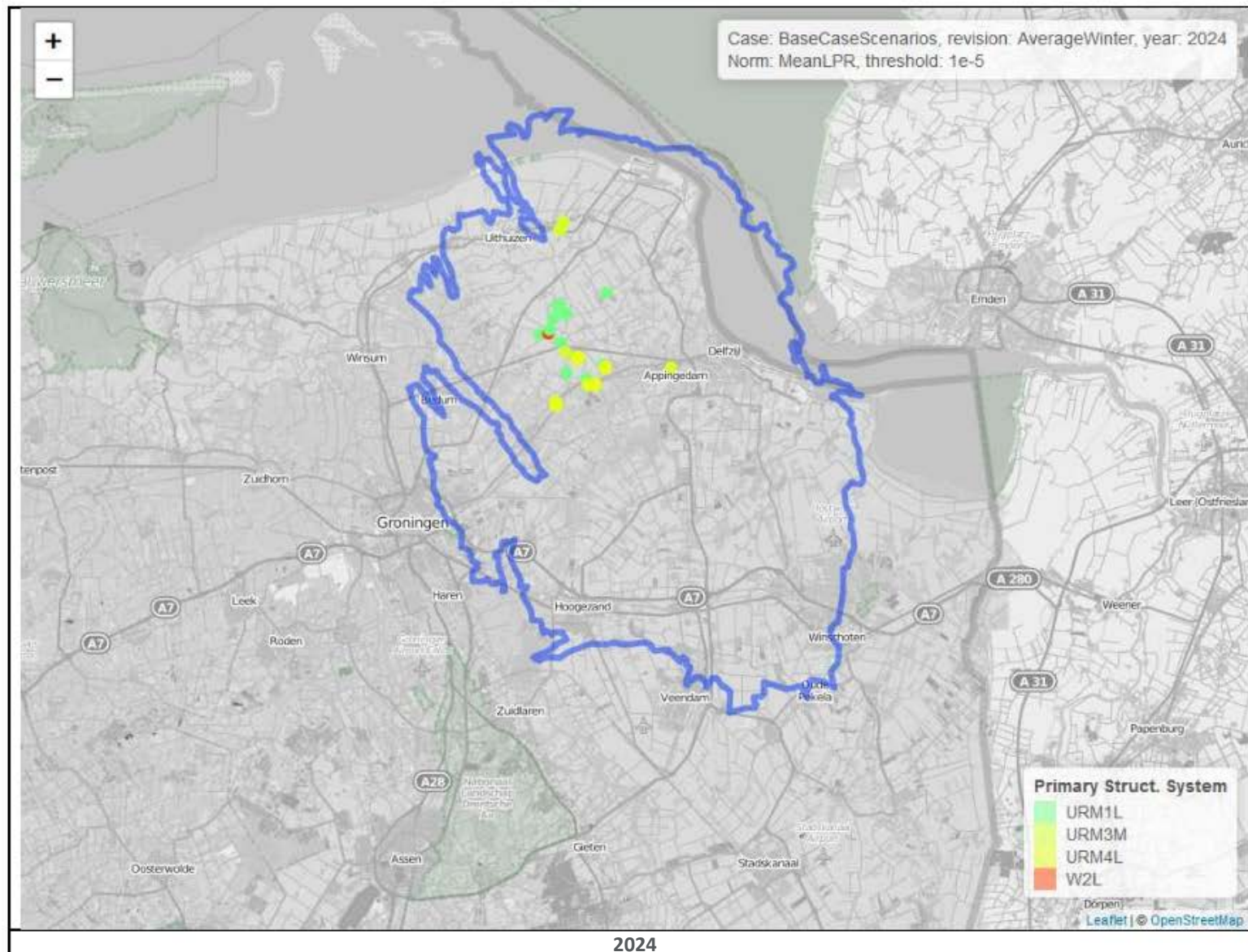
*Graphs showing the number of buildings exceeding a given average annual collapse rate for CS1 (top left), CS2 (top right), and CS3 (bottom left), for the “Basispad Kabinet” production scenario for the assessment periods years 2020, 2022, 2024 and 2026. The named structural systems denote the top-five ranked according to the number of buildings with a collapse rate of at least  $10^{-5}$ /year. Breakdown of the structural systems (bottom right) contributing to LPR over the  $10^{-5}$ /year threshold for the assessment periods years 2020, 2022, 2024 and 2026 for the “Basispad Kabinet” scenario.*

## **5.2 Maps of Buildings compared to the Meijdam-Norm Risk Levels**

The maps of figure 5.7 show all buildings exceeding mean LPR>10<sup>-5</sup>/year for the years 2020, 2022, 2024 and 2026. Different colours represent different dominant building typologies. For the purpose of this risk assessment, the Groningen building stock has not been adjusted for the ongoing strengthening operations.







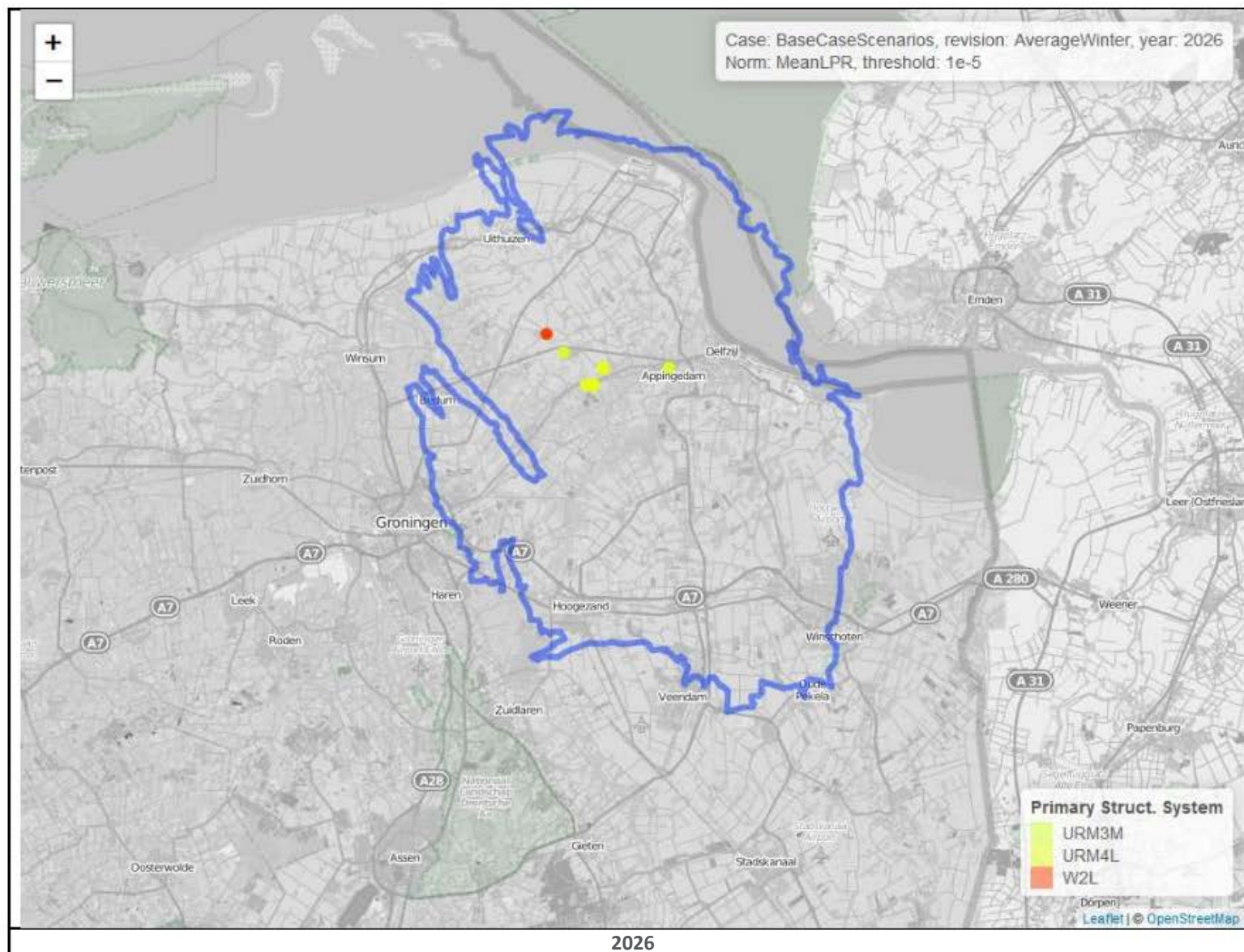


Figure 5.7 Maps of all buildings exceeding mean LPR $>10^{-5}$ /year for the years 2020, 2022, 2024 and 2026. Different colours indicate different building typologies.

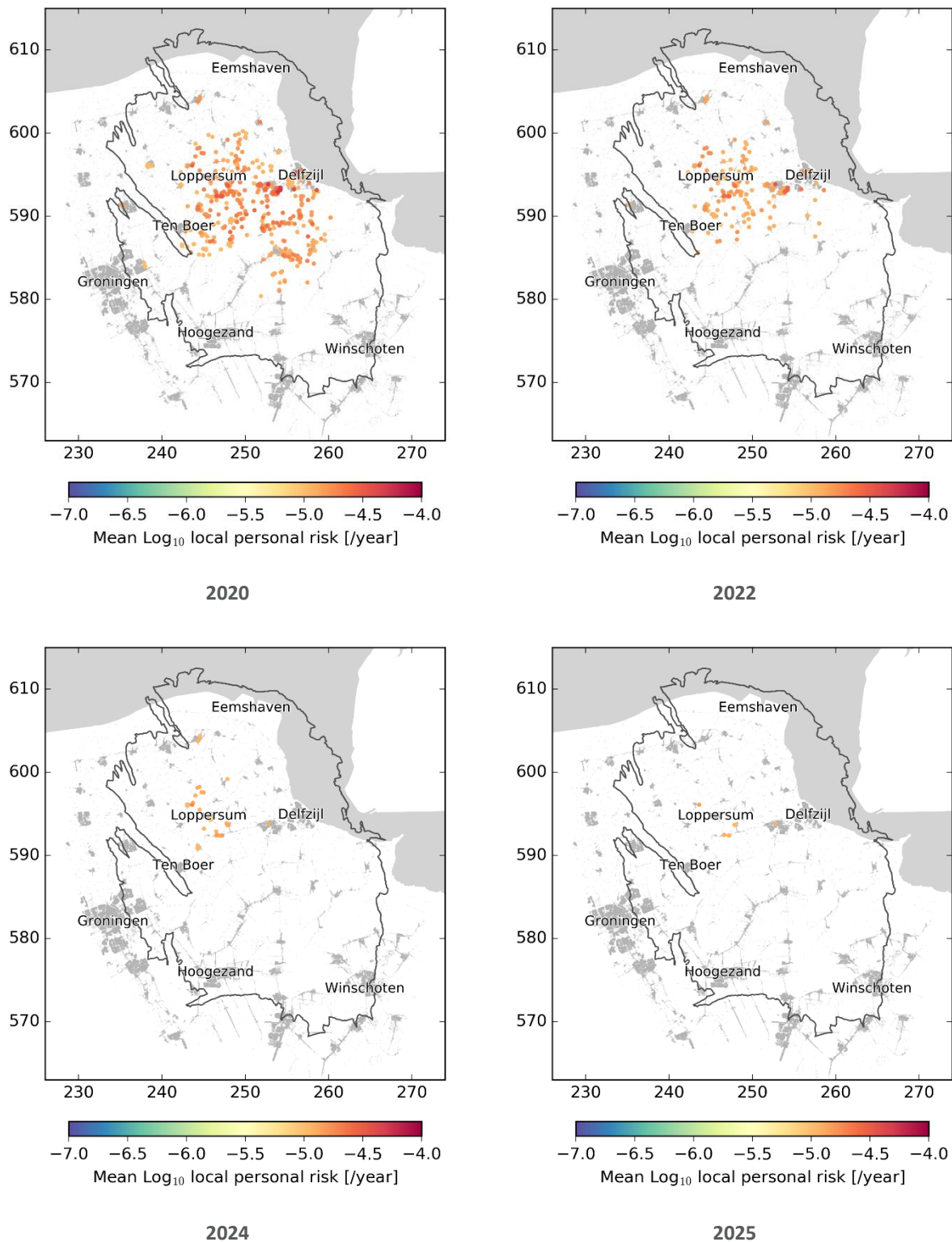


Figure 5.7

Map indicating individual building with Local Personal Risk exceeding  $10^{-5}/\text{year}$  for the years 2020, 2022, 2024 and 2026 and production scenario "Basispad Kabinet".

## 5.3 Structural Upgrading Program

The probabilistic assessment of the number of buildings that do not meet the Meijdam Norm does not immediately translate into an estimate of the structural strengthening scope. There are three main reasons why the scope of the structural upgrading plan will in general be larger than the probabilistic assessment of the number of buildings that do not meet the Meijdam norm.

- Efficiency of identifying buildings with LPR >10<sup>-5</sup> has not yet been proven.

The Hazard and Risk Assessment is a probabilistic assessment and does not directly identify each individual building that needs to be included in the structural upgrading plan. Through an inspection program these buildings will have to be identified. A risk-based inspection program will be able to identify these buildings with reasonable efficiency.

- Remaining uncertainty in hazard and risk assessment.

Significant progress has been made towards assessing the risk from Groningen earthquakes. However, uncertainty remains in the estimate of the number of buildings that do not meet the norm based on mean LPR > 10<sup>-5</sup>/year. Especially building inspections can help reduce this uncertainty.

- Differences between the hazard and risk assessment and NEN-NPR building code.

Ultimately the structural upgrading scope will be based on the NEN-NPR building code. Improvement of the Hazard and Risk Assessment Updating and calibration of the building code with the latest technical insight from laboratory experiments and modelling are likely to reduce the difference.

The probabilistic estimate of the number of buildings, where the Meijdam-Norm Safety Level is exceeded, does therefore not directly translate into an estimate of the structural strengthening scope. However, the Hazard and Risk Assessment provides a useful tool for prioritisation of building inspections. Ultimately the structural upgrading scope will be based on the assessment of individual buildings based on the NEN-NPR building code.

## 5.4 References

1. Seismic risk assessment for a selection of seismic risk production scenarios for the Groningen field - Addendum to: Induced Seismicity in Groningen Assessment of Hazard, Building Damage and Risk (November 2017), Jan van Elk, Assaf Mar-Or, Leendert Geurtsen, Per Valvatne, Eddy Kuperus and Dirk Doornhof, March 2018.

## Appendix A – Abbreviations

EZK	Ministry of Economic Affairs and Climate Policy
GTS	Gasunie Transport Services BV
GY	Gas-year (12-months period following 1 <sup>st</sup> October). This was introduced for practical reasons. The gas-year starts with the 6 coldest months of the year avoiding a winter period to be split over two one-year time periods, such as a calendar year.
H-gas	High Calorific Gas (Gas from most gas field has a higher calorific content than gas from the Groningen gas field)
HRA	Hazard and Risk Assessment
L-Gas	Low Calorific Gas (Groningen gas had due to the nitrogen content a lower calorific content than gas from many other gas fields)
LPR	Local Personal Risk
MC	Monte Carlo
N <sub>2</sub>	Nitrogen
NAM	Nederlandse Aardolie Maatschappij BV
NFA	No Further Activity
UGS	Underground Gas Storage

A more complete list if abbreviations can be found in “Induced Seismicity in Groningen, Assessment of Hazard, Building Damage and Risk – November 2017, NAM (Jan van Elk and Dirk Doornhof), November 2017” available from [www.nam.nl](http://www.nam.nl).

## **Appendix B – Verwachtingenbrief aanvulling Winningsplan Groningenveld 2016**

For convenience, the Expectation Letter has been included in the report in this Appendix.



Ministerie van Economische Zaken  
en Klimaat

> Retouradres Postbus 20401 2500 EK Den Haag

Nederlandse Aardolie Maatschappij B.V.  
t.a.v. de heer ir. G.J.M. Schotman, directeur  
Postbus 28000  
9400 HH ASSEN

**Directoraat-generaal**  
**Energie, Telecom &**  
**Mededeling**  
**Directie Energie en Omgeving**

**Bezoekadres**  
Bezuidenhoutseweg 73  
2594 AC Den Haag

**Postadres**  
Postbus 20401  
2500 EK Den Haag

**Overheidsidentificatie**  
00000001003214369000

T 070 379 8911 (algemeen)  
F 070 378 6100 (algemeen)  
[www.rijksoverheid.nl/ezk](http://www.rijksoverheid.nl/ezk)

**Behandeld door**  
J.M. van Herk  
T 070 379 8430  
[j.m.vanherk@minEZK.nl](mailto:j.m.vanherk@minEZK.nl)

**Ons kenmerk**  
DGETM-EQ / 18085152  
**Uw kenmerk**

**Bijlage(n)**  
1

Datum - 02 MEI 2018 -

Betreft: Verwachtingenbrief aanvulling winningsplan Groningenveld 2016

Geachte heer Schotman,

Het is u bekend, dat het kabinet besloten heeft om maatregelen te nemen die ertoe zullen leiden dat de behoefte aan gas (en daarmee ook de winning van gas) uit het Groningenveld de komende jaren sterk zal afnemen. Ik verwijl hierbij naar mijn brief van 29 maart 2018 (DGETM-EI/18057375). Tevens heeft het kabinet besloten om de Gaswet en de Mijnbouwwet aan te passen, waardoor het mogelijk wordt om niet meer gas te produceren uit het Groningen gasveld dan nodig is voor de leveringszekerheid. Naar verwachting zullen deze wetswijzigingen later dit jaar van kracht worden.

#### Aanvulling winningsplan

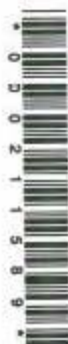
In het winningsplan Groningenveld 2016 werd geen rekening gehouden met een snelle afname van de winning, zoals nu is voorzien door het kabinet. Daarom verzoek ik u om een aanvulling op het winningsplan 2016 te maken, bestaande uit twee elementen:

- a) een "hazard and risk assessment", gebaseerd op het basispad van het kabinet, waarmee duidelijk wordt wat de gevolgen zijn van een sterke afname van de gaswinning uit Groningen voor de veiligheidsrisico's en de omvang van de versterkingsoperatie.
- b) een "operationale strategie" voor de gaswinning voor het gasjaar 2018/2019.

In bijgaand document heb ik mijn verwachtingen voor deze aanvulling op het winningsplan 2016 nader uitgewerkt. Ik zie uw aanvulling graag uiterlijk 15 juni 2018 tegemoet.

#### Instemmingsbesluit

Ik da ervan uit dat het nieuwe besluit over de gaswinning in Groningen, dat ik vóór 15 november 2018 zal nemen (op basis van de uitspraak van de Raad van State van november 2017), zal plaatsvinden op basis van de thans geldende wetgeving. Dit besluit zal het karakter dragen van een "overbruggingsbesluit", dat



Directoraat-generaal  
Energie, Telecom &  
Meredding  
Directie Energie en Omgeving

Ons kenmerk  
DGEM-ED / 18085132

geldt voor één gasjaar, namelijk het gasjaar 2018/2019. In dit besluit zal ik uw aanvulling op het winningsplan betrekken.

De Minister van Economische Zaken en Klimaat,  
Voor deze:



Drs. V.G. Pieterman  
Plv. Directeur Energie & Omgeving

Directoraat-generaal  
Energie, Telecom &  
Mededinging  
Directie Energie en Omgeving

Ons kenmerk  
DGETM-EO / 18085152

## Bijlage

### Verwachtingen aanvulling winningsplan Groningenveld 2016

De aanvulling bevat:

1. nieuwe Hazard & Risk Assessment (HRA), die gebaseerd is op het basispad van het kabinet (ref. brief EZK van 29 maart 2018, kenmerk DGETM-EO/18057375), met dien verstande dat wordt uitgegaan van een stikstofinzet van 85%.
2. een operationele strategie voor de gaswinning voor het gasjaar 2018/2019.

#### Ad 1 Verwachtingen ten aanzien van de aanvullende Hazard & Risk Assessment

1. Hazard & Risk Assessment uitgaande van het basispad van het kabinet voor een koud, gemiddeld en warm jaar, waarbij voor het koude en warme jaar het uitgangspunt geldt dat de jaren voor en na dat koude respectievelijke warme jaar gemiddelde jaren zijn. Tevens wordt uitgegaan van een stikstofinzet van 85% van de gecombineerde inzet van Ommen en Wieringermeer. De detailcijfers van de productie (per maand uitgewerkt) zijn vastgelegd in een Excelbestand, dat separaat digitaal aan NAM verstuurd zal worden (tegelijk met de verwachtingenbrief).
2. Voor de verdeling van de productie over de verschillende clusters en regio's wordt uitgegaan van NAM's optimalisatiestudie uit december 2017, met dien verstande dat rekening wordt gehouden met volumebeperkingen die SodM naderhand in het "Zeerijp"-advies (1 februari 2018) heeft opgenomen (zie opsomming op p.2 van deze bijlage).
3. NAM berekent (ter referentie) de uitkomsten voor het 24 mld Nm<sup>3</sup> scenario uit de HRA-rapportage van 1 november 2017 volgens de hiernonder gegeven specificaties.
4. Voor elk scenario worden de rekenuitkomsten v.w.b. aantal personen en gebouwen gegeven volgens de adviezen van de cie Meijdam<sup>1</sup>, dat wil zeggen: een verwachte (gemiddelde) waarde met een onzekerheidsband.
5. De uitkomsten van beide scenario's worden weergegeven als:
  - a. Jaarlijkse berekeningen van het risico (hazard maps en LPR-curves) voor de eerste 10 jaar.
  - b. 5-Jaarlijkse berekeningen van het risico voor de eerste 15 jaar.
  - c. NAM maakt voor elk scenario aanvullende grafieken:
    - i. gebouwen gemiddelde + onzekerheidsband  $> 10^{-4}/j$  tegen tijd;
    - ii. gebouwen gemiddelde + onzekerheidsband  $> 10^{-5}/j$  tegen tijd;
  - d. ruimtelijke kaart met de locaties van de huizen waarvan er een kans is dat ze in een gebouwtype vallen waarin de kans op

<sup>1</sup> Eerste advies (Kamerstukken 33529, nr.174), tweede advies (Kamerstukken 33 529, nr. 205), eindadvies (Kamerstukken 33 529, nr. 212).

Directoraat-generaal  
Energie, Telecom &  
Nededing  
Directie Energie en Omgeving

Ons kenmerk  
DGETM-EI / 18065152

- overlijden >  $10^{-4}/j$ ;
- e. ruimtelijke kaart met de locaties van de huizen waarvan er een kans is dat ze in een gebouwtype vallen waarin de kans op overlijden >  $10^{-3}/j$ ;
  - f. NAM zal deze opeenvolgende gevallen in de vorm van een tabel opsommen in haar rapportage.
  - g. Tabel met alle gebouwtypologieën waarvan het risico > $10^{-4}/j$  en > $10^{-3}/j$  is.
6. Om SodM in staat te stellen advies uit te brengen over de veiligheidsrisico's stelt NAM een rapport beschikbaar met kaarten die SodM nodig heeft (in overleg met EZK en SodM). Uit privacyoverwegingen (bescherming eigenaren van gebouwen) is dit een niet-openbaar rapport.

#### **Ad 2 Verwachtingen aanvulling winningsplan Groningenveld 2016 voor het gasjaar 2018/2019.**

In de aanvulling op het winningsplan Groningenveld 2016 werkt NAM een operationele strategie uit, waarin het scenario van GTS voor het gasjaar 2018/2019 als uitgangspunt wordt genomen. Het gaat om het scenario dat overeenstemt met de brief van EZK van 29 maart 2018 (DGETM-EI/18057375) en nader is omschreven in de brief van GTS van 27 maart 2018, p.4, onder het kopje "Instemmingsbesluit".

Bij het uitwerken van het GTS-scenario neemt NAM de volgende randvoorwaarden in acht:

- De graaddagenformule die in het gasjaar 2018/2019 van toepassing zal zijn als bovengrens voor de Groningenproductie, is de graaddagenformule die GTS in zijn rapport van 27 maart 2018 heeft vermeld:  
$$\text{Groningen volume} = 0,3 + 0,00886 * gd$$
Hierbij dient het streven te zijn om op jaarrichting een zo hoog mogelijke stikstofinzet te bereiken. Mocht na enige tijd blijken dat een inzetpercentage van de stikstof hoger dan 85% haalbaar is, dan kan de (jaarlijks vast te stellen) graaddagenformule daarop aangepast worden.
- NAM maakt bij het opstellen van de operationele strategie gebruik van de 31 temperatuurscenario's die GTS heeft vastgesteld. Deze scenario's zullen in een excelbestand digitaal aan NAM beschikbaar worden gesteld. Indien de Groningen productie niet past binnen de gestelde randvoorwaarden dient NAM inzichtelijk te maken welke keuzes er gemaakt kunnen worden om een eventueel knelpunt op te lossen.
- Werkvolume Norg: 5 miljard Nm<sup>3</sup> (overeenkomstig het vigerende opslagplan)
- Productiefluctuaties conform advies SodM:
  - Beperking volumefluctuaties Bierum-cluster tot maximaal 20% per maand (met uitzondering van operationele omstandigheden, waaronder onderhoud en uitval)
  - Beperking regionale fluctuaties in de productie van de overige clusters tot het huidige niveau van +/- 50% per maand (behalve van het

Directoraat-generaal  
Energie, Telecom &  
Mededeling  
Directie Energie en Omgeving

Ons kenmerk  
DGETM-EO / 18085132

cluster EKL waarvoor een beperking tussen 0 – 150 min m<sup>3</sup>/maand geldt). De beperking van de fluctuaties van +/- 20% per maand voor de productie uit het gehele Groningenveld kan onder deze voorwaarde worden losgelaten.

- Als referentie voor deze bandbreedtes in fluctuaties kan de gemiddelde productie over de afgelopen 12 maanden worden gehanteerd.
- Prioriteitstelling bij overschrijding fluctuaties:  
Uit het GTS rapport van 27 maart 2018 blijkt, dat een analyse van NAM laat zien dat in circa 3-8% van de maanden van alle beoordeelde scenario's (31 temperatuur scenario's per jaar voor de periode 2018/2019 tot en met 2025/2026 en 2029/2030) niet altijd kan worden voldaan aan de gestelde fluctuatietoelatingen zoals hierboven beschreven. GTS merkt hierbij onder meer op, dat deze incidentele productieoverschrijdingen naar verwachting grotendeels voorkomen kunnen worden (zonder rekening te houden met ongeplande uitval van L-gas middelen) door op momenten back-up of piek conversiemiddelen van GTS in te zetten of tijdelijk injectie van bergingen stop te zetten. Als er een keuze gemaakt moet worden tussen het reduceren van volumes en het loslaten van de fluctuatietoelating dan prevaleert volumebeperking.

Opmerking:

Mochten deze fluctuaties in de modellering vaker optreden dan incidenteel, dan zal de Minister van EZK aan NAM verzoeken om alternatieve productiestrategieën aan te dragen, met aangepaste beperkingen. Op basis van deze alternatieve productiestrategieën kan de Minister van EZK aan NAM verzoeken een bepaalde productiestrategie te volgen.

- Definitie regio's:
  - Bierum
  - Centraal-Oost clusters: AMR, TJM, DWG, SCB, SDB
  - Zuidoost clusters: SZW, EKR, ZPD
  - Zuidwest clusters: KPD, SLO, SPI, TUS, ZVN
  - Eemskaanaal
  - (P.M. Loppersum clusters)

## Appendix C – Implementation of the discrete $M_{\max}$ Distribution in the Probabilistic Seismic Hazard and Risk Analysis

The sensitivity of the Probabilistic Seismic Hazard and Risk Analysis to epistemic uncertainties identified on the logic tree (Fig. C.1) is shown in Figure C.2. Four key factors have been identified: the seismological model, ground motion model (GMM), building fragility model, and the consequence model. The extent of each grey bar denotes the average value of the risk metric for the subset of the logic-tree where the given factor is constrained to the lower branch (lower limit) and then the upper branch (upper limit). Results are shown for 2018-2022 under the 24 bcm/year production scenario for a single mean local personal risk (LPR) metric, computed as the mean over all populated buildings and all probability-weighted logic tree branches. Alternative assessment periods and production scenarios yield similar results for the relative sensitivities.

The Hazard and Risk Assessment of November 2017 (Ref. 1) indicated that the distribution of epistemic uncertainty identified for the maximum possible earthquake magnitude,  $M_{\max}$ , is a significant contributor to epistemic uncertainty in the Probabilistic Seismic Hazard and Risk Analysis.

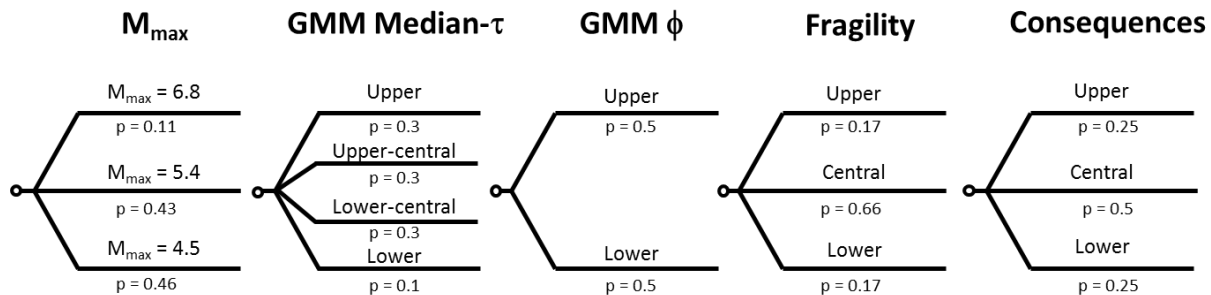
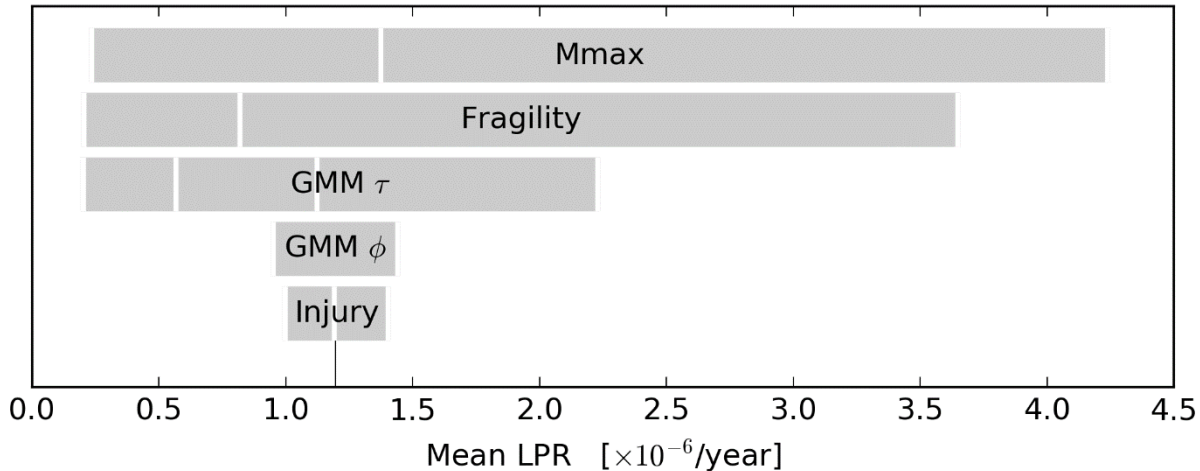


Figure C.1

Summary of the logic-tree used to characterise epistemic uncertainties within the Probabilistic Seismic Hazard and Risk Analysis. The complete logic tree contains 216 branches which comprises the full factorial combination of these 5 factors and their associated 2–4 levels. Each logic tree branch was analysed by an independent Monte Carlo simulation of the unique combination of sub-models. Mean hazard and risk metrics are derived as the probability-weighted combination of all Monte Carlo results across the complete logic tree.



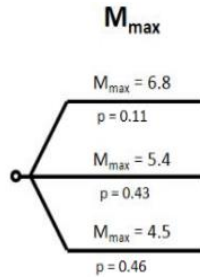
**Figure C.2** Tornado plot to indicate the sensitivity of the Probabilistic Seismic Risk Analysis to the identified epistemic uncertainties. The extent of each bar denotes the values of the risk metric under sequential re-weightings of the logic-tree where the each factor in turn is constrained to the lower branch (lower limit) and then the upper branch (upper limit). Results are shown for 2018-2022 under the 24 bcm/year production scenario for logic tree mean local personal risk for all populated buildings.

The distribution was established by a panel of experts following a workshop at Schiphol Airport, The Netherlands (Ref. 2). The resulting cumulative distribution function (CDF) for  $M_{\max}$  was represented by eight values (Fig. C.3).

Moment Magnitude	Cumulative Probability
3.75	0.0
4.25	0.08625
4.75	0.48625
5.25	0.73
5.75	0.8425
6.25	0.92125
6.75	0.97375
7.25	1.0

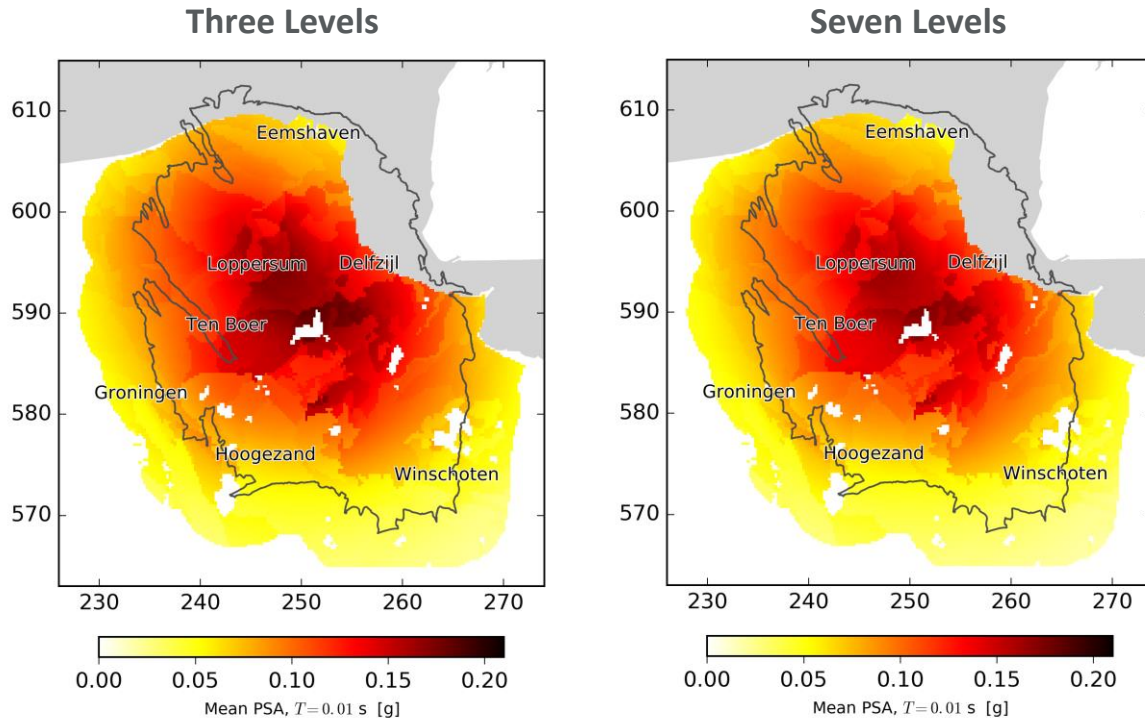
**Figure C.3** Table of eight values capturing the cumulative distribution function (CDF) for  $M_{\max}$  taken from “Report on  $M_{\max}$  Expert Workshop – 8 – 10 March 2016” (Ref. 2, page 9 of the Report from the Expert Panel on Maximum Magnitude Estimates for Probabilistic Seismic Hazard and Risk Modelling in Groningen Gas Field 25 April 2016).

For practical reasons, this distribution was captured by three branches in the logic tree (Fig. C.4). Including a seven-branch representation of the uncertainty in  $M_{\max}$ , would have been impractical from a computer run-time perspective. The  $M_{\max}$  values and associated probabilities on the three branches of the logic tree were chosen to exactly match the zero, first, second, third, fourth and fifth moments of the  $M_{\max}$  distribution, as established by the  $M_{\max}$  expert panel.



*Figure C.4 Logic tree for  $M_{\max}$  as used in the Hazard and Risk Assessment of November 2017, taken from reference 3 pg. 117.*

To assess the influence of representing epistemic uncertainty in  $M_{\max}$  by three levels in the logic tree, a single risk analysis was conducted using the 7-level  $M_{\max}$  distribution established by the  $M_{\max}$  expert panel. This single analysis was based on the reference production scenario of 24 Bcm/year also used in the Induced Seismicity in Groningen Assessment of Hazard, Building Damage and Risk of November 2017 (Ref. 1). The hazard maps for these two hazard assessments with a representation of the uncertainty in the  $M_{\max}$  by 3- and 7- point discrete distributions respectively are shown in Figure C.5.



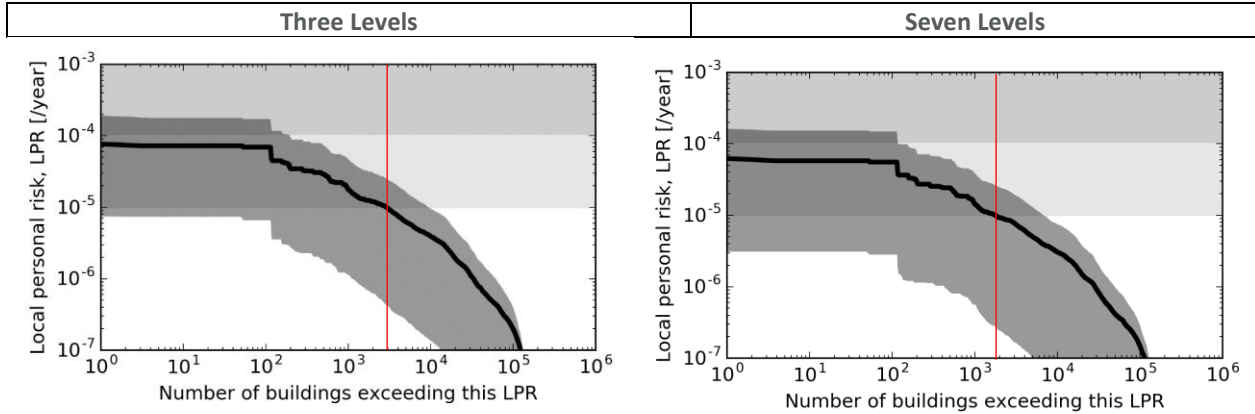
*Figure C.5 Hazard maps for 3-point (left) and 7-point (right) discrete probability  $M_{\max}$  distributions under the 24 Bcm/year production scenario and a 0.21% annual probability of exceedance.*

Comparison of these figures shows that 7-point discrete  $M_{\max}$  distribution yields systematically lower Peak Ground Acceleration (PGA) values (Table C.1). The influence of this representation on LPR for buildings in the Groningen area is shown in Figure C.5. Consistent with the hazard results, the influence on risk also results in a lower estimate of buildings exceeding the life-safety norm.

Largest PGA on the Hazard Map	Three Levels	Seven Levels
-------------------------------	--------------	--------------

<b>Including Schildmeer area (as reported in reference 3).</b>	0.207 g	0.196 g
<b>Excluding Schildmeer area</b>	0.185 g	0.174 g

**Table C.1** The largest PGA on the hazard maps (0.21% annual exceedance probability) for the 3-point and 7-point discrete  $M_{max}$  distributions under the 24 Bcm/year production scenario.



**Figure C.5** LPR distributions under the 24 Bcm/year production scenario for the 3-point (left) and 7-point (right) discrete  $M_{max}$  distributions.

The implementation of a 3-point instead of a 7-point discrete  $M_{max}$  probability distribution in the logic-tree approach has not led to under-estimation of Probabilistic Seismic Hazard or Risks metrics. Instead, this the 3-point discrete  $M_{max}$  probability distribution is shown to be conservative relative to the 7-point discrete probability distribution established by the  $M_{max}$  expert panel.

## C.1 References

1. Induced Seismicity in Groningen, Assessment of Hazard, Building Damage and Risk – November 2017, NAM (Jan van Elk and Dirk Doornhof), November 2017.
2. Report on  $M_{max}$  Expert Workshop – 8 – 10 March 2016, World Trade Centre, Schiphol Airport, The Netherlands, Independent Expert Panel, July 2016.



# Bouwstenen voor Operationele Strategie

## Groningen veld 2018/2019

### Inhoudsopgave

1.	Inleiding .....	2
1.1.	Verwachtingenbrief Minister .....	2
1.2.	Oppervlak document.....	2
2.	Uitgangspunten Operationele Strategie .....	2
2.1.	Uitgangspunten Verwachtingenbrief .....	2
2.2.	Uitgangspunten Groningen systeem gasvraag GTS.....	4
2.3.	Reikwijdte Operationele Strategie .....	4
3.	Taken en rollen in het bepalen Groningen veld inzet .....	4
3.1.	Rol van GTS.....	4
3.2.	Rol van GasTerra.....	5
3.3.	Rol van NAM .....	5
4.	Graaddagenformule vs. regionale productiefluctuaties .....	6
5.	Bepalen Groningen veld regio inzet .....	7
5.1.	Inleiding .....	7
5.2.	Regio-inzet en relatie seismiciteit - HRA .....	7
5.3.	Basis inzetvolgorde regio's .....	8
5.4.	Keuze voor de Inzetstrategie van de regio's .....	9
5.5.	Samenvatting voor- en nadelen twee inzetstrategieën voor de regio's .....	12
6.	Monitoring en Interventie .....	13
6.1.	Monitoren graaddagenvolumes .....	13
6.2.	Interventie minister .....	13
6.3.	Rol van het Meet- en Regelprotocol .....	15
7.	Operationele Strategieën .....	15
	Bijlage 1: Inzet strategie UGS Norg en relatie met fluctuaties .....	18
	Fluctuaties op Groningen veldniveau.....	18
	Relatie fluctuaties veld- en regioniveau .....	20

## 1. Inleiding

### 1.1. Verwachtingenbrief Minister

In de "Verwachtingenbrief aanvulling winningsplan Groningen veld 2016 dd. 2 mei 2018 (DGETM-EO/18085152)" (verder: de Verwachtingenbrief) is NAM door de Minister van Economische Zaken en Klimaat (verder: de Minister) gevraagd een aanvulling op het Winningsplan 2016 te maken. Deze aanvulling dient als basis voor het Instemmingsbesluit dat de Minister in 2018 zal nemen, waarin hij o.a. de "Operationele Strategie" voor het Groningen veld zal vaststellen voor het gasjaar 2018/2019. Middels dit document (verder: het Bouwstenen Document) voldoet NAM aan dit verzoek.

In de Verwachtingenbrief staat aangegeven welke voorwaarden NAM dient te hanteren bij het opstellen van het Bouwstenen Document. Daarnaast heeft NAM als onderdeel van de Verwachtingenbrief een Excel bestand ontvangen met de door GTS vastgestelde Groningen systeem (Groningen veld, UGS Norg en PGI Almaar) L-gasvraag voor 31 temperatuurscenario's voor gasjaar 2018/19 (verder: GTS data). Ook is de L-gasvraag in een warm (referentiejaar 2007), gemiddeld (referentiejaar 2012) en een koud (referentiejaar 1986) jaar gegeven voor de periode 2019 tot en met 2030, welke dienen ten behoeve van de update van de Hazard and Risk Assessment (HRA analyse), waar de Minister in dezelfde Verwachtingenbrief om heeft verzocht. Deze data en voorwaarden zijn het uitgangspunt geweest voor het opstellen van dit Bouwstenen Document en de HRA-update die als apart document door NAM wordt aangeleverd.

### 1.2. Opbouw document

Dit document is als volgt opgebouwd. Begonnen wordt met een weergave van de uitgangspunten die NAM hanteert bij het opstellen van het Bouwstenen Document (hoofdstuk 2). In hoofdstuk 3 wordt vervolgens ingegaan op de taken en rollen van GTS, GasTerra en NAM bij het bepalen van de inzet van de Groningen systeemmiddelen. In hoofdstuk 4 wordt ingegaan op de relatie tussen de graaddagenformule, en de hieruit voortvloeiende volumebeperking en de daaruit volgende regiofluctuaties. De volgende stap wordt beschreven in hoofdstuk 5, namelijk het bepalen van de mogelijkheden voor de inzet van de diverse gedefinieerde regio's van het Groningen veld. Hoofdstuk 6 beschrijft het monitoringproces en de interventieprocessen indien de door de Minister vastgestelde Operationele Strategie niet langer uitvoerbaar blijkt te zijn binnen de aan NAM opgelegde voorwaarden. Het afsluitende hoofdstuk 7 beschrijft de verschillende keuzes die door de Minister gemaakt dienen te worden over de onderwerpen uit de voorgaande hoofdstukken om te komen tot een Operationele Strategie. Het is aan de Minister om te bepalen welke Operationele Strategie wordt gekozen.

## 2. Uitgangspunten Operationele Strategie

### 2.1. Uitgangspunten Verwachtingenbrief

Voor het opstellen van het Bouwstenen Document heeft NAM de voorwaarden en uitgangspunten uit de Verwachtingenbrief gebruikt.

De uitgangspunten die NAM dient te gebruiken bij het maken van haar berekeningen zijn de volgende:

1. NAM maakt bij het opstellen van het Bouwstenen Document gebruik van de 31 door GTS vastgestelde temperatuurscenario's die als onderdeel van de Verwachtingenbrief aan NAM ter beschikking zijn gesteld.
2. Voor het werkvolume van de UGS Norg wordt uitgegaan van maximaal 4,8 – 5,0 miljard Nm<sup>3</sup>, in lijn met de drukgrenzen van het vigerende opslagplan. NAM heeft tevens inzichtelijk gemaakt welk effect een werkvolume van 6 miljard Nm<sup>3</sup> heeft op de Groningenveld inzet.
3. De door GTS vastgestelde graaddagenformule is gebaseerd op een jaargemiddelde stikstofinzet van 85%.

De in de Verwachtingenbrief opgelegde voorwaarden waarbinnen NAM het Groningenveld dient te opereren zijn de volgende:

1. De graaddagenformule die in het gasjaar 2018/2019 van toepassing zal zijn als bovengrens voor de Groningenproductie, is de volgende:

$$\text{Groningenvolume} = 0,3 + 0,00886 * gd^1$$

Zie hiervoor ook hoofdstuk 4

2. De regionale productiefluctuaties dienen te worden beperkt zoals onderstaand weergegeven:
  - beperking volumefluctuaties Bierum-cluster tot maximaal 20% per maand (met uitzondering van operationele omstandigheden, waaronder onderhoud en uitval);
  - beperking regionale fluctuaties in de productie van de overige clusters tot het huidige niveau van +/- 50% per maand (met uitzondering van Eemskaala waar een beperking tussen 0 – 150 mln. m<sup>3</sup> per maand geldt). Er is geen beperking van de fluctuaties voor het Groningenveld als geheel;
  - als referentie voor deze bandbreedtes in fluctuaties wordt de gemiddelde productie over de afgelopen 12 maanden gehanteerd.
3. Als er een keuze gemaakt moet worden tussen het reduceren van volumes en het loslaten van de fluctuatiebandbreedte, dan prevaleert volumebeperking.
4. Mochten de verwachte overschrijdingen van de limieten op regionale productiefluctuaties in de modellering vaker optreden dan incidenteel, dan draagt NAM alternatieve keuzes en strategieën aan, zodat de Minister voldoende informatie heeft om de noodzakelijke keuzes te maken ten aanzien van het Instemmingsbesluit en/of eventuele aanwijzingen.

---

<sup>1</sup> Graaddagen definitie: "Een graaddag is het verschil tussen de gemiddelde effectieve temperatuur (dag gemiddelde temperatuur gecorrigeerd voor de windsnelheid) en 14°C. Hierbij wordt 14°C beschouwd als de stoksgrens van de huishoudelijke markt" – Brief GTS L 17.0026 "Groningen volume en leveringszekerheid" mei 2017. Het resulterende volume is in miljarden Nm<sup>3</sup> Tel Quel (BCM).

5. Definitie regio's:

- Bierum (BIR)
- Centraal-Oost clusters: AMR, TJM, OWG, SCB, SDB
- Zuid-Oost clusters: SZW, EKR, ZPD
- Zuid-West clusters: KPD, SLO, SPI, TUS, ZVN
- Eemskanaal (EKL)
- (Niet meer te gebruiken: Loppersum clusters PAU, POS, ZND, LRM, OVS)

## 2.2. Uitgangspunten Groningen systeem gasvraag GTS

In de door de Minister aangeleverde GTS-data zijn de door GTS gehanteerde uitgangspunten meegegeven voor de minimale flow naar de markt van het Groningenveld:

- Minimale inzet van het Groningenveld in de maanden juni, juli, augustus: 8 mln. m<sup>3</sup>/d.
- Minimale inzet In de overige maanden 10 mln. m<sup>3</sup>/d.

## 2.3. Reikwijdte Operationele Strategie

Het opereren van het Groningenveld, het functioneren van het Groningen systeem en meer in het algemeen het produceren en leveren van gas ten behoeve van de leveringszekerheid, is een complex proces waar diverse partijen bij betrokken zijn. Hoewel het Instemmingsbesluit enkel gericht is tot NAM, kan NAM de inzet van het Groningenveld niet in isolatie bepalen. Zij is hiervoor mede afhankelijke van GTS en marktpartijen zoals GasTerra. Dit maakt het in acht nemen van de door de Minister gestelde uitgangspunten en voorwaarden complex.

Dit Bouwstenen Document is derhalve tot stand gekomen in overleg met GasTerra. Daarbij wordt wel opgemerkt dat indien de Minister eisen wenst te stellen aan de inzet en/of werkwijze van GasTerra en of andere marktpartijen, het aan de Minister is dit te bepalen. In het volgende hoofdstuk zal nader worden ingaan op de rollen en verantwoordelijkheden van GTS, GasTerra en NAM, zoals NAM deze ziet.

## 3. Taken en rollen in het bepalen Groningenveld inzet

### 3.1. Rol van GTS

GTS heeft zicht op de totale laagcalorische en hoogcalorische gasvraag waarvoor zij het transport van producent naar de eindgebruiker regelt. Het is tevens de rol van GTS om de fysieke vraag en aanbod van laag- en hoogcalorisch gas te balanceren met de tot haar beschikking staande middelen zoals de stikstofinstallaties, waarmee hoogcalorisch gas naar laagcalorisch gas kan worden geconverteerd. Hiermee maakt GTS de kwaliteitsloze gasmarkt mogelijk. De middelen om met stikstof H-gas te converteren in L-gas vallen dus onder het beheer van GTS.

GTS heeft de Minister geadviseerd hoeveel Groningenveldgas op jaarbasis nodig is voor leveringszekerheid. Op basis van 31 temperatuurscenario's en een aantal uitgangspunten heeft GTS de graaddagenformule vastgesteld waarmee wordt berekend hoeveel Groningenveldgas op jaarbasis naar verwachting nodig is om de vraag naar laagcalorischgas te kunnen afdekken. Hierbij is GTS uitgegaan van

een preferentiële inzet van de aan GTS en derden ter beschikking staande L-gas middelen. Dit is vertaald in de randvoorwaarden beschreven in de Verwachtingenbrief (zie hoofdstuk 2).

Op basis van de wettelijke rol kan GTS, conform de Transportcode gas – LNB (artikelen 4.1.44, 4.4.5 en 4.4.6), op momenten dat er problemen zijn in het gastransportnet of in de mate waarin de markt gebruik maakt van de beschikbare conversiemiddelen, aanwijzingen geven aan marktpartijen om meer of minder gas in te voeden. Dit kan onder bepaalde omstandigheden ook leiden tot aanwijzingen van GTS aan GasTerra die een effect hebben op de inzet van het Groningenveld.

Indien de gehanteerde uitgangspunten niet blijken aan te sluiten bij de werkelijkheid, hetgeen tot uiting kan komen in aanwijzing(en) van GTS, kan dit ertoe leiden dat de door GTS berekende behoefte aan Groningenveldgas zoals geadviseerd door GTS niet meer toereikend is om de leveringszekerheid te bedienen. Het is de rol van GTS om te monitoren of de uitgangspunten zoals gebruikt in het advies aan de Minister gedurende het jaar ook corresponderen met de werkelijkheid en indien nodig de Minister hierover te adviseren (zie hoofdstuk 6).

### 3.2.Rol van GasTerra

GasTerra is een commerciële marktpartij die is aangewezen voor de verkoop van het Groningenveldgas en die daarnaast de Groningen systeem middelen UGS Norg en PGI Alkmaar heeft gecontracteerd. Op de PGI Alkmaar wordt in het Bouwstenen Document verder niet ingegaan. Op basis van deze elementen in haar portfolio speelt GasTerra een belangrijke rol in het kunnen afdekken van de leveringszekerheid van de L-gasvraag, hoewel dit laatste geen (wettelijke) taak van GasTerra is. Op basis van de door GTS bepaalde behoefte aan Groningenveldgas op jaarrichting bepaalt GasTerra met de inzet van haar L-gasmiddelen (waaronder UGS Norg) in belangrijke mate hoe het Groningenveld wordt ingezet en heeft GasTerra dus een sleutelrol om NAM in staat te stellen het Groningenveld binnen de randvoorwaarden van de Verwachtingenbrief te kunnen opereren.

Daarnaast zal de inzetstrategie van GasTerra voor de UGS Norg ook bepalen of er in koude periodes, die zich ook aan het einde van de winter kunnen voordoen, nog voldoende capaciteit beschikbaar is op de berging om in de L-gasvraag te kunnen voorzien.

### 3.3.Rol van NAM

NAM is vergunninghouder en operator van zowel het Groningenveld als de UGS Norg. Dat betekent dat zij dient te voldoen aan de vergunningsvooraarden die voor deze mijnbouwlocaties gelden.

Recentelijk heeft de Minister nog aangegeven dat als de raming van GTS met betrekking tot het maximaal benodigde volume Groningenveldgas, zoals vastgelegd in de graaddagenformule, te hoog blijkt te zijn NAM het ‘teveel’ niet mag winnen<sup>2</sup>. Zoals hierboven reeds beschreven opereert NAM het Groningenveld en de UGS Norg, echter NAM bepaalt en overziet de vraag naar Groningenveldgas en de inzet van de Norg UGS ten behoeve van een beperking van de regionale productiefluctuaties niet. NAM kan derhalve niet meer doen dan toetsen of de genoemde hoeveelheid gas blijft binnen de eisen van de graaddagenformule en binnen de voorwaarden die zijn gesteld aan regionale productiefluctuaties.

---

<sup>2</sup> Beantwoording Kamervragen , kamerstukken 33529, nr. 471. Beantwoording vraag 80.

Op basis van de Verwachtingenbrief is NAM samen met GasTerra tot de volgende prioriteiten gekomen in volgorde van hoog naar laag, waarvan GasTerra heeft aangegeven dat zij deze zal hanteren bij de inzet van de Groningen systeemmiddelen:

- 1) Lever die hoeveelheid Groningenveldgas die jaarlijks nodig is voor de leveringszekerheid binnen de graaddagenformule;
- 2) Zorg voor voldoende UGS Norg werkvolume gedurende de hele winter (= effectief leveringszekerheid);
- 3) Vul UGS Norg voor het komende gasjaar;
- 4) Voorkom overschrijdingen van de beperkingen gesteld aan de regionale productiefluctuaties.

NAM heeft deze door GasTerra te hanteren prioriteiten gehanteerd als uitgangspunt voor het Bouwstenen Document.

**NAM verzoekt de Minister in het Instemmingsbesluit bovenstaande prioriteitstelling te bevestigen en NAM te instrueren om in geval van conflict te handelen in lijn met deze prioriteitstelling.**

#### 4. Graaddagenformule vs. regionale productiefluctuaties

Uit de analyse (zie bijlage 1) is gebleken dat op basis van de 31 beoordeelde temperatuurscenario's het niet mogelijk is om bij alle temperatuurscenario's zowel binnen het volumeplafond van de graaddagenformule als binnen de voorgeschreven beperkingen van de regionale productiefluctuaties te blijven. Dit is ook al onderkend in de Verwachtingenbrief. Deze tegenstrijdigheid is derhalve een gegeven bij het opstellen van de inzetstrategie voor de regio's (hoofdstuk 5). Op basis van een continuering van de huidige inzet van de UGS Norg (zie methode A in bijlage 1) blijkt dat de fluctuaties op regioniveau het meest kunnen worden voorkomen. Het instemmingsbesluit zal helderheid moeten verschaffen hoe NAM dient om te gaan met incidentele overschrijdingen van de gestelde beperkingen aan regionale productiefluctuaties.

**NAM verzoekt de Minister om in het Instemmingsbesluit op te nemen hoe NAM dient om te gaan met de voorziene overschrijdingen van de gestelde beperkingen aan de regionale productiefluctuaties als gevolg van markt en/of operationele omstandigheden**

Voor de volledigheid heeft NAM in overleg met GasTerra ook nog geanalyseerd wat de effecten zouden zijn indien zou worden gekozen voor een inzet van de UGS Norg waarbij in de koudste winters de piekvraag met de UGS kan worden afgedekt. Dit leidt echter tot meer fluctuaties op regioniveau vergeleken met eerdergenoemde Norg inzet. Dit is tevens uitgewerkt in methode B van bijlage 1.

De UGS Norg speelt een belangrijke rol bij de beperking van regionale productiefluctuaties. Momenteel is het werkvolume van de UGS Norg beperkt tot 4,8 – 5,0 miljard Nm<sup>3</sup> door de drukgrenzen die zijn vastgelegd in het vigerende opslagplan. NAM en GasTerra hebben tevens geanalyseerd welk effect een

werkvolume van 6 miljard Nm<sup>3</sup>, aansluitend bij het opslagplan dat NAM in 2015 heeft ingediend, heeft op het aantal fluctuaties. Hieruit blijkt dat het aantal overschrijdingen van de fluctuatiebandbreedte op regioniveau met 15-25 procent te kan worden beperkt ten opzichte van een werkvolume van 5 miljard Nm<sup>3</sup>. Dit wordt verder toegelicht in hoofdstuk 5. Een groter werkvolume heeft tevens een positief effect op de leveringszekerheid daar dit meer ruimte biedt om de UGS Norg in te zetten in koude periodes of in situaties van uitval van andere L-gasmiddelen.

**NAM verzoekt de Minister in overweging te nemen om een instemmingsbesluit te nemen op het opslagplan dat NAM op 16 juli 2015 heeft ingediend om zodoende het werkvolume van 6 miljard Nm<sup>3</sup> beschikbaar te maken ter ondersteuning van het voorkomen van fluctuaties en de leveringszekerheid.**

Een geoptimaliseerd productie- en injectieseizoen waarbij er in de maand april indien nodig nog kan worden geproduceerd en in de maand oktober nog worden geïnjecteerd, kan helpen een verschuiving van regionale productiefluctuaties in de zomer te beheersen. Hierbij dient wel opgemerkt te worden dat dit kan leiden tot een verschuiving van het volume uit het Groningenveld van het lopende gasjaar naar het volgende gasjaar waarvoor in het Instemmingsbesluit ruimte geboden zou kunnen worden. Momenteel is als gevolg van tijdelijke onbeschikbaarheid van een injectiecompressor de kans aanwezig dat NAM de UGS Norg niet voor 1 oktober 2018 kan volkrijgen. Deze mogelijkheid zou voor het gasjaar 2018/2019 dus tevens een oplossing bieden om de UGS Norg volledig gevuld te hebben voor de komende winter.

**NAM verzoekt de Minister in het Instemmingsbesluit de mogelijkheid op te nemen om het volume dat benodigd is om UGS Norg te vullen uit opeenvolgende gasjaren te betrekken.**

## 5. Bepalen Groningenveld regio inzet

### 5.1. Inleiding

Op basis van de door de Minister gestelde uitgangspunten heeft NAM getoetst welke mogelijkheden er zijn voor de regio-inzet van het Groningenveld. Dit is gedaan voor de 31 volumeprofielen, behorend bij de 31 temperatuurscenario's, welke passen binnen de randvoorwaarden van de Verwachtingenbrief. Voor wat betreft de mogelijke overschrijding van de opgelegde maximale regionale productiefluctuaties wordt verwezen naar hoofdstuk 4.

### 5.2. Regio-inzet en relatie seismiciteit - HRA

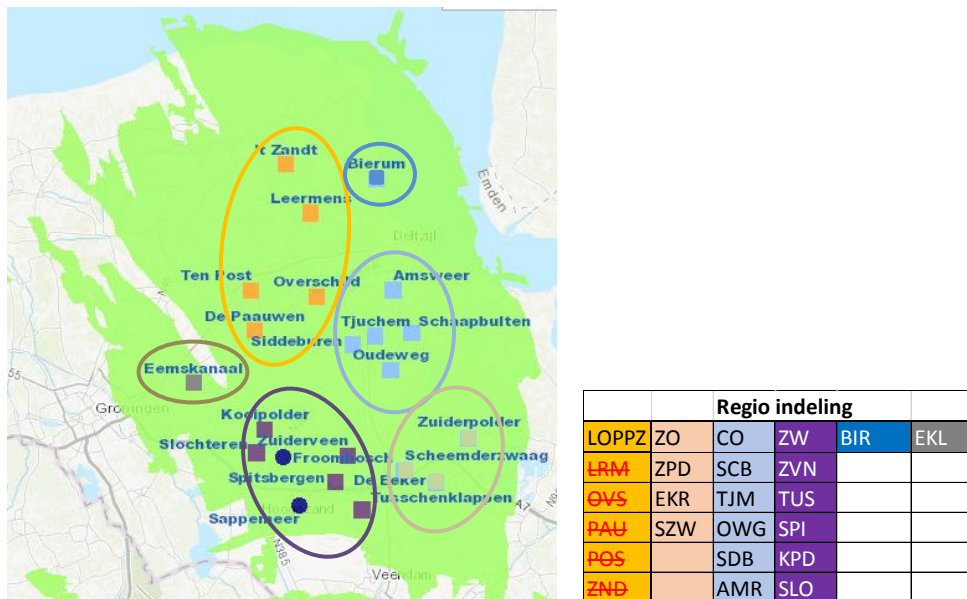
De HRA (ref. "Seismic Risk Assessment for Production Scenario "Basispad Kabinet" for the Groningen field, Addendum to: Induced Seismicity in Groningen Assessment of Hazard, Building Damage and Risk (November 2017)", June 2018) geeft inzicht in dreiging en risico als gevolg van de door gasproductie uit het Groningenveld geïnduceerde seismiciteit.

In de HRA is uitgegaan van het opregelen van de productie op basis van een regionale opstartvolgorde, waarbij de gekozen opschakelvolgorde is gebaseerd op de uitkomsten van de eerder gepubliceerde Productie Optimalisatiestudie (ref. "Optimisation of the distribution of production over the Groningen field to reduce seismicity", december 2017). Deze opstartvolgorde sluit aan bij de in hoofdstuk 5.4 gedefinieerde regio-inzetstrategie. Op basis van deze studie is geconcludeerd dat productie uit de zuidoostelijke regio tot de laagst te verwachten seismiciteit zal leiden en daarom preferentieel ingezet wordt. Daarentegen zouden in de zuidwestelijke en noordelijke gelegen clusters juist minder preferentieel ingezet moeten worden.

In de HRA is uitgegaan van een maximale loadfactor van een cluster van 70% in lijn met de historische beschikbaarheid.

### 5.3. Basis inzetvolgorde regio's

De regio's zijn zoals aangegeven gedefinieerd in de Verwachtingenbrief. Voor de Groningenveld regio-inzet gaan we uit van de volgende situatie:



Figuur 1: Clusters Groningenveld.

De clusters in de Loppersumregio zijn op basis van de opdracht van de Minister (ref brief dd. 2 februari 2018 kenmerk DGETM-EO/18019805) ingesloten en zullen conform deze instructie geen gas meer produceren uit het Groningenveld voor het gasjaar 2017/18. Dit zijn de clusters Leermens, Overschild, de Paauwen, Ten Post en 't Zandt. GTS heeft in haar advies van 27 maart 2018 geschreven "*Nadere studie met betrekking tot leveringszekerheid heeft opgeleverd dat, in aansluiting op het advies van SodM, er vijf productieclusters permanent gesloten kunnen worden en voor de vervolgjaren niet meer noodzakelijk zijn voor de leveringszekerheid.*" NAM verzoekt de minister te bevestigen dat deze clusters niet langer nodig zijn en derhalve ter discretie van NAM ontmanteld kunnen worden.

**NAM verzoekt de Minister in het Instemmingsbesluit op te nemen dat de clusters Leermens, Overschild, de Paauwen, Ten Post en 't Zandt definitief niet meer gebruikt mogen worden voor Groningenveld productie**

Daar de regio's Eemskanaal en Bierum slechts uit 1 cluster bestaan zijn voor deze clusters de volgende inzetvarianten meegenomen in de inzetvolgorde:

- 1) Bierum zal behoudens ongeplande uitval en onderhoud het gehele jaar produceren.
- 2) Eemskanaal zal gedurende de zomer in principe uit staan en in de winter op minimum flow zodat deze bij een incidentele hoge gasvraag, als de overige clusters zijn uitgeregeld, opgeregeld kan worden. Indien er voldoende capaciteit beschikbaar is uit de overige clusters zal Eemskanaal het gehele jaar uit staan.

Vervolgens kunnen de resterende regio's in verschillende volgordes worden opgeregeld. De resulterende volumes per regio en bijbehorende overschrijdingen van de beperkingen die zijn gesteld aan de regionale productiefluctuaties worden hieronder voor de 31 temperatuurscenario's uitgewerkt.

#### **5.4. Keuze voor de Inzetstrategie van de regio's**

NAM heeft voor regionale verdeling twee mogelijke inzetstrategieën geïdentificeerd en uitgewerkt. Voor deze inzetstrategieën zullen parameters als seismiciteit, volume, capaciteit, operationele haalbaarheid en fluctuaties vergeleken worden. De term "regiomaand" wordt gebruikt om aan te geven hoe vaak een regio in de totaal beoordeelde scenario's buiten de bandbreedte komt. Het totaal aantal regiomaanden is 1860 (31 temperatuur scenario's \* 12 maanden \* 5 regio's = 1860 regio-maanden).

##### **Inzetstrategie 1**

Bij inzetstrategie 1 zal de onttrekking van het benodigde volume evenredig verdeeld worden tussen de regio's Zuid-Oost, Centraal Oost en Zuid-West na een basisinzet van het Bierum cluster. Deze inzetstrategie is gebaseerd op een opstartvolgorde die de nadruk legt op de zuidoostelijke en zuidwestelijke regio's. Deze inzetstrategie leidt tot preferentiële volume-onttrekking uit de laag seismisch actieve regio's en zorg de ruimte benodigd om onderhoud uit te kunnen voeren en uitval op te kunnen vangen zonder dat dit meteen leidt tot grote fluctuaties in deze en andere regio's.

Deze inzetstrategie heeft indicatief de volgende regio volume verdeling en fluctuaties tot gevolg na analyse van de 31 temperatuurscenario's:

*Volumeverdeling*

- 1) Het benodigde Groningenveld basisvolume bij deze inzetstrategie voor een warm tot gemiddeld jaar zal proportioneel over de regio's worden verdeeld wat leidt tot de volgende indicatieve<sup>3</sup> regionale verdeling:
  - a. Bierum continue in productie +/- 15% van het jaarvolume;
  - b. Regio Zuid-Oost +/-28%, Centraal-Oost +/- 28%, en Zuid -West op +/-28%; en
  - c. Eemskanaal 0%.
- 2) Bij een hogere volume- of capaciteitsvraag zullen regio's proportioneel verder worden opgeregeld wat leidt tot onderstaande indicatieve volume verdeling:
  - a. Pro rata verhogen inzet van de regio's Zuid-Oost 33%, Centraal-Oost 33%, en Zuid-West op 33%;
  - b. Bierum naar maximum (binnen +/-20% band); en
  - c. Eemskanaal sluitpost voor capaciteitsvraag.

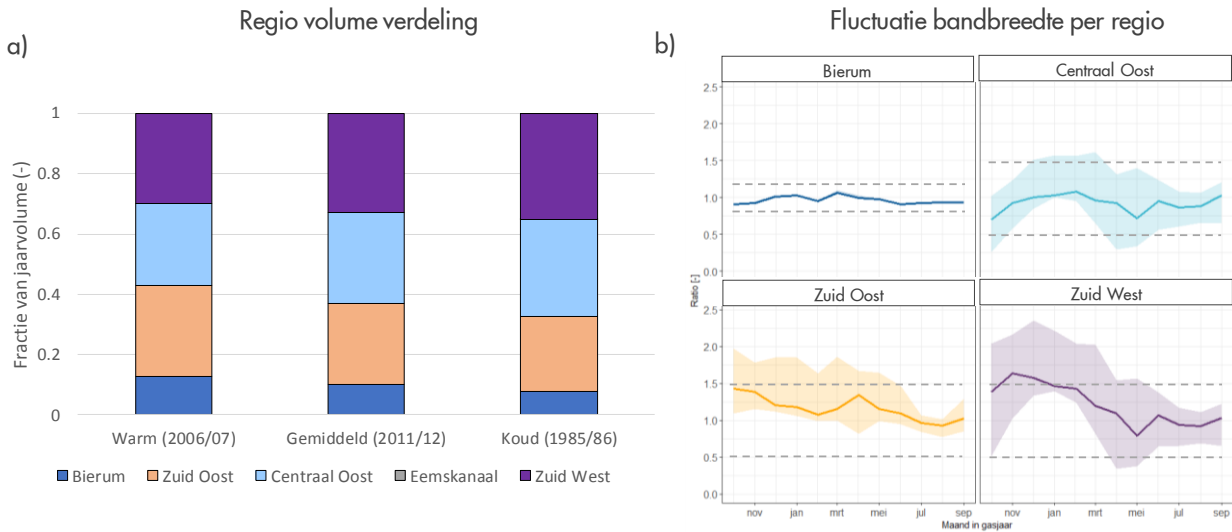
*Resulterende regionale fluctuaties:*

Deze inzetstrategie leidt ertoe dat in 152 van de 1860 regiomaanden (+/- 8%) een grotere productiefluctuatie van de regio's aanwezig zal zijn dan toegestaan, zonder rekening te houden met ongeplande uitval.

Indien voor de UGS Norg wordt uitgegaan van 6 miljard Nm<sup>3</sup>, dan leidt dit naar verwachting tot 25% minder overschrijdingen van de gestelde beperkingen aan de regionale productiefluctuaties, waarmee het aantal overschrijdingen rond de 6% uit komt.

---

<sup>3</sup> De uiteindelijke regionale volumeverdeling is een uitkomst van het daadwerkelijk gerealiseerde temperatuurprofiel, inzet van Norg en de inzetvolgorde van de regio's zoals vastgesteld in de Operationele Strategie, zie ook 5.5.



Figuur 2: a) Volume verdeling per regio voor inzetstrategie 1 voor een warm, gemiddeld en koud jaar en b) Fluctuatiedebandbreedtes per regio per maand op basis van modelmatige analyse van 31 temperatuurscenario's. De lijn geeft demediaanweer.

### Inzetstrategie 2

Deze inzetstrategie is erop gericht de volumes zo gelijkmatig mogelijk over het veld te verdelen waarmee de drukverschillen tussen de regio's zoveel mogelijk worden beperkt. Deze inzetstrategie sluit het meeste aan bij de manier waarop het Groningenveld de afgelopen decennia is geopereerd is, maar nu zonder de inzet van de Loppersumclusters. Met deze inzetstrategie wordt het aantal overschrijdingen van de regionale fluctuaties het meest beperkt. Daarnaast geeft deze inzet de minste afname in Groningenveld capaciteit bij dezelfde volume onttrekking. Deze inzetstrategie sluit echter niet aan op een preferentiële productie uit de zuidwestelijke en zuidoostelijke regio's met een naar verwachting lagere seismiciteit.

Deze inzetstrategie heeft indicatief de volgende regionale volumeverdeling en regionale productiefluctuaties tot gevolg na analyse van de 31 temperatuurscenario's:

#### Volumeverdeling

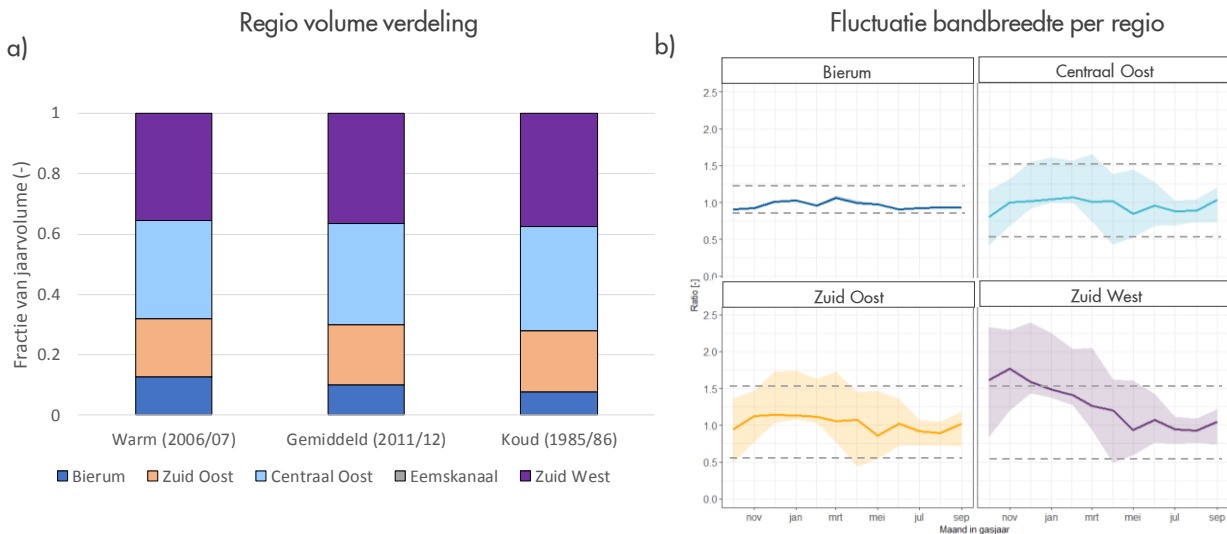
Deze inzetstrategie zal voor alle temperatuurscenario's resulteren in de volgende regioverdeling:

- Bierum continue in productie +/- 15% van het jaarvolume;
- Regio Zuid-Oost +/-20%, Centraal-Oost +/- 40%, en Zuid-West op +/-20%; en
- Eemskanaal +/- 5% (maar minder dan 150 mln. m<sup>3</sup> per maand).

#### Resulterende regionale productiefluctuaties:

Inzetstrategie 2 leidt ertoe dat 122 van de 1860 (7%) regio-maanden een grotere productiefluctuatie van de regio's aanwezig zal zijn dan toegestaan, zonder rekening te houden met ongeplande uitval.

Indien voor de UGS Norg wordt uitgegaan van een werkvolume van 6 miljard Nm<sup>3</sup>, dan leidt dit naar verwachting tot 15% minder overschrijdingen zijn van de gestelde beperkingen aan de regionale productiefluctuaties, waarmee de overschrijdingen rond de 6% uit komt.



Figuur 3: a) Volumeverdeling per regio voor inzetstrategie 2 voor een warm, gemiddeld en koud jaar en b) Fluctuatiebandbreedtes per regio per maand op basis van modelmatige analyse van 31 temperatuurscenario's. De lijn geeft de mediaan weer.

### 5.5. Samenvatting voor- en nadelen twee inzetstrategieën voor de regio's

In bovengenoemde inzetstrategieën zijn de genoemde percentages voor de volumeverdeling indicatief omdat regioproductie een resultante is van de inzetvolgorde van de regio's. Het temperatuursverloop gedurende het jaar, en daarmee de samenhangende capaciteits- en volumevraag op het Groningenveld, zal de regio-inzet en het uiteindelijke geproduceerde volume uit een regio (en cluster) bepalen. Deze opstartvolgorde is verschillend voor iedere inzetstrategie, waardoor de regionale verdeling bij de ideale regio-inzet zal resulteren in de aangegeven volumeverdeling. Afwijkingen van deze regionale volumeverdeling kunnen bijvoorbeeld ontstaan door:

- Operationele oorzaken, zoals bijvoorbeeld onderhoud en/of ongeplande (langdurige) uitval,
- Veranderingen in clustercapaciteit en resulterende volumes als gevolg van eerdere inzet.

Hieronder is een tabel opgenomen die een kwalitatieve vergelijking van de twee inzetstrategieën geeft voor seismiciteit, volume en capaciteit, overschrijding van regionale fluctuatiebandbreedte en operabiliteit.

	Seismiciteit	Volume / Capaciteit	Fluctuaties Norg 5 BCM	Fluctuaties Norg 6 BCM	Operabiliteit
Inzet-strategie 1	+	+	8%	6%	+
Inzet-strategie 2	-	+	7%	6%	+

Tabel 1: Overzicht van de twee inzetstrategieën voor de regio's

**NAM verzoekt de Minister in het Instemmingsbesluit op te nemen welke inzetstrategie voor de regio's dient te worden gehanteerd.**

## 6. Monitoring en Interventie

### 6.1. Monitoren graaddagenvolumes

NAM zal door middel van een maandelijks proces samen met GasTerra monitoren en ervoor zorgdragen dat de productie(prognose) van het Groningen veld de volumes behorend bij de graaddagenformule niet overschrijdt. Tevens wordt er zicht gehouden op eventuele overige bepalingen en voorwaarden die de Minister zal opnemen in het Instemmingsbesluit.

### 6.2. Interventie minister

NAM, GasTerra en GTS, dienen zich in te zetten om de inzet van het Groningen veld te laten voldoen aan de voorwaarden zoals die zijn gesteld door de Minister. Een duidelijke door de Minister vastgestelde prioritering bij de inzet van Groningen systeemmiddelen zoals bedoeld in Hoofdstuk 3 zal ervoor zorgen dat dit in de meeste gevallen goed en efficiënt operationeel uitgevoerd kan worden. Het kan echter voorkomen dat in uitzonderlijke gevallen leveringszekerheid niet geborgd kan worden binnen de Operationele Strategie. Dit risico kan worden verkleind door in het instemmingsbesluit de hieronder beschreven maatregelen op te nemen. NAM voorziet nu drie situaties waarbij dit kan gebeuren (maar mogelijk zijn er meer situaties die zouden kunnen optreden):

- i. de uitgangspunten zoals gehanteerd door GTS bij het opstellen van de graaddagenformule blijken niet te corresponderen met de werkelijkheid, waardoor de benodigde volumes voor leveringszekerheid onder de graaddagensystematiek ontoereikend blijken.
- ii. Het temperatuursverloop in een jaar ontwikkelt zich dusdanig dat de benodigde volumes voor leveringszekerheid als bepaald onder de graaddagensystematiek ontoereikend blijken.

**NAM verzoekt de Minister in het Instemmingsbesluit op te nemen dat indien de volumes onder de graaddagenformule niet toereikend zijn, de Minister NAM een nieuwe instructie zal geven**

NAM zal de Minister hierover informeren zodra dit risico opgang doet.

iii. Tot slot zijn er nog andere onvoorziene omstandigheden waar in de Verwachtingenbrief, en daarmee ook in het opstellen van de strategieën in dit document, geen rekening is gehouden. Wij onderscheiden hierin twee situaties:

- 1) Er is kortstondig ongeplande uitval van L-gas aanbod en of conversiemiddelen.

In dit geval zal primair worden uitgegaan van de back-up conversiecapaciteit van GTS. Indien dit onvoldoende blijkt te zijn kan GTS over gaan op een aanwijzing conform de Transportcode gas – LNB. Het is aan de Minister om te bepalen hoe NAM dient om te gaan met een dergelijke aanwijzing.

**NAM verzoekt de Minister in het Instemmingsbesluit op te nemen of NAM altijd dient te voldoen aan een aanwijzing die GTS via GasTerra geeft in het kader van de Transportcode-LNB.**

Elke aanwijzing zal worden geregistreerd waarbij datum, duur en volume zal worden vastgelegd. Uitval van L-gas(middelen) van derden is niet door NAM en/of GasTerra te bepalen. Daarom zal ook in die gevallen dat er voldoende primaire stikstof beschikbaar is de aanwijzing worden geregistreerd.

- 2) Er is langdurig ongeplande uitval of onbeschikbaarheid van L-gas aanbod of conversiemiddelen.

In dit geval zijn de uitgangspunten voor de vaststelling van de graaddagenformule en daarmee het Groningenvelde volume niet meer in overeenstemming.

Voor deze situaties is thans een bepaling opgenomen in het laatste Instemmingsbesluit. Indien een dergelijke bepaling niet wordt opgenomen in het Instemmingsbesluit voor het gasjaar 2018/2019 zal, als zich een onvoorziene situatie voordoet die niet past binnen de voorwaarden van het nieuwe Instemmingsbesluit, de Minister worden geïnformeerd. De Minister kan dan op basis van deze nieuwe informatie een afweging maken of de instructie aan NAM aangepast dient te worden of dat er andere maatregelen noodzakelijk zijn.

**NAM verzoekt de Minister in het Instemmingsbesluit op te nemen wat NAM dient te doen bij technische problemen in het GTS netwerk zoals langdurig ongeplande uitval van stikstof wat leidt tot een volume behoeft groter dan de graaddagenformule toestaat.**

De drie bovenstaande situaties zijn in principe afwijkingen van de uitgangspunten zoals die door GTS zijn gehanteerd in bepaling naar de hoeveelheid benodigd Groningenveldegas voor leveringszekerheid. Het is naar de mening van NAM primair aan GTS om de Minister over deze situaties te informeren (ref hoofdstuk 3.1).

### 6.3. Rol van het Meet- en Regelprotocol

Het geldende Meet- en Regelprotocol zal zijn functie verliezen bij de inwerkingtreding van het instemmingsbesluit voor het gasjaar 2018/2019. De uitgangspunten voor het geldende Meet- en Regelprotocol zijn immers niet afgestemd op de uitgangspunten uit de nieuwe Mijnbouwwet en daarmee niet op de uitgangspunten voor het instemmingsbesluit 2018/2019. Gezien het feit dat er voor NAM geen rol meer is weggelegd bij het bepalen van de hoeveelheid noch de wijze waarop gas uit het Groningenveld wordt geproduceerd, zal de rol van NAM zich beperken tot het analyseren van de seismische activiteit indien zij daartoe opdracht krijgt van de Minister. NAM zal in voorkomende gevallen de opdracht snel en zorgvuldig uitvoeren waarbij NAM slechts rapporteert, geen conclusies trekt noch ingrijpt in de productie en/of de productieverdeling. Dit laatste zal pas gebeuren indien NAM een nieuwe instructie krijgt van de Minister.

**NAM verzoekt de Minister in het Instemmingsbesluit op te nemen welke rol NAM heeft bij de toepassing van het Meet- en Regelprotocol.**

## 7. Operationele Strategieën

Dit hoofdstuk bevat een overzicht van de keuzes die de Minister dient te maken om te komen tot het vaststellen van een Operationele Strategie die voor NAM uitvoerbaar is binnen de gestelde beperkingen.

**A. NAM verzoekt de Minister in het Instemmingsbesluit aan te geven of de prioriteitstelling zoals gedestilleerd uit de Verwachtingenbrief en zoals onderstaand weergegeven juist zijn en NAM te instrueren om in geval van conflict te handelen in lijn met deze prioriteitstelling.**

De uit de Verwachtingenbrief voortvloeiende prioriteitstelling is de volgende:

- 1) Lever die hoeveelheid Groningenveldgas die jaarlijks nodig is voor de leveringszekerheid binnen de graaddagenformule;
- 2) Zorg voor voldoende UGS Norg werkvolume aanwezig gedurende de hele winter (= effectief leveringszekerheid);
- 3) Vul UGS Norg voor het komende gasjaar;
- 4) Voorkom overschrijdingen van de beperkingen gesteld aan de regionale productiefluctuaties.

Deze prioriteitstelling is de leidraad geweest bij het opstellen van het Bouwstenen Document. Indien er een andere prioriteitstelling gehanteerd dient te worden, moet worden bekeken of B tot en met H nog geldig zijn of dat dit nogmaals onderzocht dient te worden.

De Minister dient aan te geven welke van deze prioriteiten in incidentele gevallen ondergeschikt zijn aan andere en hoe NAM dient te handelen in dergelijke gevallen

**B. NAM verzoekt de Minister in het instemmingsbesluit aan te geven hoe moet worden omgegaan met de voorziene fluctuatieoverschrijdingen die zullen plaatsvinden teneinde binnen het volume volgend uit de graaddagenformule te kunnen blijven.**

Zoals aangegeven stelt NAM voor dat in het Instemmingsbesluit duidelijk wordt gemaakt dat de voorziene overschrijdingen van de beperkingen zoals die zijn opgelegd voor de regionale productiefluctuaties passen binnen de voorwaarden van het Instemmingsbesluit.

**C. NAM verzoekt de Minister in overweging te nemen om een instemmingsbesluit te nemen op het opslagplan dat NAM op 16 juli 2015 heeft ingediend om zodoende het werkvolume van 6 miljard Nm<sup>3</sup> beschikbaar te maken ter ondersteuning van het voorkomen fluctuaties en de leveringszekerheid..**

Het verruimen van de opslagcapaciteit van 5 naar 6 miljard Nm<sup>3</sup> heeft een positief effect op het beperken van het aantal overschrijdingen van de vastgestelde regionale productiefluctuaties afhankelijk van gekozen inzetstrategie. Daarnaast levert dit extra werkvolume een betrouwbaar middel om in te zetten ter ondersteuning van de leveringszekerheid in geval van onvoorziene uitval van L-gas middelen, zie hoofdstuk 4. Hier toe dient de minister wel een nieuw opslagplan goed te keuren.

**D. NAM verzoekt de Minister in het Instemmingsbesluit de mogelijkheid op te nemen om het volume dat benodigd is om UGS Norg te vullen uit opeenvolgende gasjaren te betrekken**

Door de inzet mogelijkheden van de UGS Norg uit te breiden (productie in april en injectie in oktober) kan het Groningen veld vlakker worden geproduceerd (zie hoofdstuk 4). Dit betekent dat het Groningen veld volume van het lopende gasjaar wordt “overgeheveld” naar het volgende gasjaar zonder dat dit leidt tot extra Groningen veld productie (het benodigde volume past binnen de graaddagen systematiek van dat jaar maar wordt geïnjecteerd in het jaar daarop). Indien de Minister dit ondersteunt dient deze ruimte in het instemmingsbesluit opgenomen te worden. Voor het gasjaar 2018/2019 is het waarschijnlijk dat deze voorziening noodzakelijk is om de UGS Norg te kunnen vullen voor komende winter.

**E. NAM verzoekt de Minister in het Instemmingsbesluit op te nemen dat de clusters Leermens, Overschild, de Paauwen, Ten Post en ‘t Zand definitief niet meer gebruikt mogen worden voor Groningen veld productie.**

NAM heeft op instructie van de Minister deze clusters in afwachting van dit GTS advies in februari 2018 ingesloten. GTS heeft in haar advies van 27 maart 2018 geschreven “*Nadere studie met betrekking tot leveringszekerheid heeft opgeleverd dat, in aansluiting op het advies van SodM, er vijf productieclusters permanent gesloten kunnen worden en voor de vervolgjaren niet meer noodzakelijk zijn voor de leveringszekerheid.*” NAM verzoekt de minister te bevestigen dat deze clusters niet langer nodig zijn voor leveringszekerheid en derhalve ter discretie van NAM ontmanteld kunnen worden.

**F. NAM verzoekt de Minister in het instemmingsbesluit aan te geven welke inzetstrategie voor de regio’s NAM dient te hanteren**

In hoofdstuk 5 worden de twee mogelijke inzetstrategieën besproken.

Inzetstrategie 1: Preferentiële clusterinzet uit minst seismische gevoelige gebied gecombineerd met minste overschrijdingen van de vastgelegde regionale productiefluctuaties van ongeveer 8%.

Inzetstrategie 2: Homogene productie verdeling over het veld waarbij clusters gelijkmatig over de regio's worden opgeregeld. Het aantal verwachte overschrijdingen van de vastgelegde regionale productiefluctuaties komt deze inzetstrategie te liggen op ongeveer 7%.

**G. NAM verzoekt de Minister in het Instemmingsbesluit op te nemen dat indien de volumes onder de graaddagenformule niet toereikend zijn, de Minister NAM een nieuwe instructie zal geven.**

Zie voor een toelichting hoofdstuk 6.2.

**H. NAM verzoekt de Minister in het Instemmingsbesluit op te nemen of NAM altijd dient te voldoen aan een aanwijzing die GTS via GasTerra geeft in het kader van de Transportcode-LNB.**

Zie voor een toelichting hoofdstuk 6.2.

**I. NAM verzoekt de Minister in het Instemmingsbesluit op te nemen wat NAM dient te doen bij technische problemen in het GTS netwerk zoals langdurig ongeplande uitval van stikstof wat leidt tot een volume behoefte groter dan de graaddagen formule toestaat.**

Zie voor een toelichting hoofdstuk 6.2.

**J. NAM verzoekt de Minister in het Instemmingsbesluit op te nemen welke rol NAM heeft bij de toepassing van het Meet- en Regelprotocol.**

Een andere rol en positie van NAM bij de productie van het Groningenveld vereist ook een andere rol en positie van NAM in het Meet- en Regelprotocol. Zie voor een toelichting hoofdstuk 6.3.

## Bijlage 1: Inzet strategie UGS Norg en relatie met fluctuaties

### Fluctuaties op Groningen veldniveau

Fluctuaties op regioniveau, waarvoor de beperkingen gelden als beschreven in de Verwachtingenbrief, zijn grotendeels een gevolg van fluctuaties die reeds op veldniveau optreden. Deze bijlage beschrijft wat de rol van de UGS Norg - die GasTerra in haar portfolio heeft – is op het beperken van fluctuaties op het Groningen veldniveau. Vervolgens zal in deze bijlage ook geschat worden op welke wijze deze veldfluctuaties doorwerken in de fluctuaties op regioniveau.

In hoofdlijnen kan de UGS Norg op twee methoden worden ingezet teneinde fluctuaties op veldniveau te beperken. Beide methoden passen binnen de uitgangspunten van de Verwachtingenbrief en zijn wat betreft de UGS Norg inzet volumeneutraal op gasjaarbasis.

- A. Het inzetten van de UGS Norg uitgaande van een minimale reservestelling voor leveringszekerheid

Bij deze methode wordt het beschikbare werkvolume van de UGS Norg – ten opzichte van onderstaande Methode B - al vroeg in de winter ingezet om fluctuaties op Groningen boven een bepaald grensniveau effectief te beheersen.

Deze inzetmethode leidt tot het verkleinen van het aantal fluctuaties in vergelijking met Methode B. Omdat het werkvolume van de UGS Norg gelimiteerd is, treden grotere fluctuaties op veldniveau op in koude of extreme jaren, veelal aan het einde van de winter waar de UGS Norg nagenoeg leeg geproduceerd is. Uit analyse van 31 temperatuurscenario's met deze inzetmethode blijkt dat in 3% van de maanden de fluctuaties op veldniveau groter dan 50% zijn, met een maximale fluctuatie van 80%. Met andere woorden, het aantal fluctuaties groter dan +/- 50% op veldniveau kan hiermee kleiner gemaakt worden echter zullen de fluctuaties die optreden dan wel groter zijn in vergelijking met fluctuaties die resulteren onder inzet methode B. Zie figuur 1a ter illustratie.

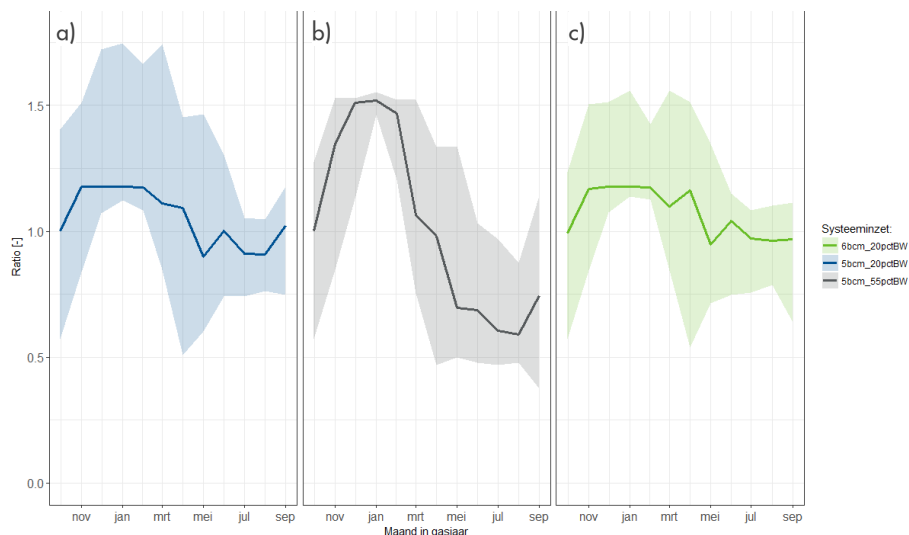
- B. Het inzetten van de UGS Norg uitgaande van het koudste/meest extreme jaar van de 31 temperatuurscenario's.

Bij deze methode wordt het werkvolume van UGS Norg spaarzamer ingezet dan bij bovenstaande methode. Daardoor is deze methode effectiever in het verkleinen van de grootte van de fluctuaties boven in vergelijking met de fluctuaties die resulteren onder inzet Methode A. Dat betekent dat het werkvolume van UGS Norg enkel het volledige werkvolume zal benutten indien het jaar zich ontwikkelt als een koud jaar. Voor een gemiddeld jaar zal dit dan leiden tot een hogere inzet van het Groningen veld gedurende de wintermaanden. Uit analyse van 31 temperatuurscenario's met deze inzetmethode blijkt dat in 19% van de maanden de fluctuaties op veldniveau groter dan 50% zullen zijn met een maximale fluctuatie van 55%. Gevolg van deze methode is dat *ieder* geanalyseerd temperatuurscenario in de winter zal leiden tot een maandfluctuatie groter dan 55% op veldniveau. Zie figuur 1b ter illustratie.

Daarnaast kunnen fluctuaties verder worden beperkt door een ruimer werkvolume op Norg zoals beschreven in hoofdstuk 4.2. Uitgaande van inzetmethode A. in combinatie met een 6 miljard Nm<sup>3</sup>

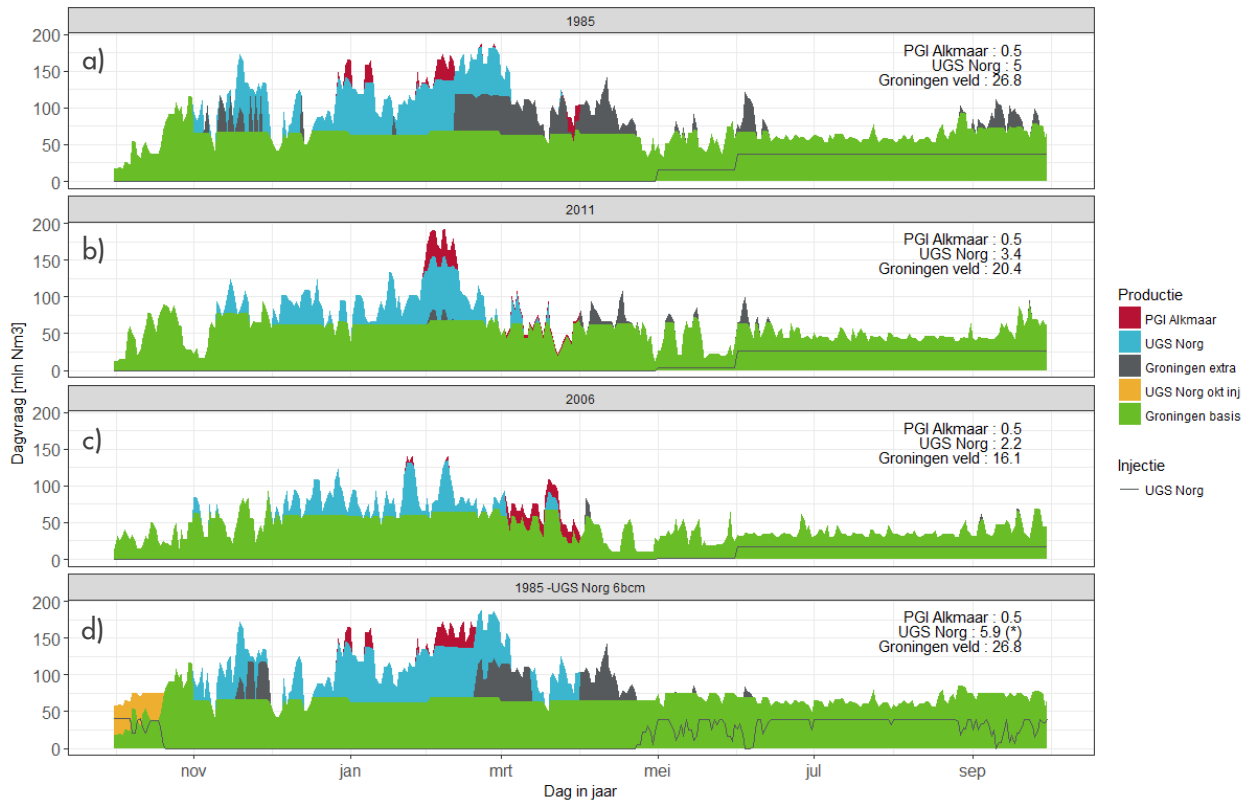
werkvolume op de UGS Norg wordt het aantal fluctuaties groter dan 50% op veldniveau met 44% beperkt. De invloed van een groter werkvolume op Norg op de resulterende veldfluctuaties is weergegeven in figuur 1c.

Een groter werkvolume van de UGS Norg dient daarnaast ook als veiligheidsmarge om rekenschap te geven van het feit dat de onzekerheid in temperatuurontwikkeling voor een toekomstig jaar niet volledig beschreven wordt met de statistiek van de afgelopen 31 jaar. Het feit dat er in 2018 (een ‘gemiddeld jaar’ wat graaddagen betreft) een tweetal heel koude periodes pas laat in de winter zijn opgetreden illustreert deze onzekerheid waarbij een groter werkvolume op Norg had geleid tot kleinere fluctuaties op Groningen.



Figuur 1: Relatieve fluctuaties op Groningen veld niveau voor 31 temperatuurscenario's voor a) UGS inzet waarbij het aantal fluctuaties op veldniveau worden beperkt maar fluctuaties tot 80% niet voorkomen kunnen worden, b) UGS inzet methode waarbij de grootte van de fluctuaties binnen een bandbreedte van 55% worden gehouden en c) eenzelfde inzet als onder a) maar dan met een 6 miljard  $Nm^3$  werkvolume voor de UGS Norg.

Figuur 2 illustreert hoe fluctuaties op veldniveau resulteren na inzet van de UGS Norg voor een a) koud, b) gemiddeld en c) warm jaar op basis van Norg inzetmethode A. In figuur 2d is het effect van een 6 miljard  $Nm^3$  werkvolume op UGS Norg weergegeven voor een koud jaar. In dit scenario is ook de UGS Norg injectie in de zomer gedurende perioden van hoge vraag beperkt teneinde de fluctuaties op veldniveau in de zomer te verkleinen. Als gevolg hiervan zal er op 1 oktober een restvolume voor injectie overblijven die in oktober geïnjecteerd dient te worden om de UGS Norg weer gevuld te krijgen. Dit volume is illustratief weergegeven in geel om het effect op het volgende gasjaar te visualiseren.



Figuur 2: resulterende Groningen veld gasvraag na inzet van de UGSen voor een a) koud (1985/86), b) gemiddeld (2011/12) en c) warm (2006/07) jaar. De resulterende jaarvolumes staan vermeld in de rechterbovenhoek. d) Geeft het effect op een koud jaar (1985) weer wanneer gebruik gemaakt wordt van een 6 miljard Nm<sup>3</sup> werkvolume op UGS Norg en injectie optimalisatie.

#### Relatie fluctuatie veld- en regioniveau

Regiofluctuaties zijn tenminste gelijk aan de fluctuaties op veldniveau. Door een +/- 20% fluctuatie beperking in Bierum en het preferentieel inzetten van clusters als beschreven in hoofdstuk 5.4 ("Keuze voor de Inzetstrategie van de regio's") zullen fluctuaties op regioniveau vaker optreden dan op veldniveau. Daarnaast zullen de fluctuaties op regioniveau ook groter zijn dan op veldniveau. Bovenstaande analyses laten zien dat het niet mogelijk is alle 31 temperatuurscenario's af te dekken binnen een fluctuatie bandbreedte van +/- 50% op veldniveau, waardoor fluctuatie-overschrijdingen op regioniveau ook per definitie zullen optreden.

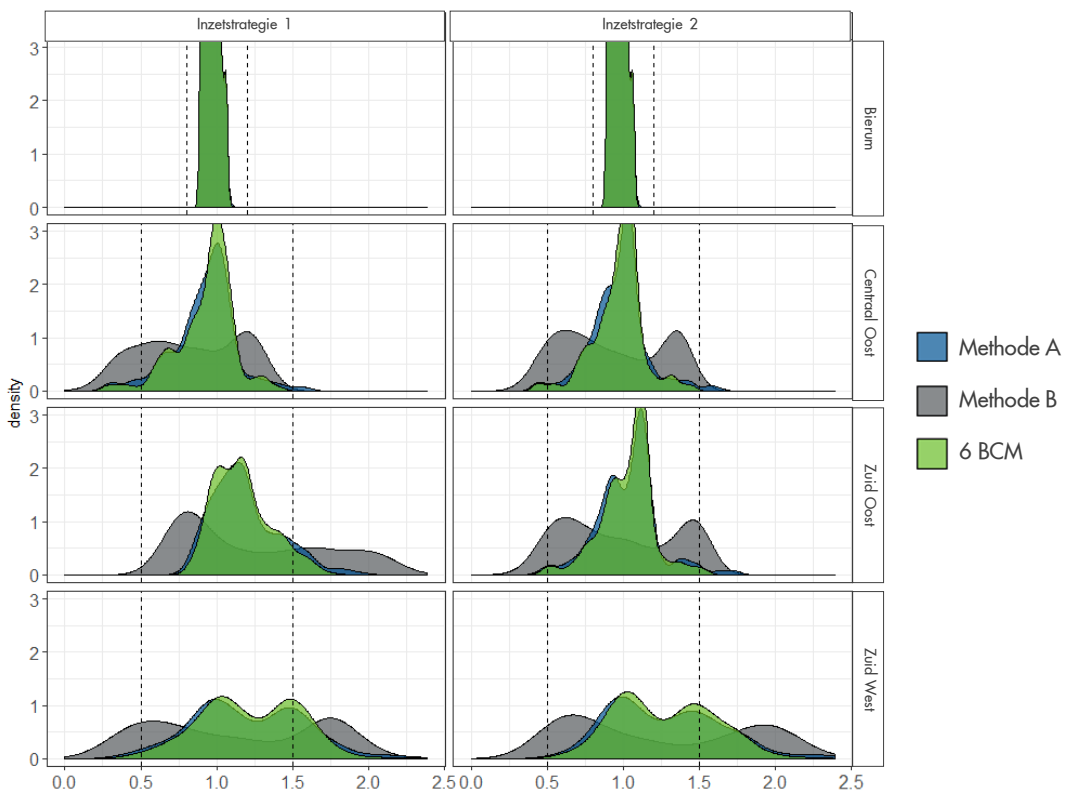
Voor de in hoofdstuk 5.4 gedefinieerde inzetstrategieën, kunnen de fluctuaties op veldniveau uiteindelijk vertaald worden naar fluctuaties op regioniveau.

Indien wordt uitgegaan van een UGS Norg inzet strategie waarbij incidenteel grotere fluctuaties op veldniveau optreden (inzet methode A), kunnen op regio niveau het grootste deel van de 31 temperatuurscenario's de fluctuaties binnen de +/- 50% bandbreedte gehouden worden. Deze overschrijdingen treden op in 7-8% van de regiomaanden, afhankelijk van het gekozen cluster inzetscenario.

Indien wordt uitgegaan van een UGS Norg inzet strategie waarbij de fluctuaties op veldniveau binnen een +/- 55% bandbreedte worden gehouden (inzet methode B), zullen er veel overschrijdingen zijn van de limiet op regiofluctuaties. De overschrijdingen zijn hierbij zowel frequenter en groter dan bij methode A. Dit komt voornamelijk doordat de verruimde veldfluctuaties opgevangen wordt door de regio's die deze volumes het afgelopen gasjaar niet geproduceerd hebben.

Wanneer het werkvolume op Norg 6 miljard Nm<sup>3</sup> bedraagt, wordt het aantal fluctuaties buiten de bandbreedte verder beperkt met 15-25%. Fluctuaties voor zowel cluster inzetstrategie 1 en 2 worden hiermee gelimiteerd tot 6%.

De kansverdelingen van de regiofluctuaties zijn in figuur 3 getoond waarbij de kansdichtheid op een overschrijding is weergegeven voor inzet methode A) in blauwe vlakken en methode B) in de grijze vlakken. De impact van een 6 miljard Nm<sup>3</sup> UGS Norg is weergegeven in groen. Ondanks dat methode B) een beperking van fluctuatiediepen op veldniveau laat zien resulteert dit op regioniveau tot meer en grotere fluctuaties. Dit omdat een beperkt aantal regio's kan worden ingezet om fluctuaties op te vangen. Derhalve wordt in de operationele strategie inzetmethode A) gehanteerd.



*Figuur 3: Kansverdeling van fluctuaties voor verschillende UGS inzet strategieën en cluster inzetstrategieën. Op de horizontale as staat de grootte van de fluctuatie, de verticale as de genormaliseerde kansdichtheid. Een smalle, hoge verdeling impliceert een lagere kans op overschrijdingen.*